ANALISIS PERHITUNGAN DURASI AKHIR GEMPA SUSULAN MENGGUNAKAN METODE OMORI DAN MOGI I (STUDI KASUS GEMPA 21 NOVERMBER 2022 DI DAERAH CIANJUR-JAWA BARAT)

SKRIPSI

Diajukan Untuk Memenuhi Sebagian Syarat Guna Memperoleh Gelar Sarjana Fisika Dalam Ilmu Fisika



Oleh:

RIFKI ZAIDAN RAMLI

NIM. 1908026001

PROGRAM STUDI FISIKA
FAKULTAS SAINS DAN TEKNOLOGI
UNIVERSITAS ISLAM NEGERI WALISONGO SEMARANG
2023



KEMENTERIAN AGAMA REPUBLIK INDONESIA UNIVERSITAS ISLAM NEGERI WALISONGO FAKULTAS SAINS DAN TEKNOLOGI

Jl. Prof. Dr. Hamka Kampus II Ngaliyan Telp. 7601295 Semarang 50185

LEMBAR PENGESAHAN

Naskah skripsi berikut ini:

Judul : ANALISIS PERHITUNGAN DURASI AKHIR GEMPA SUSULAN MENGGUNAKAN

METODE OMORI DAN MOGI I (STUDI KASUS GEMPA 21 NOVERMBER 2022

DI DAERAH CIANJUR-JAWA BARAT)

Nama : RIFKI ZAIDAN RAMLI

NIM : 1908026001

Jurusan : Fisika

Telah diajikan dalam siding akhir oleh Dewan Penguji Fakultas Sains dan Teknologi UIN Walisongo

dan dapat diterima sebagai saslah satu syarat memperoleh gelar sarjana dalam Ilmu Fisika.

Semarang, 8 maret 2024

DEWAN PENGUJI

Penguji l

Penguji II

Hartono. M.Sc NIP.199009242019031006

Agus Sudarmanto, M.Si NIP.197708232009121001

Penguji III

Penguji IV

Sheilla Rully Anggita, SPG, M.S., NIP.199005052019032017

Arsini. M.Sc 8408122011012011

Pembimbing I

Pembimbing II

Harrono M.Sc NIP.199009242019031006

Agus Sudarmanto, M.Si NIP.197708232009121001

PERNYATAAN KEASLIAN

Yang Bertanda Tangan di bawah ini :

Nama: Rifki Zaidan Ramli

NIM: 1908026001 Program Studi: Fisika

Menyatakan bahwa skripsi yang berjudul:

"ANALISIS PERHITUNGAN DURASI AKHIR GEMPA SUSULAN MENGGUNAKAN METODE OMORI DAN MOGI I (STUDI KASUS GEMPA 21 NOVERMBER 2022 DI DAERAH CIANJUR-JAWA BARAT)"

Secara keseluruhan adalah hasil penelitian/karya saya sendiri, kecuali bagian tertentu yang dirujuk sumbernya.

Semarang, 21 Desember 2023

Penulis

Rifki Zaidan Ramli

NIM. 1908026001

7AKX791176065

NOTA PEMBIMBING I

Semarang, 20 Desember 2023

Yth. Ketua Program Studi Fisika Fakultas Sains dan Teknologi UIN Walisongo Semarang

Assalamu'alaikum wr.wb

Dengan ini diberitahukan bahwa saya telah melakukan bimbingan, arahan, dan koreksi naskah skripsi dengan :

Iudul : ANALISIS PERHITUNGAN DURASI AKHIR GEMPA SUSULAN MENGGUNAKAN

METODE OMORI DAN MOGI I (STUDI KASUS GEMPA 21 NOVERMBER 2022 DI

DAERAH CIANJUR-JAWA BARAT)

Nama : Rifki Zaidan Ramli

NIM : 1908026001

Jurusan : Fisika

Saya memandang bahwa naskah skripsi tersebut sudah dapat diajukan kepada Fakultas Sains dan Teknologi UIN Walisongo untuk diujikan dalam siding munaqosyah.

Wassalamu'alaikum wr.wb.

Pembimbing I,

nartono; M.Sc

NIP.199009242019031006

NOTA PEMBIMBING II

Semarang, 20 Desember 2023

Yth. Ketua Program Studi Fisika Fakultas Sains dan Teknologi UIN Walisongo Semarang

Assalamu'alaikum wr.wb

Dengan ini diberitahukan bahwa saya telah melakukan bimbingan, arahan, dan koreksi naskah skripsi dengan :

Judul : ANALISIS PERHITUNGAN DURASI AKHIR GEMPA SUSULAN MENGGUNAKAN

METODE OMORI DAN MOGI I (STUDI KASUS GEMPA 21 NOVERMBER 2022 DI

DAERAH CIANJUR-JAWA BARAT)

Nama : Rifki Zaidan Ramli

NIM : 1908026001

Jurusan : Fisika

Saya memandang bahwa naskah skripsi tersebut sudah dapat diajukan kepada Fakultas Sains dan Teknologi UIN Walisongo untuk diujikan dalam siding munaqosyah.

Wassalamu'alaikum wr.wb.

Pembimbing II,

Agus Sudarmanto. M.Si NIP.197708232009121001

ABSTRAK

Gempabumi yang terjadi di wilayah Cianjur pada tanggal 21 november 2022 jika diamati dari peta geologi Jawa Barat diketahui bahwa gempabumi ini terjadi dibawah kaki Gunung Gede Pangrango dipengaruhi oleh sesar Cugenang yang baru terindentifikasi. Metode yang digunakan adalah metode statistik. Regresi Linear Sederhana digunakan untuk mencari konstanta Omori dan Mogi I dimana konstanta Mogi I a dan b. sedangkan nilai konstata dari Omori adalah k dan c. Berdasarkan data dilapangan gempabumi susulan yang di bandingkan dengan metode Omori dan Mogi I didapatkan nilai koefisien korelasi sebesar 0.798 untuk metode Mogi I dan Omori dengan koefisien korelasi sebesar 0.740 kedua metode bisa di terapkan di Cianjur. Jika digunakan dalam rentang waktu awal (2-13 hari) kedua metode tidak ada yang tepat, sementara Metode Omori lebih sesuai untuk rentang waktu setelah 13 hari karena data dengan metode Omori mendapatkan nilai selisih pada error sangat sedikit. Dengan hal ini metode yang tepat di wilayah Cianjur dalam menghitung waktu hingga berakhir adalah Omori.

Kata Kunci: Cianjur, Gempabumi, Regresi Linear Sederhana

KATA PENGANTAR

Puji syukur kehadirat Allah SWT yang telah memberikan rahmat dan hidayah-Nya sehingga penulis dapat menyelesaikan penulisan tugas akhir skripsi. Shalawat serta salam semoga tetap tercurahkan kepada junjungan baginda Nabi Agung Muhammad SAW, sehingga penulis dapat menyelesaikan skripsi dengan judul : "Analisis Perhitungan Durasi Akhir Gempa Susulan Menggunakan Metode Omori dan Mogi-I (Studi Kasus Gempa 21 Novermber 2022 Di Daerah Cianjur-Jawa Barat)"

Penelitian ini telah disusun untuk memenuhi Tugas Akhir (TA) di Jurusan Fisika Universitas Islam Negeri Walisongo. Tujuan penelitian ini adalah untuk memenuhi syarat guna memperoleh gelar sarjana fisika dalam ilmu fisika. Penulis berharap semoga Penelitian ini dapat memberikan manfaat yang besar bagi siapa saja yang membacanya, dapat menambah wawasan pengetahuan bagi kita semua.

Penulis menyadari sepenuhnya bahwa kerja praktik ini tidak akan terwujud tanpa bimbingan dan bantuan dari berbagai pihak secara langsung maupun tidak langsung, maka penulis ini menyampaikan terima kasih kepada:

- Prof. Dr. Nizar Ali, M.Ag., selaku Rektor Universitas Islam Negeri Walisongo Semarang.
- Dr. Ismail, M.Ag., selaku Dekan Fakultas Sains dan Teknologi Universitas Islam Negeri Walisongo Semarang.
- 3. Agus Sudarmanto, M.Si,, selaku Ketua Program Studi Fisika Universitas Islam Negeri Walisongo Semarang sekaligus Dosen Pembimbing II yang telah meluangkan waktu untuk membantu, mengarahkan dan senantiasa memberikan dorongan hingga skripsi ini dapat selesai.
- 4. M. Izzatul Faqih, M.Pd selaku Sekretaris Program Studi Fisika UIN Walisongo Semarang.
- 5. Hartono, M.Sc., selaku Dosen Pembimbing 1 yang telah meluangkan waktu untuk memberikan bimbingan, kritik, saran dan motivasi kepada penulis dengan penuh sabar dan pengertian dalam penyusunan skripsi.
- Irman Said Prastyo, M.Sc,. selaku Wali Dosen Penulis yang sudah membimbing dan mengarahkan penulis dari awal perkuliahan sampai penyelesaian skripsi.
- Dosen, Pegawai dan Sivitas Akademik Fakultas
 Sains dan Teknologi Universitas Islam Negri

- Walisongo Semarang yang memberian banyak ilmu dan pengetahuan sampai tahap di akhir penulisan skripsi ini, memberikan skala bermanfaat dalam penulisan ini.
- 8. Bapak/Ibu dari bagian keluarga Balai Besar Meteorologi, Klimatologi dan Geofisika Wilayah II Tangerang Selatan yang ikut serta dalam membantu penelitian ini perihal data gempabumi untuk laporan tugas akhir.
- 9. Orangtua tercinta, Bapak Nasrudin Ramli dan Ibu Endang Ismai dan Kakak-kakakku Ratih, Rabika dan Riah Agustin penulis juga segenap keluarga besar yang selalu memberikan doa, motivasi serta dukungan yang tiada hentinya demi kelancaran kegiatan penelitian.
- 10. Teman-teman Program Fisika Angkatan 2019 yang telah bersedia menjadi teman diskusi dan semangat dalam menyelesaikan skripsi ini.
- 11. Semua pihak yang turut serta yang tidak bisa disebutkan satu persatu yang telah memberikan dukungan, semngat, do'a dan motivasi sehingga skripsi ini terselesaikan.

Demikian ucapan terima kasih penulis sampaikan kepada semua pihak yang terlibat dalam penelitian ini.

Penulis hanyalah manusia yang tidak luput dari kekurangan dan kesalahan, oleh karena itu penulis menerima setiap masukan, kritik dan saran yang diberikan dari berbagai pihak yang tentunya membangun kinerja penulis dalam membuat sebuah laporan yang menjadi lebih baik.

Semarang, 22 Januari 2024

Penulis

DAFTAR ISI

PENGE	SAHAN SKRIPSI	i
ABSTR	AAK	V
KATA	PENGANTARv	i
DAFTA	AR ISI	K
DAFTA	AR GAMBARxii	i
DAFTA	AR TABELxiv	V
BAB I.		L
PENDA	AHULUAN	L
A.	Latar Belakang	1
В.	Identifikasi Masalah	5
C.	Batasan Masalah	7
D.	Rumusan Masalah	7
E.	Tujuan Penelitian	7
F.	Manfaat Penelitian	8
BAB II)
LANDA	ASAN TEORI)
Δ	Tinjanan Puetaka	۵

	1. Lempeng Tektonik	9
	2. Tektonik Indonesia	11
	3. Tektonik Wilayah Cianjur	12
	4. Geologi Jepang	16
	5. Gempabumi	17
	6. Gempa Susulan	21
B.	Kajian Hasil Penelitian	30
BAB III	[33
метоі	OOLOGI PENELITIAN	33
A.	Jenis Penelitian	33
B.	Tempat dan Waktu Pengamatan Penelitia	n33
C.	Alat dan Bahan	34
D.	Prosedur Penelitian	34
BAB IV	,	38
Hasil d	an Pembahasan	38
	1. Plot data frekuensi Gempabumi	dan
	interval waktu per-hari	38
	2. Analisis Waktu Berakhirnya Gempal	bumi
	Susulan	40
BAB V.		52
KESIM	DIII AN	52

A.	Kesimpulan	52
B.	Saran	53
DAFTA	AR PUSTAKA	54
LAMP	IRAN	58

DAFTAR GAMBAR

Gambar 2. 1 Tektonik Indonesia (Palmadi, 2011)	.12
Gambar 2. 2 Peta Seismotektonik Pusat Gempabumi Regior II (BBMKG, 2019)	
Gambar 2. 3 Peta Geologi Jawa Barat	.14
Gambar 2. 4 Peta Sesar Cugenang (BMKG, 2023)	.15
Gambar 2. 5 Peta Geologi Jepang (Wakita, 2012)	.16
Gambar 3. 1 BBMKG Wilayah II	.33
Gambar 3. 2 Diagram Alir Prosedur Penelitian	.35
Gambar 4. 1 Grafik Penurunan Gempa susulan 'real data'	.39
Gambar 4. 2 Grafik Penurunan Gempa susulan 'real data' da Omori	
Gambar 4. 3 Grafik Penurunan Gempa susulan 2 <t<13< td=""><td>.43</td></t<13<>	.43
Gambar 4. 4 Grafik Penurunan Gempa susulan t>13	.44
Gambar 4. 5 Grafik Penurunan Gempa susulan 'real data'da Mogi I	
Gambar 4. 6 Grafik Penurunan Gempa susulan 2 <t<13< td=""><td>.42</td></t<13<>	.42
Gambar 4. 7 Grafik Penurunan Gempa susulan t>13	.50

DAFTAR TABEL

Tabel 3. 1 Kriteria Koefisien Korelasi	36
Tabel 4. 1 Hasil kontanta Omori	41
Tabel 4. 2 Hasil Konstanta Mogi I	46
Tabel 4, 3 nilai koefisien korelasi dari kedua metode	51

BABI

PENDAHULUAN

A. Latar Belakang

Indonesia secara geografi terletak pada sistem tektonik yang berpotensi menimbulkan gempabumi. Sistem tektonik tersebut yaitu Indonesia berada di batas pertemuan 3 lempeng tektonik: Lempeng Indo-Australia, Eurasia, dan Pasifik (Winardi dkk., 2006). Gempa di Indonesia merupakan salah satu bencana yang menimbulkan banyak korban jiwa dan kerusakan bangunan jika terjadi pelepasan energi yang cukup besar.

Bencana alam gempabumi merupakan suatu getaran atau serentetan getaran dari kulit bumi yang bersifat sementara dan kemudian menyebar ke segala arah sehingga bersifat merusak jika terjadi di lingkungan Masyarakat. Hal itu akan menjadi suatu kehawatiran bagi masyarakat. Ada 3 penyebab terjadinya gempabumi yaitu gempabumi vulkanik, gempabumi tektonik, dan gempabumi benturan (Nandi, 2006). Gempabumi utama yang memiliki magnitudo besar hingga merusak biasanya akan diikuti oleh gempa susulan atau aftershocks.

Aftershocks atau gempabumi susulan merupakan sisa pelepasan energi dari gempabumi utama atau *mainshock* yang terjadi di wilayah yang berdekatan dengan lokasi gempabumi utama (Vivi, 2019). Meskipun gempa susulan memiliki

magnitudo yang lebih kecil dibandingkan dengan gempabumi utama tetapi dapat menimbulkan kerusakan dan kehawatiran kepada Masyarakat. *Aftershock* mempunyai karakteristik yang terus menurun jumlahnya terhadap waktu. Gempa susulan yang memiliki pola penurunan dapat dianalisa dengan pendekatan metode statistik dengan menggunakan data gempa susulan selama beberapa hari. Berdasarkan data gempa susulan tersebut maka perkiraan berakhirnya aktivitas gempa susulan dapat diketahui. Adanya prediksi berakhirnya dari gempa susulan, masyarakat dapat mengatahui kapan masyarakat bisa kembali ketempat tinggalnya.

Ada beberapa rumus yang dapat menghitung prediksi dari gempa susulan, yakni menggunakan rumus Omori, Mogi I, Mogi II. Rumus Omori, Mogi I dan Mogi II memiliki karakteristik masing-masing dimana omori berpendat bahwa dalam memprediksi gempa susulan terdapat pengaruh magnitudo, sedangkan Mogi I dan II berpendapat sebaliknya. Perbedaan Mogi I dan II dibedakan karena waktu yang diteliti, Mogi I hari ke 1 sampai 100 hari sedangkan Mogi II hari ke 100 hari dan setelahnya. Sedangkan perbandingan dengan Omori mengamatinya hari ke 1 hingga 180 hari.

Rumus Omori ditemukan pada abad ke-20 oleh Fusakichi Omori yang mengamati dan memformulasikan hubungan matematis antara frekuensi gempabumi dan waktu setelah terjadinya gempabumi. Rumus Omori merupakan rumus empiris yang didapatkan berdasarkan pola distribusi gempa yang menunjukan adanya penurunan aktivitas gempa terhadap waktu (Omori, 1894). Rumus tersebut dikatakan secara teoritis bahwa gempa susulan memiliki hubungan dengan magnitudo tanpa mempertimbangkan kondisi geologi. Penelitian tersebut mengambil data dari 3 tempat di jepang yakni Mino-owari 1891, Kumamoto 1889 dan kogoshima 1893 (Omori, 1894). Dalam hal ini, salsabil, dkk (2019) telah melakukan penelitian yang menyimpulkan bahwa kasus gempa di Banten tanggal 23 januari 2018 menghasilkan metode omori adalah metode yang tepat untuk diterapkan dalam menghitung durasi akhir gempa susulan dengan koefisien korelasinya sebesar 0.087.

Rumus Mogi merupakan rumus empiris yang memiliki hubungan aktivitas penurunan gempa terhadap waktu. Rumus tersebut memiliki karakteristik yang sama dengan rumus omori tetapi penurunan waktu pada rumus Mogi terjadi secara eksponen. Penelitian pada Mogi (1962) mengambil data dari 34 tempat di jepang dan menyimpulkan bahwa gempa susulan tidak dipengaruhi oleh magnitudo. Dalam hal ini, Rida Saeful (2022) telah melakukan penelitian yang menyimpulkan bahwa kasus gempa di Pasaman Barat 25 Februari 2022 menghasilkan metode Mogi I adalah metode yang tepat untuk diterapkan dalam menghitung durasi akhir gempa susulan.

Wilayah di Indonesia lebih tepatnya di Jawa Barat memiliki risiko yang tinggi terhadap gempabumi karena kondisi geologinya yang rentan terhadap bencana alam. Terdapat beberapa faktor yang meningkatkan risiko bencana alam di wilayah ini, seperti kerawanan letusan gunung api, gerakan tanah, dan gempabumi yang disebabkan oleh sesar. Berdasarkan peta-peta regional, Jawa Barat memiliki banyak sesar aktif yang berpotensi menimbulkan gempabumi yang merusak. Beberapa sesar aktif yang terdapat di wilayah ini adalah Sesar Cimandiri, Sesar Lembang, dan Sesar Baribis (PuSGen, 2017).

Pada tanggal 21 November 2022 telah terjadi gempa bumi di wilayah Cianjur dengan episenter terletak di koordinat 6.82° LS dan 107.09° BT. Gempa tersebut memiliki magnitudo yang berkisar 5,6 M kemudian dikedalaman 10 Km. Menurut Daryono (2022) Kepala Pusat Gempabumi dan Tsunami BMKG mengatakan bahwa gempa tersebut diakibatkan oleh sesar aktif yang baru teridentifikasi di daerah cianjur ini, gempa tersebut diakibatkan oleh sesar cugenang.

Gempa yang berkekuatan 5,6 M ini diikuti oleh gempa susulan akibat goncangan dari gempa tersebut. Gempa susulan yang terjadi secara umum mengalami usaha dalam mengembalikan ke bentuk setimbang secara bertahap diperkirakan dapat mengalami kesetimbangan selama berbulan-bulan (Supendi dkk., 2022).

Besarnya magnitudo dari gempa susulan dapat bervariasi dan akan selalu menurun setelah gempa utama (Supardiyono dkk., 2020). Seperti peristiwa yang terjadi di kabupaten Tanimbar, maluku gempa berkekuatan 6,8 M di kedalaman 14 km. Menurut Badan Nasional Penanggulangan Bencana (BNPB) gempa susulan mengakibatkan kerusakan sejumlah rumah warga, termasuk 15 rumah rusak berat, 3 rusak sedang, dan 1 rusak sedang (BNPB, 2023). Fasilitas pendidikan SMP Kristen Saumlaki dan SMA Negeri 1 Saumlaki mengalami kerusakan.

Allah Subhanahu Wa Ta'ala mengatur dalam firmannya di dalam al-Qur'an tentang proses terjadinya gempabumi sedemikian rupa, sebagaimana dijelaskan dalam Surah Al-Muzzammil ayat 14:

"(ingatlah) pada hari (Ketika) bumi dan gunung-gunung berguncang keras, dan menjadilah gunung-gunung seperti onggokan pasir yang dicurahkan" [Al-Muzzammil ayat 14]

Menurut Abdullah (2003) ulama bernama Ibnu Katsir, ia mentafsirkan bahwa Q.S Al- Muzzammil ayat 14 yakni menjadikan bumi sebagai gundukan pasir yang dicurahkan yang awalnya dari daratan padatan akibat diguncangkan oleh gempabumi yang sangat dasyat (tafsir Ibnu Katsir juz 29 hal-

326). Dengan hal ini gempa yang di keluarkan pasti ada energi tersimpang dari dalam bumi dan ingin keluar, sehingga energi yang tersimpan tersebut keluar ke permukaan dalam bentuk gempa yang sangat dahsyat. Gempabumi susulan bisa diakibatkan dari kurangnya kestabilan di rekahan, maka perlu mempertimbangkan kondisi geologi didaerah yang di teliti.

Kondisi geologi Jepang hampir sama dengan di Indonesia karena di lewati oleh *Rings of Fire* atau cincin api yakni suatu daerah di sepanjang tepi Samudra Pasifik yang dikenal dengan aktivitas vulkanik dan gempabumi yang tinggi. Geologi di Jepang yang semi *brittle* (Mogi, 1962) sedangkan Indonesia juga memiliki geologi *brittle* dan semi *brittle*, maka dapat diperkirakan setiap gempa yang ada di wilayah Indonesia menghasilkan metode yang berbeda-beda karena kondisi geologi di sekitar gempa utama mempengaruhi berakhirnya gempa susulan (Mega, 2023). Berdasarkan kondisi geologi yang memiliki karakteristik yang sama antara Indonesia dan Jepang, pendekatan dalam menentukan waktu akhir gempa susulan dapat menggunakan model yang telah diterapkan di Jepang (Omori dan Mogi).

B. Identifikasi Masalah

Dalam mengidentifikasi masalah, hal ini dapat diperoleh dari permasalahan yang ada di masyarakat dalam bentuk point-point:

- Adanya sesar aktif yang memicu gempa darat dan menghancurkan rumah warga Cianjur.
- 2. Gempa Utama dan Gempa Susulan menimbulkan kehawatiran warga Cianjur.

C. Batasan Masalah

Penelitian ini memiliki Batasan masalah yang akan diperoleh sehingga pembahasannya mengkrucut pada titik permasalahan, batasannya yakni:

- Penelitian Ini berdasarkan Studi Kasus Gempa Cianjur Pada Tanggal 21 November 2022 Dengan Episenter Terletak Di Koordinat 6.82° LS Dan 107.09° BT.
- Fokus penelitian ini menggunakan rumus Omori dan Mogi
 I, sedangkan Mogi II tidak memenuhi syarat dalam
 memprediksi hasil akhir. Hal itu dikarenakan data yang
 digunakan kurang dari 100 hari.

D. Rumusan Masalah

Rumusan masalah berdasarkan latar belakang dijabarkan sebagai berikut:

- 1. Metode mana yang tepat untuk memprediksi gempa susulan di wilayah Cianjur Jawa Barat?
- 2. Bagaimana hasil perhitungan durasi akhir gempa susulan di wilayah Cianjur menggunakan metode yang tepat?

E. Tujuan Penelitian

Rumusan masalah yang diperoleh, diketahui bahwa tujuan penelitian ini yakni :

- 1. Mengetahui metode yang tepat dalam menentukan durasi akhir di wilayah Cianjur Jawa Barat.
- 2. Mengetahui hasil perhitungan durasi akhir gempa susulan di wilayah Cianjur menggunakan metode yang tepat.

F. Manfaat Penelitian

Hasil penelitian akan berguna untuk masyarakat dalam memberikan informasi, hal ini menghasilkan :

- Dapat Mengetahui Mengklasifikasikan Metode Yang Cocok Untuk Untuk Magnitude 5,6 M.
- 2. Dapat Mengetahui Menggunakan Metode Yang Cocok Untuk Daerah Di Daerah Cianjur.
- 3. Dapat Mengetahui Hasil Akhir Peluruhan Gempa Bumi Yang Terjadi Di Tanggal 21 November 2022 Dengan Mengetahui Hasil Akhir Durasi Waktu Yang Terjadi Oleh Gempa Susulan Di Cianjur-Jawa Barat Dan Dari Penelitian Ini Masyarakat Dan Pemerintah Bisa Meminimalisir Dampak Dari Gempa Yang Terjadi Dengan Membuat Rumah Tahanan Gempa Atau Membuat Zona Rawan Gempa.

BABII

LANDASAN TEORI

A. Tinjauan Pustaka

1. Lempeng Tektonik

Lempeng tektonik merupakan lapisan kerak bumi terluar yang bersifat kaku, tegar dan elastis. Akibat dari sifat tersebut lempeng tektonik memiliki bentuk yang terbagi dari beberapa patahan dan hal tersebut menyebabkannya tidak mampu bertahan dari getaran bumi yang berlangsung secara terus-menerus. Faktor yang menyebabkan bergeraknya lempeng tektonik tersebut adanya pergerakan molekul panas bumi di dalam permukaan mantel bumi (Wahyono dkk, 2016). Energi panas bumi sewaktu-waktu bisa mendesak keluar karena energi panas bumi yang terus bergerak di mantel bumi lalu ketika tekanan yang dimilikinya sudah mencapai titik maksimum, maka tersebut berusaha keluar energi untuk menggerakan kerak bumi dan menghasilkan suatu gundukan yang didalamnya terdapat energi panas disebut gunung api (Muhlis, 2018).

Lempeng tektonik adalah teori yang menjelaskan sifat dinamis bumi, yang disebabkan oleh gaya endogen dari dalam permukaan bumi. Gaya endogen tersebut adalah gaya yang mengakibatkan adanya perubahan pada kerak bumi sehingga membentuk permukaan bumi yang tidak rata. Teori tektonik lempeng memiliki dasarnya kerak-bumi (litosfer) terbagi dalam 2 lempeng besar dan lempeng kecil. Adapun lempeng-lempeng tersebut adalah sebagai berikut (Noor, 2009):

- 1) Lempeng Pasifik (Pasific plate)
- 2) Lempeng Eurasia (Eurasia plate)
- Lempeng India-Australia (Indian-Australian plate)
- 4) Lempeng Afrika (African plate)
- 5) Lempeng Amerika Utara (North American plate)
- 6) Lempeng Amerika Selatan (South American plate)
- 7) Lempeng Antartika (Antartic plate)
 Serta beberapa lempeng kecil, yakni
 (Noor, 2009):
- 1) Lempeng Nasca (Nasca plate)
- 2) Lempeng Arab (Arabian plate)
- 3) Lempeng Karibia (Caribian plate)
- 4) Lempeng Philippines (Philippines plate)
- 5) Lempeng Scotia (Scotia plate)
- 6) Lempeng Cocos (Cocos plate)

Berdasarkan teori tektonik lempeng, terjadinya pergerakan antara lempeng satu dengan yang lainya dan saling berinteraksi. Secara tidak langsung, pergerakan lempeng-lempeng tersebut dipengaruhi oleh rotasi bumi pada porosnya. Sebagaimana diketahui bahwa kecepatan rotasi yang terjadi di bumi lebih cepat menuju ekuator, pada prinsipnya gerak lempeng kutub-kutub bumi masuk ke dalam lingkaran besar, dan ke arah ekuator masuk ke dalam lingkaran kecil. (Noor, 2009).

2. Tektonik Indonesia

Kondisi tektonik Indonesia yang berada pada perpotongan satu lempeng besar dan beberapa lempeng kecil, sehingga berpotensi terjadinya gempa di wilayah tersebut. Indonesia dikelilingi oleh empat lempeng utama, yaitu Lempeng Eurasia, Lempeng Indo-Australia, Lempeng Laut Filipina, dan Lempeng Pasifik (PuSGen, 2017).

Tektonik Indonesia yang ada pada gambar 2.1 merupakan lempeng Indo-Australia yang bergerak ke arah utara dan bertumbukan dengan lempeng Eurasia yang bergerak ke arah tenggara, adapun lempeng Eurasia bertemu dengan lempeng Pasifik dengan

lempeng pasifik bergerak ke arah barat daya sehingga bertabrakan.



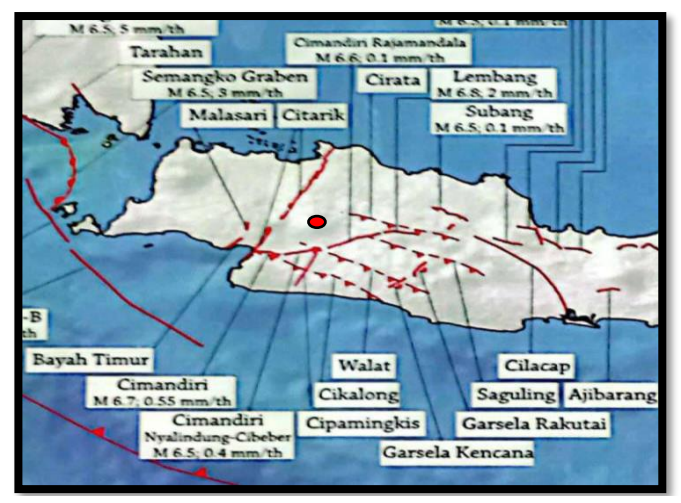
Gambar 2. 1 Tektonik Indonesia (Palmadi, 2011)

Zona tumbukan antara lempeng Indo-Australia dan lempeng Eurasia memanjang ke barat Sumatera, selatan Jawa, selatan Bali, dan Nusa Tenggara, dan membelok di Kepulauan Maluku, dan ini disebut zona subduksi. Zona subduksi merupakan sumber gempa laut dan sumber pembangkit tsunami (Supartoyo dkk., 2018).

3. Tektonik Wilayah Cianjur

Dalam wilayah Jawa Bagian Barat, terdapat struktur geologi yang cukup kompleks akibat dari peristiwa tumbukan lempeng di selatan Pulau Jawa. Struktur tersebut meliputi struktur lipatan dan struktur sesar dengan intensitas yang tinggi, beberapa

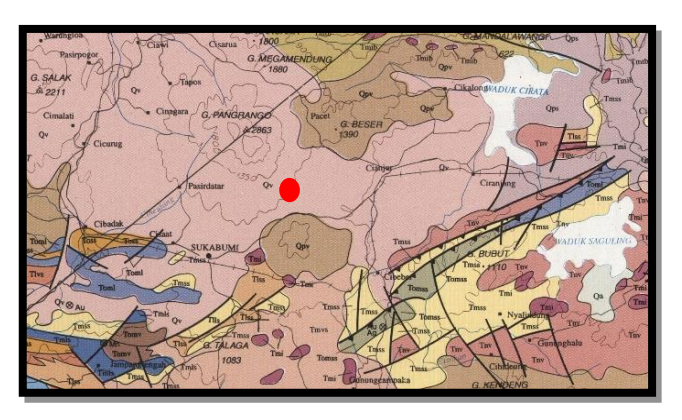
di antaranya bersifat regional. Di Kabupaten Cianjur, teridentifikasi terdapat sesar regional, antara lain Sesar Cimandiri dan memiliki segmen, terdiri dari tiga segmen yaitu segmen Cimandiri (mekanisme sesar naik), segmen Nyalindung-Cibeber (mekanisme sesar naik), dan segmen Rajamandala (sesar geser) (Haryanto dkk, 2017).



Gambar 2. 2 Peta Seismotektonik Pusat Gempabumi Regional II (BBMKG, 2019)

Pada Gambar 2.2 merupakan pola sesar yang dekat dengan wilayah Jawa Barat ini dilintasi oleh Sesar Cimandiri segmen Rajamandala yang memiliki mekanisme sesar geser mengiri (*left-lateral and strikeslip*), sehingga meningkatkan risiko terjadinya gempa bumi. Sesar Cimandiri membentang sepanjang sekitar 100 km, mulai dari Teluk Pelabuhan ratu di Sukabumi

hingga Padalarang di Kabupaten Bandung Barat (PuSGen, 2017).

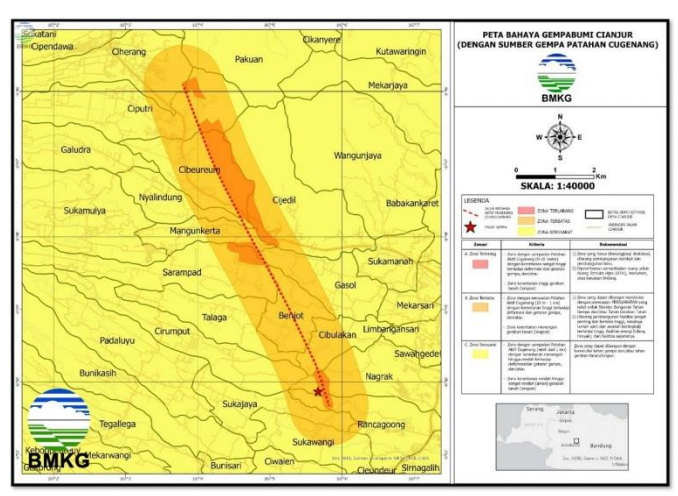


Gambar 2. 3 Peta Geologi Jawa Barat

Pada gambar 2.3 merupakan letak gempa dalam peta geologi di ketahui bahwa gempa yang dihasilkan itu berasal dari daerah kaki gunung pangrango. Batuan disana adalah jenis batuan gunung api holosen, yakni hasil endapan gunung api aktif yang terdiri dari lava, breksi, tuf, serta endapan lahar lepar, batu apung, andesit sampai basalt.

Pada gambar 2.4 merupakan peta sesar yang di plot dari hasil monitoring BMKG yang baru teridentifikasi sebagai sesar baru dan sesar tersebut adalah pemicu dari peristiwa gempabumi 21 November 2021 di Cianjur Jawa Barat gempa bumi yang diakibatkan oleh aktivitas Patahan Sesar

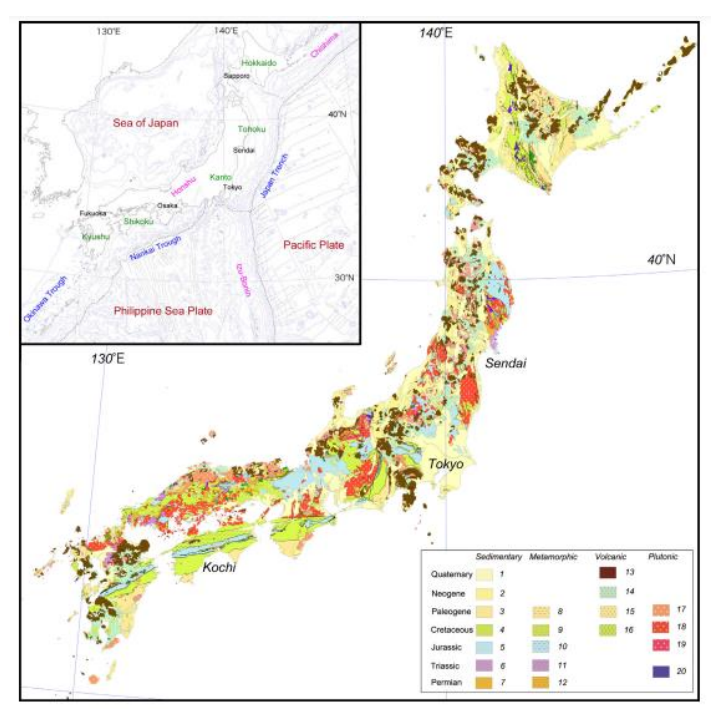
Cugenang.



Gambar 2. 4 Peta Sesar Cugenang (BMKG, 2023)

Menurut Daryono yakni Kepala Pusat Gempa Bumi dan Tsunami BMKG dari banyaknya sesar di daerah cianjur, maka Riwayat gempabumi pasti sudah banyak terjadi seperti pada tanggal 2 November 1969 dengan gempa berkekuatan 5,4 M, 10 Februari 1982 dengan gempa berkekuatan 5,5 M, tanggal 12 Juli 2000 dengan gempa berkekuatan 5,4 M dan 5,1 M, tanggal 12 Juni 2011 dengan gempa berkekuatan 4,9 M, tanggal 4 Juni 2012 dengan gempa berkekuatan 6,1 M, tanggal 8 September 2012 dengan gempa berkekuatan 5,1 M, tanggal 11 Maret 2020 dengan gempa berkekuatan 5,1 M, tanggal 11 Maret 2020 dengan gempa berkekuatan 5,1 M. Gempabumi tersebut bersifat merusak (Farisa, 2022).

4. Geologi Jepang



Gambar 2. 5 Peta Geologi Jepang (Wakita K, 2012)

Geologi Kepulauan Jepang sangat kompleks yang dapat dilihat pada Gambar 2.5. Jenis batuan yang dibedakan pada peta ini meliputi sedimen tak terikat, batuan sedimen, batuan beku, dan batuan metamorf. Umur unit geologi utama yang terwakili berkisar dari Kambrium hingga Kuarter (Wakita K, 2012).

Geologi jepang yaitu semi-*Brittle* atau jenis batuan yang memiliki sifat antara batuan rapuh dan batuan lentur, contoh dari batuan tersebut adalah Shale (Lempung Batu), Andesite (Andesit), Graywacke (Batuan Serak), Phyllite (Filit), Tuff (Tufa), Siltstone (Batuan Lumpur Halus) (Mogi, 1962).

5. Gempabumi

Gempabumi adalah suatu berguncangnya atau bergesernya lempeng-lempeng tektonik di bawah permukaan bumi yang menghasilkan getaran pada permukaan. Pergeseran tiba-tiba tersebut dari lapisan batuan dibawah permukaan bumi yang energi sangat besar dan merambat kesegala arah berupa gelombang gempa bumi atau gelombang seismik hingga ke permukaan bumi dan efeknya dapat dirasakan (Sunarjo, 2012).

A. Parameter Gempabumi

Pada analisa kejadian gempa bumi diperlukan adanya parameter pendukung dalam menentukan. Gempa akan lebih mudah dianalisa apabila dapat diketahui beberapa parameter sumber gempa, antara lain (Muhlis, 2018):

a. Hiposenter

Hiposentrum adalah pusat gempa bumi, yaitu tempat terjadinya titik gema di dalam permukaan bumi.

b. Episenter

Episenter adalah proyeksi hiposenter di permukaan bumi yang menarik tegak lurus dari letak terjadinya pusat gempa.

c. Kedalaman

Kedalaman gempabumi adalah jarak tegak lurus dari letak episentrum gempabumi ke sumber gempabumi.

d. Waktu Kejadian Gempabumi (Origin Time)

Waktu terjadinya gempabumi adalah waktu pelepasan tegangan kumulatif akibat perambatan gelombang seismik, dalam hal ini OT dinyatakan dalam hari, bulan, jam, menit, detik dalam satuan UTC (Universal Time Coordinate).

e. Kekuatan Gempa bumi (Magnitudo)

Magnitudo adalah sebuah besaran yang menyatakan besarnya energi yang diperoleh dari sumber gempabumi dan magnitudo gempa ini diperkenalkan pertama kali oleh K. Wadati dan C. Richter pada tahun 1930 an. Ada berbagai macam jenis dari magnitudo gempabumi, diantaranya sebagai berikut (Muhlis, 2018):

a. Magnitudo lokal ML (local magnitude)

- b. Magnitudo gelombang badan MB (bodywave magnitude)
- c. Magnitudo gelombang permukaan MS (surface-wave magnitude)
- d. Magnitudo momen Mw (moment magnitude)
- e. Magnitudo gabungan M (unified magnitude)

Namun diantara kelima jenis magnitudo tersebut, masyarakat lebih mengenal Magnitudo Lokal ML atau magnitudo Skala Richter.

f. Intensitas Gempabumi

Intensitas gempa merupakan ukuran dampak guncangan seismik yang dirasakan di suatu tempat, yang dapat mempengaruhi kerusakan sarana dan prasarana. Besaran intensitas gempa dinyatakan dalam satuan skala intensitas, umumnya terdiri dari 12 skala, ditulis dengan angka romawi I-XII. Nilai kekuatan pertama kali diperkenalkan oleh Rossi-Forel. Badan Meteorologi, Klimatologi, dan Geofisika menyederhanakan dari 12 skala menjadi 5 skala (BMKG, 2023).

B. Klasifikasi Gempabumi

Pembagian gempabumi secara umum dapat diklasifikasikan tiga macam, yaitu :

- Gempabumi tektonik, yaitu terjadinya sebuah robekan pada kerak bumi secara tiba-tiba akibat pergeseran lempeng dan pelepasan energi dalam jumlah besar.
- 2. Gempabumi Vulkanik, yaitu adanya letusan yang terjadi akibat tekanan di bawah permukaan, adanya proses kristalisasi dan intrusi magma (Samodra dkk., 2013).
- 3. Gempabumi benturan, yaitu terjadinya karena aktivitas dari benda-benda di bumi yang saling bertabrakan. Gempabumi benturan ini dibagi menjadi dua, yaitu alami dan buatan. Sebagai contoh nya buatan seperti ledakan disebabkan oleh manusia, sedangkan untuk yang alami seperti longsoran, meteor yang jatuh ke bumi (Muhlis, 2018).

Berdasarkan jarak episentrum, gempabumi dibagi menjadi tiga, yaitu

- Gempabumi lokal, yaitu jarak episentrumnya < 10.000 km.
- 2. Gempa bumi jauh, yaitu jarak episentrumnya sekitar 10.000 km

Gempabumi sangat jauh, yaitu jarak episentrumnya > 10.000 km (samodra dkk., 2013).

Berdasarkan kedalamannya, gempabumi dibagi menjadi tiga yakni:

- 1. Gempabumi dangkal, yaitu kedalaman gempa bumi yang berfokus kurang dari 70 km.
- 2. Gempabumi sedang, yaitu kedalaman gempa bumi yang berfokus dari 70 km sampai 300 km.
- Gempabumi dalam, yaitu kedalaman gempa bumi yang berfokus lebih dari 300 km (estimasi sekitar lebih dari 450 km).

6. Gempa Susulan

Secara umum, gempabumi utama sering diikuti oleh gempa susulan yang membentuk pola tertentu dan dipastikan bahwa gempa tektonik tersebut adalah dangkal, karena terjadi pada kedalaman kurang dari 70 km, selalu diikuti oleh dislokasi atau patahan yang mengganggu sekitarnya. Hal ini mengakibatkan terjadinya gempa susulan atau bahkan gempa baru di sepanjang patahan tersebut (Andrean, 2017).

Gempa susulan dapat dirasakan dan dianggap sebagai patahan lokal pada lapisan permukaan bumi dengan terjadinya pada kedalaman tertentu maka sebagian besar energi tegangan yang terakumulasi akan dilepaskan pada saat gempa utama terjadi. Hal ini sejalan dengan terjadinya pada daerah patahan antara fokus gempa di permukaan bumi (Mogi, 1962).

Terdapat banyak tegangan sisa yang umumnya tertinggal di sekitar daerah patahan dan adanya tegangan konsentrasi yang tinggi di sekitarnya. Dalam kondisi seperti ini, beberapa retakan dan patahan lokal dapat terbentuk. Tegangan rata-rata di daerah tersebut akan menurun saat terjadi gempa utama, dengan berkurangnya energi terhadap waktu, dan tegangan konsentrasi pada suatu titik tidak menetap. Meskipun demikian, energi yang tersimpan dalam tegangan sisa dapat dilepaskan pada saat tertentu dalam bentuk gempa susulan dengan kekuatan tertentu. Hal ini merupakan proses stabilisasi medan stress keseimbangan yang baru setelah pelepasan energi (stress drop) yang besar pada gempa utama. Lokasi penyebaran sumber gempa susulan terkait erat dengan luas bidang sesar pada gempa utama yang terkait (Andrean, 2017).

6.1 Mekanisme Gempabumi Susulan

Gempa susulan adalah jenis gempabumi yang terjadi di wilayah yang sama dengan adanya gempa utama dan magnitudo yang lebih kecil serta muncul dengan pola tertentu yang mengikuti rumus Omori.

Dalam penelitian seismologi, sejak tahun 1894, seorang pakar Jepang bernama Fusakichi Omori telah mengamati pola penyebaran gempa susulan secara global yang teratur. Hukum Omori kemudian dikembangkan melalui perhitungan matematik dari pola penyebaran seismik yang diamati (Wirma dkk, 2012)

Menurut Benioff, 1951 Tegangan elastis yang terlepas oleh gempa merupakan bagian terpenting dari penggunaan tegangan sisa Namun, dalam beberapa kasus, mekanisme gempa susulan sedikit berbeda dari teori Benioff. Dalam model Benioff, gempa susulan disebabkan oleh pergerakan patahan yang sama yang menyebabkan gempa di lapangan. utama. Namun. sulit untuk membedakan antara gempa pendahuluan, gempa kecil (micro-earthquake), atau aktivitas kegempaan harian. Meskipun ada negara maju dalam bidang seismologi, belum ada yang mampu memprediksi kapan dan di mana gempabumi dan gempa susulan akan terjadi dengan akurat.

Dalam hal mengetahui mekanisme gempa susulan, maka harus diketahui sifat-sifatnya sebagai berikut:

- Gempa susulan pada umumnya terdapat di wilayah yang terjadi akibat patahan dan mempengaruhi sekitar patahan karena adanya perubahan volume akibat patahan tersebut.
- 2. Luasan gempa susulan seringkali pada satu sisi episenter atau patahan sekitar gempa utama kemudian pola distribusinya sama dan dapat diamati di laboratorium Ketika mempelajari patahan, tetapi pola distribusi yang berbeda dapat terjadi karena sensitivitas struktur patahan.
- 3. Gempabumi susulan biasanya jarang sekali ditemukan pada daerah yang dalam. Mekanisme gempabumi susulan terutama dipengaruhi oleh kerak bumi yang terletak dekat dengan kemudian permukaan. yang dipengaruhi kelanjutan daerah patahan. Oleh karena itu, gempabumi susulan pada daerah yang dalam tidak diharapkan terjadi karena dapat menyebabkan peningkatan tekanan, suhu tinggi, dan regangan ulang pada daerah patahan.
- 4. Konstanta β pada hubungan antara magnitudo dan frekuensi gempa susulan memiliki nilai yang lebih besar daripada gempa lainnya, kecuali gempa pendahuluan. Nilai β yang besar menunjukkan keadaan patahan yang lebih kompleks pada daerah

gempa susulan. Distribusi waktu adalah bagian penting dari fenomena gempa susulan.

6.2 Hubungan Frekuensi Gempabumi Susulan Dengan Waktu

Pengolahan untuk mendistribusikan gempabumi terhadap waktu, terdapat 2 metode dalam hal ini, yakni metode Omori dan Mogi I. Berikut adalah pendapat tentang metode tersebut.

6.2.1 Omori

Seorang seismologi dari jepang yang Bernama Fusakichi Omori sejak tahun 1894 telah mengamati pola penyebaran gempa susulan di jepang yakni gempa besar di Kumamoto pada tahun 1889, Mino dan Owari pada tahun 1891 dan gempa kogoshime pada tahun 1893 (Omori,1894).

Omori menyimpulkan secara teoritis hubungan waktu dari aktivitas (atau frekuensi) gempa susulan, asumsinya:

- aktivitas atau frekuensi gempa susulan suatu saat sebanding dengan besarnya gangguan pada kondisi geotektonik yang ada di dekat lokasi gempa utama;
- pengurangan besaran ini bergantung pada aktivitas gempa susulan yang

terkait; artinya, gempa susulan diasumsikan menghilangkan begitu banyak titik ketidakstabilan atau kelemahan di titik asal.

 Berasumsi bahwa masing-masing gempa susulan mempunyai rangkaian gempa susulan sekundernya sendirisendiri, bergantung pada besarnya Magnitudo.

Menurut Omori (1894), tingkat keaktifan gempa bumi terdahap frekuensi dan waktu, yakni dituliskan seperti persamaan 2.1:

$$n(t) = \frac{k}{t+c} \tag{2.1}$$

Keterangan:

n(t) = frekuensi gempabumi dalam satuan waktu.

t = waktu gempabumi susulan (hari)

k = konstanta yang didapatkan dari satu dibagi intercept.

c = konstanta yang didapatkan dari koefisien regresi dikali dengan k.

Proses menentukan kontanta k dan

c digunakan metode kuadrat terkecildengan persamaan 2.2 sebagai berikut :

$$Y = A + BX \tag{2.2}$$

Dengan rumus untuk mencari nilai A dan B yaitu dengan persamaan 2.3 dan 2.4, yakni:

$$B = \frac{n\sum xy - \sum x\sum y}{n\sum x^2 - (\sum x)^2}$$
 (2.3)

$$A = \frac{1}{n} \left(\sum y - B \sum x \right) \tag{2.4}$$

Dari persamaan 2.1 yang di linierkan dengan persamaan 2.2 maka untuk menentukan nilai pada kontanta k dan c didapatkan persamaan 2.5, 2.6, 2.7 dan 2.8 sebagai berikut :

$$n(t) = \frac{k}{t+c}$$

$$\begin{bmatrix} \frac{1}{n(t)} & = & \frac{c}{k} + \frac{1}{k} & t \\ & & & \downarrow \\ & & & A & R & X \end{bmatrix}$$

Dimana:

$$Y = \frac{1}{n(t)} \tag{2.5}$$

$$A = \frac{c}{k} \tag{2.6}$$

$$X = t \tag{2.7}$$

$$B = \frac{1}{k} \tag{2.8}$$

Untuk mendapatkan nilai k dan c dari hasil persamaan 2.8 dan persamaan 2.6, maka didapatkan persamaan 2.9 dan 2.10:

$$k = \frac{1}{R} \tag{2.9}$$

$$c = B \cdot k \tag{2.10}$$

6.2.2 Mogi I

Mogi (1962) dalam penelitiannya Mogi mengungkapkan bahwa fenomena gempa susulan dikaitkan dengan karakteristik rekahan kerak bumi yang tertekan, yang dianggap sebagai material heterogen semi tak terbatas. Artinya ketika gempabumi utama terjadi diakibatkan oleh rekahan maka sebagian besar akan akumulasi tegangan sekitarnya dilepaskan.

Dengan mengambil rumus dari Mogi I untuk gempa bumi susulan yang terjadi antara t lebih dari 0 dan t kurang dari 100 (0<t<100), hubungan antara frekuensi dan waktu seperti persamaan 2.11 sebagai berikut:

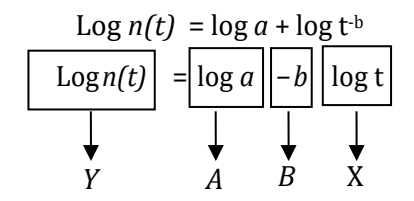
$$n(t) = at^{-b} \tag{2.11}$$

Keterangan:

- n(t) = frekuensi gempabumi dalam satuan waktu.
- t = waktu gempabumi susulan(hari).
- a = konstanta yang didapatkan dari sepuluh pangkat intercept.
- b = konstanta yang didapatkan dari minus koefisien regresi.

Dari persamaan 2.11 digunakan metode kuadrat terkecil dengan persamaan 2.2 maka untuk menentukan nilai pada kontanta a dan b didapatkan persamaan 2.12, 2.13, 2.14 dan 2.15 sebagai berikut :

$$n(t) = at^{-b}$$



$$Y = \log n(t) \tag{2.12}$$

$$A = \log a \tag{2.13}$$

$$X = \log t \tag{2.14}$$

$$B = -b \tag{2.15}$$

Untuk mendapatkan nilai a dan b dari hasil persamaan 2.13 dan persamaan 2.15, maka didapatkan persamaan 2.16 dan 2.17:

Log
$$a = A$$

 $a = 10^{A}$ (2.16)
 $b = -B$ (2.17)

B. Kajian Hasil Penelitian

Penelitian tentang peluruhan akhir gempabumi yang telah dilakukan oleh Salsabila, dkk (2019) yang membahas tentang peluruhan gempa bumi menggunakan metode omori,mogi-utsu I dan mogi-utsu II di wilayah Banten 2018 diketahui hasil yang diperoleh dengan menggunakan metode omori yang menunjukkan nilai koefisien korelasi yang sangat dekat dengan -1, yakni 0.087.

Pada Kajian Penelitian tentang penentuan asumsi akhir gempa bumi yang telah dilakukan oleh Rida Saeful (2022) membahas tentang distribusi waktu dan luasan daerah deformasi gempabumi susulan di pasaman barat 25 februari 2022 yang berkekuatan 6,2 Mw menggunakan metode Omori, Mogi I, Mogi II dan Utsu dalam hal ini menemukan hasil prediksi gempa susulan. Diketahui Hasil yang diperoleh dengan menggunakan metode Mogi I yang menunjukkan nilai koefisien korelasi yang sangat dekat dengan -1, yakni -0,91. maka sangat kuat hubungan frekuensi gempa terhadap waktu.

Penelitian yang di lakukan oleh Vivi Nur Islamiati, dkk (2019) di wilayah Ambon untuk menganalisis prediksi waktu berakhirnya gempa susulan di wilayah tersebut. Penelitian ini

dilakukan dengan menggunakan data Badan Meteorologi Klimatologi dan Geofisika (BMKG) stasiun Ambon. Pengolahan data dilakukan dengan software Software Peluruhan V2.0. Hasil penelitian menunjukkan Vivi Nur Islamiati, dkk yang membahas peluruhan gempa bumi susulan di ambon tahun 2019 dengan pendekatan statistik menggunakan software peluruhan V2.0 menghasilkan analisis waktu peluruhan gempa susulan paling mendekati rekaman data real time berakhirnya gempa susulan BMKG adalah metode Mogi II yang menunjukkan bahwa peluruhan gempa susulan berakhir Tanggal 20 April 2020 pada hari ke 208 pasca gempa bumi utama dengan koefisien korelasi sebesar -0,816 dengan gempa utama sebesar 6,6 M_w.

Penelitian tentang penentuan asumsi akhir gempa bumi yang telah dilakukan oleh Adam Awaludin (2011) yang membahas penentuan waktu berakhirnya gempa susulan untuk gempa bumi biak 2010 menggunakan metode Omori, Mogi I, Mogi II dan Utsu. Diketahui Hasil yang diperoleh dengan menggunakan metode Mogi II yang menunjukkan nilai koefisien korelasi yang sangat dekat dengan -1, yakni -0,887. Hasil analisis menunjukkan bahwa gempa susulan diperkirakan akan berhenti 18 hari setelah gempa utama terjadi dengan kekuatan gempa utama sebesar 6,2 Mw.

Pembeda dari penelitian yang akan dilakukan dengan penelitian sebelumnya adalah tempat yang diteliti dan mengetahui nilai *error* dari setiap data yang diperoleh karena di penelitian sebelumnya tidak ada.

BAB III

METODOLOGI PENELITIAN

A. Jenis Penelitian

Jenis Penelitian adalah penelitian kuantitatif, yakni dilakukan penelitian dengan menggunakan data sekunder yang diperoleh dari Data BBMKG Wilayah II Ciputat Tangerang Selatan yang sudah tersedia dalam bentuk Microsof Excel.

B. Tempat dan Waktu Pengamatan Penelitian

Pada Penelitian ini mengambil data sekunder gempa bumi di wilayah Cianjur-Jawa Barat dengan event data sebanyak 365 kejadian, gempa ini terjadi di tanggal 21 november 2022.



Gambar 3. 1 BBMKG Wilayah II Data penelitian ini langsung diperoleh dari Balai Besar Meteorologi, Klimatologi dan Geofisika (BBMKG)

Wilayah II, Tangerang Selatan. Pada penelitian ini dilakukan di koordinat 6.82° LS dan 107.09° BT, dan kejadian gempabumi susulan.

C. Alat dan Bahan

Adapun Beberapa prangkat yang digunakan dalam penelitian ini, diantaranya yaitu :

- 1. Microsof Excel 2013.
- 2. Microsoft Word 2013.
- 3. Data gempa Cianjur tanggal 21 november 2022.

D. Prosedur Penelitian

Diagram alir prosedur penelitian pada gambar 3.2 Secara lebih rinci adalah sebagai berikut:

- 1. Tahap pertama adalah mulai penelitian dengan cara mempersiapkan alat dan bahan.
- 2. Tahap kedua mengambil data yang diperoleh dari BBMKG berupa tanggal, waktu, lokasi episenter magnitude, longitude, latitude dan skala MMI.
- Tahap ketiga mengelompokkan frekuensi gempa tiap 24 jam.
- 4. Tahap keempat mendapatkan nilai kontanta pada model Omori dan Mogi I dengan proses yang melibatkan persamaan 2.1 dan 2.11 yang di regresi linier.
- 5. Tahap kelima membandingkan nilai n(t) yang didapat dari *real data* dengan model rumus omori dan Mogi I,

dimana *real data* hasil dari pengelompokkan data mentah dari BBMKG sehingga menjadi data yang telah terkelompok dalam 24 jam.

6. Tahap keenam adalah kemudian membandingkan *real data* dengan metode Omori dan Mogi I dengan mengetahui selisih dari regresi kurva. Untuk dapat model yang lebih baik dihitung juga nilai dari koefisien korelasinya dengan menggunakan persamaan 3.16 (Sitepu, 1998):

$$r = \frac{n\sum xy - \sum x\sum y}{\sqrt{\{n\sum y^2 - (\sum x)^2\}\{n\sum y^2 - (\sum y)^2\}}}$$
 (3.16)

Dimana:

n = banyaknya data (1,2,3...)

 $\sum x$ = hasil jumlah dari semua variabel x

 $\sum y$ = hasil jumlah dari semua variabel y

 $\sum xy$ = hasil jumlah dari semua perkalian dari variable x dan y

 $\sum x^2$ = hasil jumlah dari semua variabel x di kuadratkan $\sum y^2$ = hasil jumlah dari semua variabel y di kuadratkan Adapun kriteria dalam menentukan kriteria korelasi yaitu menurut Guilford bisa dilihat pada tabel 3.1 :

Tabel 3. 1 Kriteria Koefisien Korelasi

Koefisien Korelasi (<u>+</u>)	Korelasi
r < 0,20	Sangat Rendah
$0.20 \le r < 0.40$	Rendah
$0,40 \le r < 0,70$	Sedang
$0.70 \le r < 0.90$	Tinggi
$0.90 \le r \le 1.00$	Sangat Tinggi
	(Eka dkk, 2015)

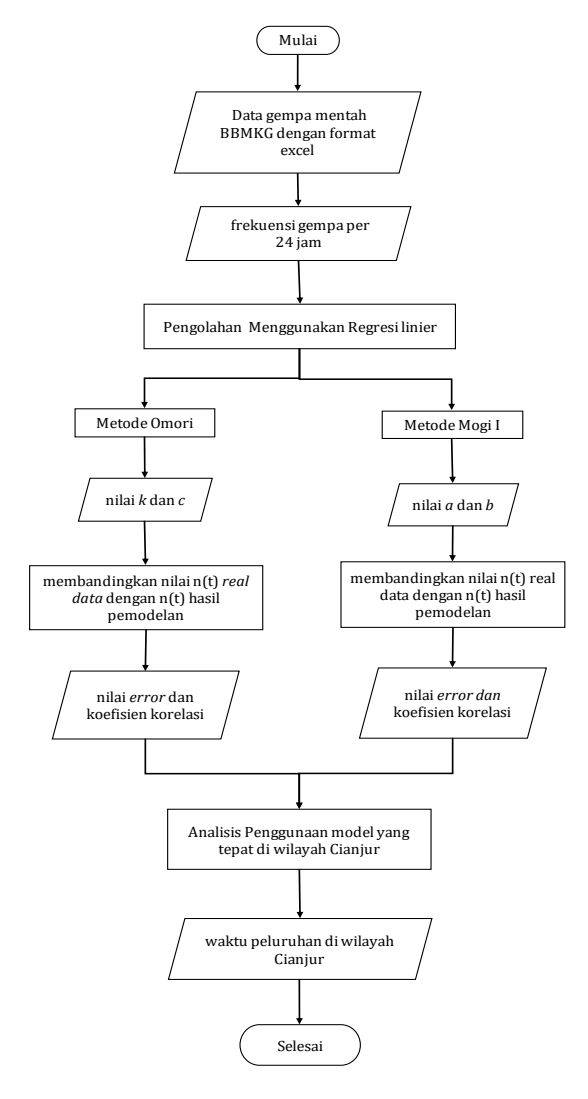
Pada tabel 3.1 merupakan pedoman dalam menghubungkan dari hasil nilai koefisien korelasi terhadap variabel yang dihubungkan apakah kedua variabel tersebut menunjukan memiliki hubungan atau tidak.

Bila nilai r mendekati -1, hubungan variabel y dan x adalah negatifsangat kuat. Bila nilai r mendekati 1, hubungan variabel y dan x positif sangat kuat. Bila nilai r mendekati nol, tidak ada hubungan variabel y dan x artinya tidak ada hubungan diantara waktu (t) dan frekuensi gempa susulan n(t).

- 7. Tahap ketujuh setelah mendapatkan nilai *error* dan koefisien korelasi, lalu di analisis model tersebut dengan mengetahui keterkaitan hubungan variabel, dimana variabel *real data* dengan dua metode tersebut.
- 8. Tahap kedepalan adalah menghitung waktu akhir durasi gempabumi susulan dengan menggunakan

metode yang tepat.

9. Tahap kesembilan membuat kesimpulan.



Gambar 3. 2 Diagram Alir Prosedur Penelitian

BAB IV

Hasil dan Pembahasan

1. Plot data frekuensi Gempabumi dan interval waktu per-hari

Data yang di peroleh dari Balai Besar Meteorologi Klimatologi dan Geofisika Wilayah II (BBMKG) pada penelitian ini adalah catatan hasil gempabumi di wilayah Kabupaten Cianjur-Jawa Barat pada tanggal 21 November 2022. Pada lampiran yang pertama Dimana data gempa susulan berjumlah 365 event gempa yang dirasakan oleh masyarakat berjumlah 27 yang dirasakan sekitar Di Karangtengah, Ciherang, Cianjur, Cugenang, Cipanas, Cilaku, Warungkondang, Bayongbong, dan sukabumi.

Daerah tersebut merasakan skala intensitas gempabumi dari I sampai IV dalam hal ini skala I MMI (*Modified Mercalli Intensity*) yaitu getaran tidak dirasakan kecuali dalam keadan luar biasa oleh beberapa orang. Skala II MMI yakni getaran dirasakan oleh beberapa orang yang menimbulkan benda yang digantung bergoyang. Skala III getaran dirasakan nyata dalam rumah. Skala IV dirasakan oleh orang banyak dalam rumah dan diluar benda-benda yang jatuh pecah dan pintu berderik(BMKG, 2023).



Gambar 4. 1 Grafik Penurunan Gempa susulan 'real data'

Gambar 4.1 merupakan hasil plot dari tabel pada lampiran kedua yang adalah pola penurunan gempa susulan Dimana hari ke 2 sampai hari ke 11 gempa masih tergolong banyak frekuensinya dalam hal ini setiap frekuensi gempa dalam 24 jam berjumlah 12 sampai 37 gempa susulan. Pada hari 13 sampai 17 frekuensi gempa susulan dengan jumlah terkecil 2 dan terbesar adalah 8. Pada hari 18 sampai hari ke 36, gempa mulai mengecil jumlah frekuensinya dengan hal ini jumlah frekuensi gempa berjumlah terkecil 1 dan terbesar adalah 5. Grafik tersebut bersifat fluktuatif dalam hal dikarenakan diakibatkan ketidak ideal data lapangan yang salah satunya disebabkan oleh sebagian dari energi yang dilepaskan dari patahan lempeng berpindah ke batuan di sekitarnya, dan setiap batuan memiliki ketahanan pada

tekanan masing-masing sehingga batuan tersebut menjadi hancur atau kuat menahan tekanan, jika hancur maka melepaskan energi baru (Firman, 2018). Daerah cianjur memiliki batuan yang bervariasi ada yang keras, lentur dan rapuh dalam hal ini heterogen, dimana jika gempa terjadi diwilayah keras maka frekuensi gempa berjumlah sedikit, jika lentur atau rapuh ketahanan tekanan lebih tinggi sehingga frekuensi gempa bisa tinggi. Ada faktor pencatatan dari stasiun BMKG dengan frekuensi di setiap 24 jam tidak selalu 10 KM sehingga kedalaman gempa susulan masih dicatat, karena ketentuan gempa dangkal dibawah 70 KM (Danar, 2022).

2. Analisis Waktu Berakhirnya Gempabumi Susulan

Data Gempabumi/frekuensi gempa (n(t)) yang telah dikelompokan terhadap interval waktu (t) dilakukan Analisa dengan menggunakan 2 metode, yaitu Metode Omori dan Mogi I. kedua metode tersebut merupakan metode yang dapat digunakan untuk mencari waktu berakhirnya gemabumi susulan. Hasil perhitungan kedua metode tersebut di jelaskan sebagai berikut:

a. Hasil Perhitungan Metode Omori

Analisis Penentuan waktu berakhirnya gempabumi susulan dengan menggunakan pendekatan Metode Omori membutuhkan nilai konstata k dan c sesuai persamaan (2.1). Berdasarkan data gempabumi yang telah di

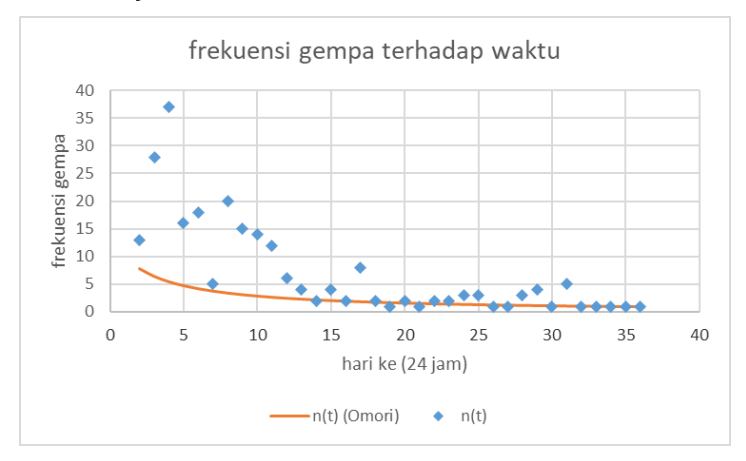
kelompokkan, kemudian dihitung menggunakan perhitungan persamaan (3.1) – (3.9) yang hasil tersebut ditunjukkan pada table 4.1. Hasilnya terdapat di lampiran ke-3 menghasilkan nilai k sebesar 35.719 dengan nilai k adalah presentasi dari karakteristik keadaan geologi lokal yang ada di Cianjur. Nilai k sebesar -2.625 dengan nilai k mempresentasikan tingkat penurunan frekuensi gempa susulan yang ada di wilayah Cianjur dihitung pada lampiran k

Tabel 4. 1 Hasil kontanta Omori				
Metode	k	С		
Omori	35.719	-2.625		

Dari tabel 4.1 dapat digunakan dalam menghitung hasil akhir metode Omori seperti pada lampiran 3. Hasil dari perhitungan statisik menggunakan metode Omori dengan nilai k dan c yang didapatkan bahwa berhentinya gempa di Cianjur menggunakan rumus omori dengan frekuensi terkecil 1 yakni di hari ke 38 setelah gempa utama atau di tanggal 30 Desember 2022.

Nilai k dan c yang didapatkan hasil dari Distriusi penurunan gempa susulan di wilayah Cianjur dan hasil tersebut diakibatkan oleh karakterisitik seismik yang menunjukkan zona sesar Cugenang dan konsentrasi tegangan lokal di area, serta peran batuan yang keras, lentur, dan rapuh memiliki karakteristik keadaan geologi

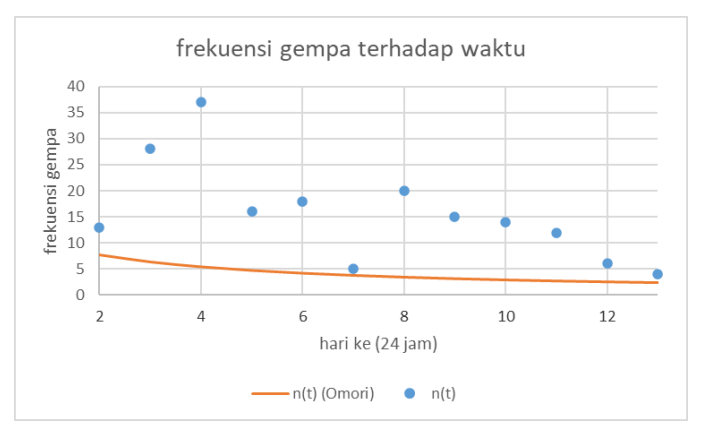
yang berbeda, yang dapat mempengaruhi frekuensi gempa susulan dalam hal ini batuan vulkanik di daerah Cianjur yang mempengaruhi seperti lava, breksi, tuf, serta endapan lahar lepar, batu apung, andesit sampai basalt (Hasrullah dkk, 2023).



Gambar 4. 2 Grafik Penurunan Gempa susulan 'real data' dan Omori

Berdasarkan gambar 4.2, terlihat bahwa grafik metode Omori dengan data sebenarnya pada hari ke-2 hingga hari ke-12 memiliki selisih yang cukup besar. Namun, setelah melewati hari ke-12, terlihat bahwa selisih antara grafik metode Omori dan data sebenarnya semakin mengecil hingga mencapai nilai terkecilnya pada hari ke-36 selisih ini dapat dilihat pada lampiran 6. Hal ini menunjukkan bahwa metode Omori dapat diterapkan dengan baik pada gempa susulan di wilayah Cianjur, terutama pada periode

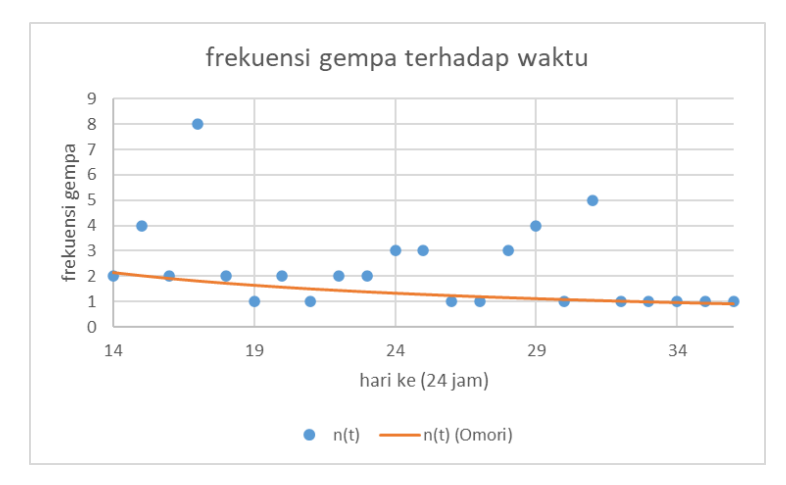
waktu akhir, di mana hasil prediksinya semakin mendekati data sebenarnya. Dalam hal ini frekuensi gempa susulan dapat dipengaruhi oleh berbagai faktor, termasuk mekanisme sumber gempa darat, aktivitas sesar mendatar, dan struktur geologi di daerah Cianjur yang memiliki batuan beku (Awalludin, 2011).



Gambar 4. 3 Grafik Penurunan Gempa susulan 2<t<13

Dalam gambar 4.3, terlihat bahwa kurva model Omori pada rentang waktu 2 hingga 13 hari tidak berhimpit dengan *data real* atau selisihnya jauh antara model dengan *real data* seperti pada hari ke 2 selisih tersebut sebesar 5.278 dan selisih terjadi pada hari ke 4 dengan selisih sebesar 31.609 sedangkan selisih terkecil dihari ke 13 yakni 1.714 dari real data selisih tersebut diakibatkan amplifikasi atau atenuasi gelombang seismik sedangkan model tidak fluktuatif (Hasrullah, 2023). Dalam hasil

analisis, dapat didiketahui bahwa hal tersebut diakibatkan model yang tidak sesuai dengan metode Omori sehingga tidak dapat diterapkan pada periode tersebut, yaitu dari hari ke-2 hingga ke-13, berdasarkan informasi yang tertera dalam Tabel Lampiran ke-6. Kesimpulan ini didasarkan pada perbedaan yang signifikan antara hasil model Omori dan data sebenarnya pada rentang waktu tersebut.



Gambar 4. 4 Grafik Penurunan Gempa susulan t>13

Berdasarkan pada gambar 4.4 grafik penurunan gempa susulan setelah 13 hari dengan menggunakan metode omori dengan 'real data' yang dapat dilihat dari (lampiran ke 6). Diketahui bahwa dari hari 14 hingga 36 hari. pada hari ke 14 hingga ke 17 data tersebut lebih banyak berhimpit data dengan model Omori dengan selisih terkecil 0,082 dan 0,148. Untuk data ke 18 hingga 21, data sangat

berhimpit dengan model Omori dengan selisih *error* terkecil sebesar 0,268. Namun pada hari ke 22 hingga hari ke 25 nilai selisih *error* terkecil terdapat di Omori dengan nilai sebesar 0,550 terhadap *real data*. Pada hari ke 26 hingga ke 31 data dengan model berhimpit yang selangseling karena sama-sama selisihnya hampir mendekati dengan data. Untuk hari ke 32 hingga hari ke 36 lebih baik Omori karena sangat berhimpit, dengan hal ini untuk hasil yang cocok data dengan model yakni Omori. dalam hal ini *real data* dengan model mengalami laju penurunan gempa susulan yang asimtotik hal ini diakibatkan oleh tidak adanya lagi getaran dibawah permukaan atau dengan kata lain gelombang gempa susulan stabil atau berakhir (Omori, 1894).

b. Hasil Perhitungan Metode Mogi I

Analisis Penentuan waktu berakhirnya gempabumi susulan dengan menggunakan pendekatan Metode Mogi I membutuhkan nilai konstata a dan b sesuai persamaan (2.2). Berdasarkan data gempabumi yang telah di kelompokkan, kemudian dihitung menggunakan perhitungan persamaan (3.1) - (3.3) dan (3.11) - (3.16) yang hasil tersebut ditunjukkan pada table 4.2. Hasilnya terdapat di lampiran ke-4 menghasilkan nilai a sebesar 61.302 nilai a adalah presentasi dari karakteristik keadaan

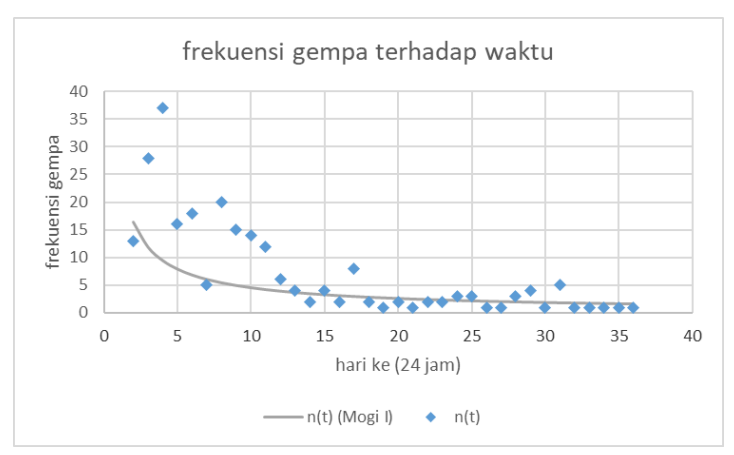
geologi lokal. Nilai *b* sebesar 1.078 dengan nilai b mempresentasikan tingkat penurunan frekuensi gempa susulan dihitung pada lampiran 4.

Tabel 4. 2 Hasil Konstanta Mogi I

Metode	а	b
Mogi I	61.302	1.078

Dari tabel 4.2 dapat digunakan dalam menghitung hasil akhir metode Mogi I seperti pada lampiran 4. Hasil dari perhitungan statisik menggunakan metode Mogi I dengan nilai *a* dan *b* yang didapatkan bahwa berhentinya gempa di Cianjur menggunakan rumus Mogi I dengan frekuensi terkecil 1 yakni di hari ke 45 setelah gempa utama atau di tanggal 6 Januari 2023.

Dalam hal ini nilai *a* dan *b* yang didapatkan hasil dari Distriusi penurunan gempa susulan di wilayah Cianjur dan hasil tersebut diakibatkan oleh karakterisitik seismik yang menunjukkan zona sesar Cugenang dan konsentrasi tegangan lokal di area, serta peran batuan yang keras, lentur, dan rapuh memiliki karakteristik keadaan geologi yang berbeda, yang dapat mempengaruhi frekuensi gempa susulan dalam hal ini batuan vulkanik di daerah Cianjur (Hasrullah dkk, 2023).



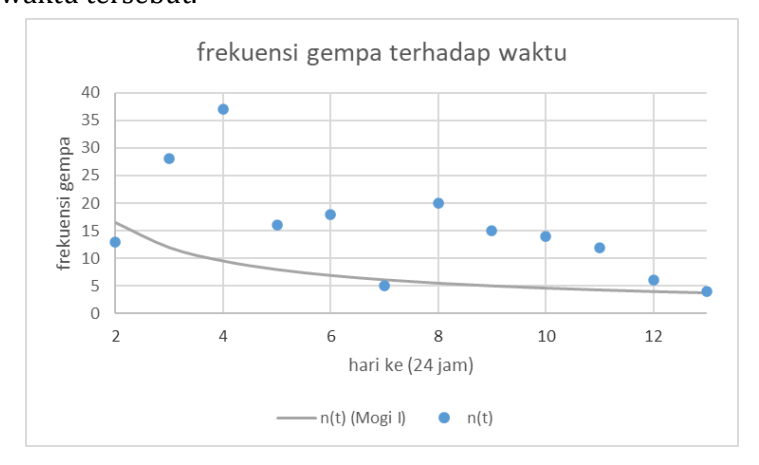
Gambar 4. 5 Grafik Penurunan Gempa susulan 'real data'dan Mogi I

Gambar 4.5 adalah hasil dari grafik penurunan gempa susulan yang dimana grafik dari setiap metode yang di bandingkan dengan *real data* menunjukan bahwa penurunan gempa susulan terus menurun seiring dengan waktu, dan model Mogi I tersebut juga menurun seiring dengan waktu. Berdasarkan gambar 4.5, terlihat bahwa grafik metode Mogi I dengan data sebenarnya pada hari ke-3 hingga hari ke-12 memiliki selisih yang cukup besar. Namun, setelah melewati hari ke-12, terlihat bahwa perbedaan antara grafik metode Mogi I dan data sebenarnya semakin mengecil hingga mencapai nilai terkecilnya pada hari ke-36, perbedaan ini dapat dilihat pada lampiran 6. Gempa susulan yang diakibatkan patahan sesar Cugenang karena adanya deformasi dan Gerakan tanah pada getaran gempa yang dibawah

permukaan mengakibatkan gempa Cianjur bertumbuk dengan tanah yang memiliki keras, lentur dan rapuh (Evalita, 2023). Dalam hal ini menunjukkan bahwa metode Mogi I dapat diterapkan dengan baik pada gempa susulan di wilayah Cianjur, terutama pada periode waktu akhir.

Metode Mogi I dengan 'real data' yang dapat dilihat dari (lampiran ke 6). Diketahui bahwa dari hari ke-2 hingga ke 36 yang berhimpit dengan metode yakni Mogi I dengan selisih terbesar 27.523 dihari ke-4 dan selisih terkecil di angka 0,271 di hari ke 13. untuk hari ke-3 sampai ke-6 selisih dari kedua metode sangat jauh atau tidak berhimpit begitu dengan hari ke-8 hingga ke-12 seperti dilihat pada gambar 4.6. diakibatkan amplifikasi atau atenuasi gelombang seismik sedangkan model tidak fluktuatif (Hasrullah, 2023). Dalam hasil analisis, dapat didiketahui bahwa hal tersebut diakibatkan model yang tidak sesuai dengan metode Omori sehingga tidak dapat diterapkan pada periode tersebut, yaitu dari hari ke-2 hingga ke-13, berdasarkan informasi yang tertera dalam Tabel Lampiran ke-

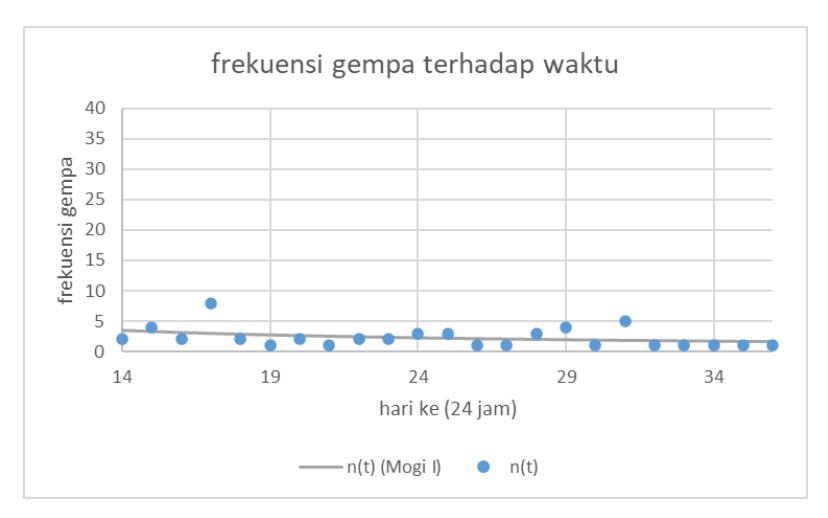
6. Kesimpulan ini didasarkan pada perbedaan yang signifikan antara hasil model Mogi I dan data sebenarnya pada rentang waktu tersebut.



Gambar 4.6 Grafik Penurunan Gempa susulan 2<t<13

Berdasarkan pada gambar 4.7 Perbandingan metode Mogi I dengan 'real data' yang dapat dilihat dari (lampiran ke 6). Diketahui bahwa dari hari 14 hingga 36 hari. pada hari ke 14 hingga ke 17 data tersebut lebih banyak berhimpit data dengan model Mogi I dengan selisih terkecil 0,671 dihari ke 15. Untuk data ke 18 hingga 21, data sangat berhimpit dengan model Mogi I dengan selisih *error* terkecil sebesar 0,652 dihari ke 20. Namun pada hari ke 22 hingga hari ke 25 nilai selisih *error* terkecil terdapat di Mogi I dengan nilai 0.374 terhadap *real data* dengan kategori <1 sehingga berhimpitan. Pada hari ke 26 hingga ke 31 data dengan model berhimpit yang selisihnya mendekati dengan selisih terkecil di Mogi I adalah 0,924 di hari

ke 30. Untuk hari ke 32 hingga hari ke 36 metode Mogi I sangat berhimpit Kembali dengan nilai *error* <1, Dalam hal ini, frekuensi gempa susulan di wilayah Cianjur dipengaruhi oleh beberapa faktor, termasuk mekanisme sumber gempa darat, aktivitas sesar mendatar, dan struktur geologi yang didominasi oleh batuan beku (Awalludin, 2011). Hasil akhir yang sesuai antara data dan model adalah Metode Mogi I. Gempa susulan yang dipicu oleh akumulasi tegangan di wilayah Cianjur menghasilkan gangguan pada sekitar patahan, penurunan magnitudo yang konsisten mengecil ini disebabkan oleh stabilitas dibawah permukaan, karena batuan di wilayah Cianjur mampu menahan getaran dari energi gempa susulan(Mogi, 1962).



Gambar 4.7 Grafik Penurunan Gempa susulan t>13

3. Nilai Koefisien Korelasi

Nilai koefisien korelasi dapat digunakan untuk menjelaskan tingkat keterkaitan/kesamaan dari model (Mogi I dan Omori) dengan *real data.* Nilai koefisien korelasi tersebut ditunjukan pada tabel 4.3.

Tabel 4. 3 nilai koefisien korelasi dari kedua metode

Metode	Mogi I	Omori
r	0.798	0.740

Berdasarkan tabel 4.5, diperoleh nilai koefisien korelasi (r) untuk Metode Mogi I sebesar 0.798 dan untuk Metode Omori sebesar 0.740 dari lampiran 5. Kedua nilai tersebut menunjukkan tingkat keterkaitan yang signifikan dengan real data, dengan nilai mendekati 1, mengindikasikan hubungan positif yang kuat antara model dan real data (Eka dkk, 2015). Oleh karena itu, keduanya memenuhi kriteria tinggi dalam kategori tabel 3.1, sehingga keduanya dapat diterapkan dalam menghitung gempa susulan di wilayah Cianjur. Namun, dalam hal menghitung waktu berakhirnya gempa susulan di wilayah Cianjur yang tepat adalah Metode Mogi I karena nilai *error* dengan *real data* di waktu akhir sangat kecil.

BAB V

KESIMPULAN

A. Kesimpulan

Berdasarkan hasil pengolahan dan analisis data dalam menentukan waktu berakhirnya gempabumi susulan di Cianjur pada 21 november 2022 menggunakan Metode Omori dan Metode Mogi I di peroleh kesimpulan dari penelitian, ini antara lain:

- Kedua metode tepat digunakan untuk menentukan durasi akhir diwilayah Cianjur sebab memiliki nilai koefisien korelasi yang tinggi dengan nilai mendekati -1<r<1. Mogi dengan nilai korelasi 0.798 dan Omori dengan nilai korelasi 0.740. Oleh karena itu, metode Omori dan Mogi I dianggap efektif untuk digunakan dalam memprediksi gempa susulan di wilayah Cianjur.
- 2. Dalam rentang waktu awal (2-13 hari), kedua metode tidak berhasil memprediksi gempa susulan berdasarkan data yang sebenarnya, namun mulai akurat setelah 13 hari. Pada akhir periode, Metode Mogi I menunjukkan hasil yang lebih baik dengan nilai *error* yang sangat kecil, yakni 0,003 di waktu setelah 13 hari dalam hal ini metode Mogi I tepat dalam memprediksi gempa susulan di wilayah Cianjur.

Metode Mogi I memprediksi bahwa gempa susulan di wilayah Cianjur akan berakhir dalam waktu 45 hari.

B. Saran

Penelitian ini memliki kekuarangan yang harus diperbaiki dengan menambahkan data gempa yang lebih banyak di suatu daerah yang sama atau menambahkan tempat lain untuk mengetahui perbandingan pemberlakuan metode bisa di seluruh Indonesia.

DAFTAR PUSTAKA

- Abdullah. 2003. Tafsir Ibnu Katsir (juz 29 hal-326).
- Adang Awalludin, 2011. *Penentuan Waktu Berakhirnya Gempa Susulan Untuk Gempa Bumi Biak 16 Juni 2010.* FMIPA; UIN Jakarta.
- Andrean, 2017. Perbandingan Energi Gempa Bumi Utama dan Susulan (Studi Kasus : Gempa Subduksi Pulau Sumatera dan Jawa). Jurnal Fisika : BMKG Aceh.
- BBMKG, 2019, *Peta Seismotektonik Pusat Gempabumi Regional II*, PGR wilayah II: Tangerang Selatan.
- Benioff, H., 1951. Earthquakes and rock creep:(Part I: Creep characteristics of rocks and the origin of aftershocks).

 Bulletin of the Seismological Society of America, 41(1), 31-62.
- BMKG, 2023, Skala MMI (Modified Mercalli Intensity) dan Peta Sesar Cugenang, Diakses tanggal 24 Juli 2023. https://www.bmkg.go.id/gempabumi/skala-mmi.bmkg. https://www.bmkg.go.id/berita/?p=peta-bahaya-gempabumi-cianjur-dengan-sumber-gempa-patahan-cugenang&lang=ID.
- BNPB. 9 November 2023. *Gempa Beruntun Landa Tanimbar, Tidak Ada Kerusakan*. Artikel BNPB. https://bnpb.go.id/berita/gempa-beruntun-landa-tanimbar-tidak-ada-kerusakan
- Danar. 2022. Batuan Tidak Solid, Pusat Gempa Kabupaten Cianjur Masuk Kategori Lokasi Rawan Bencana. Krjogja.

 Diakses tanggal 4 Maret 2024.

 https://www.krjogja.com/nasional/1242462688/batuan-tidak-solid-pusat-gempa-kabupaten-cianjur-masuk-kategori-lokasi-rawan-bencana
- Daryono, 8 Desember 2022. BMKG Rilis Foto Udara Zona
 Bahaya Patahan Aktif Cugenang Pasca Gempa Bumi
 Cianjur [Video]. KOMPASTV.
 https://www.youtube.com/live/i3a0 E031jU?si=kQa
 1FPTdc0 QOY73

- Eka dkk, 2015. *Penelitian Pendidikan Matematika*. Bandung: PT. Refika Aditama.
- Evalita L.H, 2023. *Tinjauan Geologis Gempa Cianjur November* 2022. E-Journal Rekayasa Teknik Sipil dan Lingkungan 2023 Vol.4, No. 1 hlm 46-53.
- Farisa. 22 November 2022. Dilalui Sesar Cimandiri, Ini Sejarah Gempa Cianjur Sejak Tahun 1844. Kompas Nasional. https://nasional.kompas.com/read/2022/11/22/11584641/dilalui-sesar-cimandiri-ini-sejarah-gempacianjur-sejak-tahun-1844
- Firman T. 2018. Mengapa Gempa Susulan Bisa Berlangsung Berkali-kali. Diakses tanggal 5 februari 2024. https://tirto.id/mengapa-gempa-susulan-bisa-berlangsung-berkali-kali-c4cv
- Haryanto dkk. 2017. *Tektonik Sesar Cimandiri, Provinsi Jawa Barat.* Bandung: UNPAD.
- Hasrullah dkk., 2023. Analisis Geologis Gempa di Cianjur : Karakteristik Seismik, Zona Patahan, dan Peran Geologi dalam Penilaian Risiko Gempa. Jakarta: Badan Meteorologi Klimatologi dan Geofisika.
- Iskandar dkk., 2022. Penerapan Metode Mogi I dalam Prediksi Penurunan Gempa Susulan di Wilayah Cianjur. Jurnal Seismologi dan Geofisika Terapan, 10(2), 45-56.
- Mega. 2023. Karakterisasi Reservoar Non-Konvensional Menggunakan Pendekatan Nilai Brittleness Index Dan Inversi Seismik Impedansi Akustik Pada Lapangan "X" Cekungan Jawa Timur Utara. Fakultas Teknik : Universitas Lampung.
- Mogi, K. (1962). On the Time Distribution of Aftershock Accompanying the Recent Major Earthquakes in and near Japan. Bulletin Earthquake Research Institute., Tokyo Univ., Vol. 40, pp.107-124.
- Muhlis. 2018. Relokasi Hiposenter Gempa Bumi Menggunakan Metode Double Difference Di Daerah (Cianjur-Sukabumi). Jakarta: Universitas Islam Negeri Syarif Hidayatullah Jakarta.

- Nandi. 2006. *Handouts Geologi Lingkungan (GG405) Gempa Bumi*. Bandung: Universitas Pendidikan Indonesia.
- Noor, Djauhari. 2009. *Pengantar Geologi*. Pakuan : Pakuan University Press.
- Omori, F. (1894). *On the Aftershock of Earthquakes. Journal of Colloid Science.*, Tokyo Imperial University of Japan., Vol. 7, pp. 111-200
- Palmadi, 2011, *Banten dan Tsunami*, Diakses tanggal 10 Juli 2012.http://pertambangangeologi.blogspot.com/2011/03/bantendan-tsunami.html.
- PuSGen, P. (2017). *Peta Sumber dan Bahaya Gempa Indonesia Tahun 2017*. Bandung: Puskim.
- Rida Saeful. 2022. Analisis Distribusi Waktu dan Luasan Daerah Deformasi Gempabumi Susulan Studi Kasus Gempabumi di Pasaman Barat 25 Februari 2022. Jurnal Geosains West Science. Vol. 1, No. 02, Juni 2023, pp. 96~104.
- Salsabila dkk. 2019. Analisis Peluruhan Gempa Bumi Menggunakan Metode Omori, Mogi-Utsu I Dan Mogi-Utsu Ii (Studi Kasus Gempa Bumi Banten 23 Januari 2018). Tangerang: STMKG.
- Samodra, S. B,dkk. 2013. *Karakteristik Gempabumi Di Sumatera Dan Jawa Periode Tahun 1950 2013*. Teknik Geologi:
 Universitas Gadjah Mada.
- Sitepu, R. (1998). *Beberapa Alternatif Koefisien Korelasi Sederhana Untuk Data Terpencil*, Universitas Sriwijaya., Jurnal Penelitian Sains.: hal 59-73
- Sunarjo, Gunawan, T, M, dan Pribadi, S. 2012. *Gempa Bumi Edisi Popoler*. Jakarta: Badan Meteorologi Klimatologi dan Geofisika.
- Supardiyono dkk. 2020. Analisis Peluruhan Gempa Bumi Susulan Di Ambon Tahun 2019 Dengan Pendekatan Statistik Menggunakan Software Peluruhan V2.0. Jurnal Inovasi Fisika Indonesia (IFI).
- Supartoyo, dkk. 2018. *Ancaman Dan Potensi Gempabumi Di Kepahiang, Provinsi Bengkulu*. Padang: Universitas Andalas.

- Supendi dkk., 2022. *Analisis Gempabumi Cianjur (Jawa Barat) Mw 5.6 Tanggal 21 November 2022.* Jakarta: Badan Meteorologi Klimatologi dan Geofisika.
- Vivi dkk, 2019. Analisis Peluruhan Gempa Bumi Susulan Di Ambon Tahun 2019 Dengan Pendekatan Statistik Menggunakan Software Peluruhan V2.0). Jurnal Inovasi Fisika Indonesia (IFI): UNESA.
- Wahyono, dkk. 2016. Dampak Deformasi Lempeng Bumi Terhadap Koordinat Titik Dasar Teknik Di Pulau Ternate Dan Kabupaten Halmahera Barat Propinsi Maluku Utara (Periode 2005/2007 – 2015). Yogyakarta : STPN.
- Wakita K. 2012. *Geology and tectonics of Japanese islands: A* review The key to understanding the geology of Asia. Geological Survey of Japan, AIST, 1-1-1 Higashi Tsukuba, Ibaraki 305-8567, Japan.
- Winardi, A dkk, 2006. *Gempa (Jogja, Indonesia & Dunia)*, Gramedia
 Jakarta(http://file.upi.edu/Direktori/FPIPS/JUR._PEN
 D._GEOGRAFI/195901011989011YAKUB_MALIK/GEMPABUMI_TAMU_TAK_DIUNDANG.
 pdf. Diakses 16 agustus 2022).
- Wirma dkk. 2012. Analisis Rekahan Gempa Bumi Dan Gempa Bumi Susulan Dengan Menggunakan Metode Omori. Makassar: Universitas Makassar.

LAMPIRAN

1. Data Gempa BBMKG

No			_		_			
	Tanggal	Lat (LS)	Long (BT)	Kedalaman (km)	Magnitudo	Lokasi	Skala MMI	
							Clanjur V MMI, Garut, Sukabumi IV-V	
							MMI, Cimahi, Lembang, Kota Bandung,	
							Cikalong Wetan, Rangkasbitung, Bogor,	
1	21-Nov-2022	-6.84	107.05	10	5.6	10 km BaratDaya KAB-CIANJUR-JABAR	Bayah, Bakauheni III MMI, Rancaekek,	GEMPA UTAMA
							Tangerang Selatan, Tangerang, dan DKI	
							Jakarta, Depok II-III MMI	
							заката, верок и-игичн	
2	21-Nov-2022	-7.12	106.93	10	1.8	22 km BaratDaya KOTA-SUKABUMI-JABAR		
3	21-Nov-2022	-6.98	107.08	27	2.1	17 km Tenggara KOTA-SUKABUMI-JABAR		
4	21-Nov-2022	-6.96	107.14	46	1.6	15 km Tenggara KAB-CIANJUR-JABAR		
5	22-Nov-2022	-6.95	107.08	7	2.3	15 km BaratDaya KAB-CIANJUR-JABAR		
6	21-Nov-2022	-6.94	107.13	40	1.8	13 km BaratDaya KAB-CIANJUR-JABAR		
7	21-Nov-2022	-6.92	107.16	4	1.8	11 km Tenggara KAB-CIANJUR-JABAR		
8	21-Nov-2022	-6.92	107.16	19	1.6	11 km Tenggara KAB-CIANJUR-JABAR		
9	21-Nov-2022	-6.92	107.09	11	2.1	12 km BaratDaya KAB-CIANJUR-JABAR		
10	21-Nov-2022	-6.91	107.14	12	3.5	9 km Tenggara KAB-CIANJUR-JABAR		
11	21-Nov-2022	-6.91	107.2	30	1.4	11 km Tenggara KAB-CIANJUR-JABAR		
12	21-Nov-2022	-6.91	107.14	10	1.7	9 km Tenggara KAB-CIANJUR-JABAR		
13	21-Nov-2022	-6.9	107.05	10	2.2	13 km BaratDaya KAB-CIANJUR-JABAR		
14	21-Nov-2022	-6.88	107.01	5	2	9 km TimurLaut KOTA-SUKABUMI-JABAR		
15	21-Nov-2022	-6.88	107.05	33	1.9	11 km BaratDaya KAB-CIANJUR-JABAR		
16	21-Nov-2022	-6.88	107.23	38	2.6	11 km Tenggara KAB-CIANJUR-JABAR		
17	21-Nov-2022	-6.88	107.01	29	2.2	9 km TimurLaut KOTA-SUKABUMI-JABAR		
18	21-Nov-2022	-6.88	107.24	34	1.8	12 km Tenggara KAB-CIANJUR-JABAR		
19	22-Nov-2022	-6.88	107.13	9	1.9	6 km Barat Daya KAB-CIANJUR-JABAR		
20								
21			107.2					
22	21-Nov-2022	-6.87	107.13	31	2.5	5 km BaratDaya KAB-CIANJUR-JABAR		
23	21-Nov-2022	-6.87	107.14	5	1.6	5 km Tenggara KAB-CIANJUR-JABAR		l
24	21-Nov-2022	-6.87	107.19	4	1.6	7 km Tenggara KAB-CIANJUR-JABAR	1	l
25	21-Nov-2022	-6.87	107.08	13	2.1	8 km Barat Daya KAB-CIANJUR-JABAR	1	l
26	21-Nov-2022	-6.87	107.02	10	2.2	11 km Timurtaut KOTA-SUKABUMI-JABAR	i e	-
27	21-Nov-2022 21-Nov-2022	-6.87	107.02	5	2.6	5 km BaratDaya KAB-CIANJUR-JABAR	1	—
20	22-Nov-2022	-6.07	107.13	3	2.0	Okm Parat Dara KAR-CIANUID 1999		
29	21 New 2022	-6.87	107.07	29	2.3	The Developm KAD CIANUID 1122		
	21-Nov-2022					7 km Barat Daya KAB-CIANJUR-JABAR		-
30 31	21-Nov-2022	-6.86 -6.86	107.11	13 9	2.4	5 km BaratDaya KAB-CIANJUR-JABAR		-
32	21-Nov-2022	-6.86 -6.86	107.3	2	3.2	18 km Tenggara KAB-CIANJUR-JABAR		-
	21-Nov-2022					6 km BaratDaya KAB-CIANJUR-JABAR		
33	21-Nov-2022	-6.86	107.19	5	1.7	7 km Tenggara KAB-CIANJUR-JABAR		-
34	21-Nov-2022	-6.86	107.09	10	2.3	6 km BaratDaya KAB-CIANJUR-JABAR		-
35	21-Nov-2022	-6.86	107.1	11	2.3	6 km BaratDaya KAB-CIANJUR-JABAR		
36	21-Nov-2022	-6.86	107.15	7	2.2	4 km Tenggara KAB-CIANJUR-JABAR		
37	22-Nov-2022	-6.86	107.13	38	2	4 km BaratDaya KAB-CIANJUR-JABAR		
38	22-Nov-2022	-6.85	107.26	- 6	2.1	14 km Tenggara KAB-CIANJUR-JABAR		
39		-6.86	107.08	19				
40	22-Nov-2022	-6.86	107.06	12	2.6	9 km BaratDaya KAB-CIANJUR-JABAR		
41	21-Nov-2022	-6.85	107.1	7	4	5 km BaratDaya KAB-CIANJUR-JABAR		
42	21-Nov-2022	-6.85	107.1	7	2.8	5 km BaratDava KAB-CIANJUR-JABAR		
43	21-Nov-2022	-6.85	107.07	6	2.9	8 km BaratDaya KAB-CIANJUR-JABAR		
44	21-Nov-2022	-6.85	107.25	9	1.8	12 km Tenggara KAB-CIANJUR-JABAR		
45	21-Nov-2022	-6.85	107.13	8	3	3 km BaratDaya KAB-CIANJUR-JABAR		
46	21-Nov-2022	-6.85	107.13	36	1.5	3 km BaratDaya KAB-CIANJUR-JABAR		
47	21-Nov-2022	-6.85	107.05	16	2.4	10 km BaratDaya KAB-CIANJUR-JABAR	Kec. Sukaresmi III MMI	
48	21-Nov-2022	-6.85	107.02	10	1.8	12 km Timurlaut KOTA-SUKABUMI-JABAR		
49	21-Nov-2022	-6.85	107.07	12	3.1	8 km BaratDava KAB-CIANJUR-JABAR		
50	21-Nov-2022	-6.85	107.06	9	1.6	9 km BaratDaya KAB-CIANJUR-JABAR		
51	21-Nov-2022	-6.85	107.11	18	2.1	4 km BaratDaya KAB-CIANJUR-JABAR		
52		-6.85	107.12	13	1.9	3 km Barat Dava KAB-CIANJUR-JABAR		
53				8		6 km Barat Daya KAB-CIANJUR-JABAR		
54				14	1.7	4 km Barat Daya KAB-CIANJUR-JABAR		
55			107.07	8				
56	21-Nov-2022	-6.84	107.11	10	2.8	3 km BaratDaya KAB-CIANJUR-JABAR		
57	21-Nov-2022	-6.84	107.1	13	2.7	4 km BaratDaya KAB-CIANJUR-JABAR		
58	21-Nov-2022	-6.84	107.11	10	2			
59	21-Nov-2022	-6.84						
60	21-Nov-2022		107.05	11	2.7	3 km Barat Daya KAB-CIANJUR-JABAR 39 km Barat laut KAB-CIANJUR-JABAR		
						39 km BaratLaut KAB-CIANJUR-JABAR		
61	21-Nov-2022	-6.84	107.06	6	2.6	39 km BaratLaut KAB-CIANJUR-JABAR 9 km BaratDaya KAB-CIANJUR-JABAR		
61 62	21-Nov-2022 21-Nov-2022					39 km Baratlaut KAB-CIANJUR-JABAR 9 km BaratDaya KAB-CIANJUR-JABAR 7 km BaratDaya KAB-CIANJUR-JABAR		
61 62 63	21-Nov-2022 21-Nov-2022 21-Nov-2022	-6.84 -6.84	107.06 107.07	6 13	2.6	39 km Baratlaut KAB-CIANJUR-JABAR 9 km BaratDaya KAB-CIANJUR-JABAR 7 km BaratDaya KAB-CIANJUR-JABAR 18 km Timurlaut KAB-SUKABUMI-JABAR		
62	21-Nov-2022	-6.84 -6.84 -6.84	107.06 107.07 106.62	6 13 10	2.6 2 1.7	39 km Baratlaut KAB-CIANJUR-JABAR 9 km BaratDaya KAB-CIANJUR-JABAR 7 km BaratDaya KAB-CIANJUR-JABAR		
62	21-Nov-2022	-6.84 -6.84 -6.84	107.06 107.07 106.62	6 13 10	2.6 2 1.7	39 km Baratlaut KAB-CIANJUR-JABAR 9 km BaratDaya KAB-CIANJUR-JABAR 7 km BaratDaya KAB-CIANJUR-JABAR 18 km Timurlaut KAB-SUKABUMI-JABAR		
62	21-Nov-2022	-6.84 -6.84 -6.84	107.06 107.07 106.62	6 13 10	2.6 2 1.7	39 km Baratlaut KAB-CIANJUR-JABAR 9 km BaratDaya KAB-CIANJUR-JABAR 7 km BaratDaya KAB-CIANJUR-JABAR 18 km Timurlaut KAB-SUKABUMI-JABAR	Caouirr Grischurri III MA	
62 63 64 65	21-Nov-2022 21-Nov-2022 22-Nov-2022 22-Nov-2022 22-Nov-2022	-6.84 -6.84 -6.84 -6.84 -6.84 -6.84 -6.84	107.06 107.07 106.62 107.1 107.11 107.12	6 13 10 5 24 9 5	2.6 2 1.7 2.2 2.4 2.1 3.4	39 km Barattaux KAB-CLANUUR-JABAR 9 km Barattaya KAB-CLANJUR-JABAR 7 km Barattaya KAB-CLANJUR-JABAR 18 km Timurtaut KAB-SUKABUM-JABAR 4 km Barattaya KAB-CLANJUR-JABAR 3 km Barattaya KAB-CLANJUR-JABAR 2 km Barattaya KAB-CLANJUR-JABAR 5 km Barattaya KAB-CLANJUR-JABAR 5 km Barattaya KAB-CLANJUR-JABAR 5 km Barattaya KAB-CLANJUR-JABAR	Clanjur, Sukabumi III NAVI	
62 63 64 65 66	21-Nov-2022 21-Nov-2022 22-Nov-2022 22-Nov-2022 22-Nov-2022 21-Nov-2022	-6.84 -6.84 -6.84 -6.84 -6.84 -6.84 -6.84 -6.83	107.06 107.07 106.62 107.1 107.11 107.12 107.09	6 13 10 5 24 9	2.6 2 1.7 2.2 2.4 2.1 3.4 2.8	39 km Baratlaut KAB CANJUR-IABAR 9 km Baratlaya KAB-CANJUR-IABAR 7 km Baratlaya KAB-CANJUR-IABAR 7 km Baratlaya KAB-CANJUR-IABAR 4 km Baratlaya KAB-CANJUR-IABAR 8 km Baratlaya KAB-CANJUR-IABAR 2 km Baratlaya KAB-CANJUR-IABAR 8 km Baratlaya KAB-CANJUR-IABAR 4 km Baratlaya KAB-CANJUR-IABAR 4 km Baratlaya KAB-CANJUR-IABAR 4 km Baratlaya KAB-CANJUR-IABAR	Canjur, Sukabumi III NAVI	
62 64 65 66 67 68	21-Nov-2022 21-Nov-2022 22-Nov-2022 22-Nov-2022 22-Nov-2022 21-Nov-2022 21-Nov-2022	-6.84 -6.84 -6.84 -6.84 -6.84 -6.84 -6.84 -6.83	107.06 107.07 106.62 107.1 107.11 107.12 107.09 107.1	6 13 10 5 24 9 5 4	2.6 2 1.7 2.2 2.4 2.1 3.4 2.8 1.6	39 km Baratlaut KAB CANJUR-JABAR 9 km Baratlaut KAB CANJUR-JABAR 7 km Baratlaya KAB-CANJUR-JABAR 1 km Timut-JabaR 1 km Timut-JabaR 1 km Baratlaya KAB-CANJUR-JABAR	Canjur, Sukabumi III MMI	
62 63 64 65 66	21-Nov-2022 21-Nov-2022 22-Nov-2022 22-Nov-2022 22-Nov-2022 21-Nov-2022 21-Nov-2022 21-Nov-2022	-6.84 -6.84 -6.84 -6.84 -6.84 -6.84 -6.84 -6.83	107.06 107.07 106.62 107.1 107.11 107.12 107.09	6 13 10 5 24 9	2.6 2 1.7 2.2 2.4 2.1 3.4 2.8	39 Im Barettay KAB CANUR-ABAR 9 Im Barettay AB-CANUR-BABR 7 Im Barettay AB-CANUR-BABR 7 Im Barettay AB-CANUR-BABR 4 Im Barettay AB-CANUR-BABR 1 Im Barettay AB-CANUR-BABR 6 Im Barettay AB-CANUR-BABR 6 Im Barettay KAB-CANUR-BABR	Canjur, Sukabumi III MAR	
62 63 64 65 67 68 69 70	21-Nov-2022 21-Nov-2022 22-Nov-2022 22-Nov-2022 22-Nov-2022 21-Nov-2022 21-Nov-2022 21-Nov-2022 21-Nov-2022	-6.84 -6.84 -6.84 -6.84 -6.84 -6.84 -6.84 -6.83 -6.83 -6.83	107.06 107.07 106.62 107.11 107.11 107.12 107.09 107.1 107.13 107.08	6 13 10 5 5 5 4 4 13 6 88	2.6 2 1.7 2.2 2.4 2.1 3.4 2.8 1.6 3.1 3.2	39 Im Barettays CAB CANUER ABAR 9 Im Barettays CAB CANUER ABAR 7 Im Barettays CAB CANUER ABAR 8 Im Timurtat CAB SUKABUR ABAR 4 Im Barettays CAB CANUER ABAR 4 Im Barettays CAB CANUER ABAR 1 Im Barettays CAB CANUER ABAR 5 Im Barettays CAB CANUER ABAR 6 Im Barettays CAB CANUER ABAR 8 Im Barettays CAB CANUER ABAR	Cuanjur, Sukaburre III AMM	
62 64 66 67 68 69	21-Nov-2022 21-Nov-2022 22-Nov-2022 22-Nov-2022 22-Nov-2022 21-Nov-2022 21-Nov-2022 21-Nov-2022	-6.84 -6.84 -6.84 -6.84 -6.84 -6.84 -6.84 -6.83 -6.83	107.06 107.07 106.62 107.1 107.11 107.12 107.09 107.1 107.13	6 13 10 5 24 9 5 4 13 6	2.6 2 1.7 2.2 2.4 2.1 3.4 2.8 1.6 3.1	39 Im Barettay KAB CANUR-ABAR 9 Im Barettay AB-CANUR-BABR 7 Im Barettay AB-CANUR-BABR 7 Im Barettay AB-CANUR-BABR 4 Im Barettay AB-CANUR-BABR 1 Im Barettay AB-CANUR-BABR 6 Im Barettay KAB-CANUR-BABR 6 Im Barettay KAB-CANUR-BABR	Copper, SALSSIER ITI MM	
62 63 64 65 67 68 69 70	21-Nov-2022 21-Nov-2022 22-Nov-2022 22-Nov-2022 22-Nov-2022 21-Nov-2022 21-Nov-2022 21-Nov-2022 21-Nov-2022	-6.84 -6.84 -6.84 -6.84 -6.84 -6.84 -6.84 -6.83 -6.83 -6.83	107.06 107.07 106.62 107.11 107.11 107.12 107.09 107.1 107.13 107.08	6 13 10 5 5 5 4 4 13 6 88	2.6 2 1.7 2.2 2.4 2.1 3.4 2.8 1.6 3.1 3.2	39 Im Barettays CAB CANUER ABAR 9 Im Barettays CAB CANUER ABAR 7 Im Barettays CAB CANUER ABAR 8 Im Timurtat CAB SUKABUR ABAR 4 Im Barettays CAB CANUER ABAR 4 Im Barettays CAB CANUER ABAR 1 Im Barettays CAB CANUER ABAR 5 Im Barettays CAB CANUER ABAR 6 Im Barettays CAB CANUER ABAR 8 Im Barettays CAB CANUER ABAR	Categor, Sakalasansi III MMR	
62 63 64 65 66 67 68 69 70 71 72	21-Nov-2022 21-Nov-2022 22-Nov-2022 22-Nov-2022 22-Nov-2022 21-Nov-2022 21-Nov-2022 21-Nov-2022 21-Nov-2022 21-Nov-2022 22-Nov-2022 22-Nov-2022 22-Nov-2022	-6.84 -6.84 -6.84 -6.84 -6.84 -6.84 -6.83 -6.83 -6.83 -6.83 -6.83 -6.83 -6.83	107.06 107.07 106.62 107.11 107.12 107.09 107.1 107.13 107.08 107.1 107.13 107.01 107.13	6 13 10 5 5 24 9 5 4 113 6 6 88 9 7 7 5 5	2.6 2 1.7 2.2 2.4 2.1 3.4 2.8 1.6 3.1 3.2 3.1 2.5	28 to Residual CAS CAMURI ANAMA 29 to Residual CAS CAMURI ANAMA 21 to Residual CAS CAMURI ANAMA 21 to Residual CAS CAMURI ANAMA 22 to Residual CAS CAMURI ANAMA 23 to Residual CAS CAMURI ANAMA 24 to Residual CAS CAMURI ANAMA 25 to Residual CAS	Carper, Calabore II MA	
62 63 64 65 66 67 68 69 70 71 72 73	21-Nov-2022 21-Nov-2022 22-Nov-2022 22-Nov-2022 22-Nov-2022 21-Nov-2022 21-Nov-2022 21-Nov-2022 21-Nov-2022 22-Nov-2022 22-Nov-2022 22-Nov-2022 22-Nov-2022 21-Nov-2022 21-Nov-2022 21-Nov-2022	-6.84 -6.84 -6.84 -6.84 -6.84 -6.84 -6.83 -6.83 -6.83 -6.83 -6.83 -6.83 -6.83	107.06 107.07 106.62 107.1 107.12 107.12 107.13 107.08 107.11 107.13 107.08 107.11 107.11 107.13	6 13 10 5 24 9 5 4 4 13 6 8 8 9 7 7 5 7	2.6 2 1.7 2.2 2.4 2.1 3.4 2.8 1.6 3.1 3.2 3.1 2.5 2.7	39 Im Participa (AS CAMURA ANAMA Part Barrange, AS CAMURA ANAMA ANAMA PARTICIPA (AS CAMURA ANAMA	Conjur, Sukabures III MMI	
62 63 64 65 66 67 68 69 70 71 72 73 74	21-Nov-2022 21-Nov-2022 22-Nov-2022 22-Nov-2022 22-Nov-2022 21-Nov-2022 21-Nov-2022 21-Nov-2022 21-Nov-2022 21-Nov-2022 21-Nov-2022 22-Nov-2022 22-Nov-2022 22-Nov-2022 21-Nov-2022 21-Nov-2022 21-Nov-2022 21-Nov-2022 21-Nov-2022 21-Nov-2022 21-Nov-2022	-6.84 -6.84 -6.84 -6.84 -6.84 -6.84 -6.83 -6.83 -6.83 -6.83 -6.83 -6.83 -6.83 -6.83	107.06 107.07 106.62 107.1 107.11 107.12 107.09 107.1 107.08 107.11 107.05 107.11 107.05 107.11	6 13 10 5 24 9 9 5 4 13 6 888 9 7 7 7 7 7	2.6 2 1.7 2.2 2.4 2.1 3.4 2.8 1.6 3.1 3.2 3.1 2.5 2.7 4.2	38 im Residant GAR CAMURI AMAR 9 im Bachtige (AM. CAMURI AMAR 7 im Bachtige (AM. CAMURI AMAR 14 im Bachtige (AM. CAMURI AMAR 14 im Bachtige (AM. CAMURI AMAR 15 im Bachtige (AM. CAMURI AMAR 16 im Bachtige (AM. CAMURI AMAR	Compa, bulgation of MAD.	
62 63 64 65 66 67 68 69 70 71 72 73 74 75 76	21-Nov-2022 21-Nov-2022 22-Nov-2022 22-Nov-2022 22-Nov-2022 21-Nov-2022 21-Nov-2022 21-Nov-2022 21-Nov-2022 21-Nov-2022 21-Nov-2022 21-Nov-2022 21-Nov-2022 21-Nov-2022 21-Nov-2022 21-Nov-2022 21-Nov-2022 21-Nov-2022 21-Nov-2022 21-Nov-2022 21-Nov-2022 21-Nov-2022	-6.84 -6.84 -6.84 -6.84 -6.84 -6.84 -6.83 -6.83 -6.83 -6.83 -6.83 -6.83 -6.83 -6.83 -6.83 -6.83 -6.83	107.06 107.07 106.62 107.1 107.12 107.09 107.1 107.13 107.05 107.11 107.05 107.11 107.05 107.11 107.05	6 13 10 5 24 9 5 4 4 13 6 8 8 9 7 7 5 7	2.6 2 1.7 2.2 2.4 2.1 3.4 2.8 1.6 3.1 3.2 3.1 2.5 2.7 4.2 2.4 2.9	When Residual CAS CAMINE ARASE Who Starting Lock CAMINE ARASE The Survivor CAS CAMINE ARASE The Survivor CAS CAMINE ARASE The Survivor CAS CAMINE ARASE A SU	Company Landson of MA	
62 63 64 65 66 67 68 69 70 71 72 73 74 75 76	21-Nov-2022 21-Nov-2022 22-Nov-2022 22-Nov-2022 22-Nov-2022 21-Nov-2022 21-Nov-2022 21-Nov-2022 21-Nov-2022 21-Nov-2022 21-Nov-2022 22-Nov-2022 21-Nov-2022 21-Nov-2022 21-Nov-2022 21-Nov-2022 21-Nov-2022 21-Nov-2022 21-Nov-2022 21-Nov-2022 21-Nov-2022	-6.84 -6.84 -6.84 -6.84 -6.84 -6.84 -6.83 -6.83 -6.83 -6.83 -6.83 -6.82 -6.82 -6.82	107.06 107.07 106.62 107.1 107.11 107.12 107.09 107.1 107.13 107.05 107.11 107.05 107.11 107.08 107.11	6 13 10 5 5 9 5 4 13 6 6 88 9 7 7 7 7 3 3 1 1	2.6 2 1.7 2.2 2.4 2.1 3.4 2.8 1.6 3.1 3.2 3.1 2.5 2.7 4.2 2.9 3.6	BY IN REPORTANT ON CHANGES AND	Carpon Schalarer III Male	
62 63 64 66 66 67 68 69 70 71 72 73 74 75 76 77	21-Nov-2022 21-Nov-2022 22-Nov-2022 22-Nov-2022 22-Nov-2022 21-Nov-2022 21-Nov-2022 21-Nov-2022 21-Nov-2022 21-Nov-2022 21-Nov-2022 21-Nov-2022 21-Nov-2022 21-Nov-2022 21-Nov-2022 21-Nov-2022 21-Nov-2022 21-Nov-2022 21-Nov-2022 21-Nov-2022 21-Nov-2022 21-Nov-2022 21-Nov-2022 21-Nov-2022	-6.84 -6.84 -6.84 -6.84 -6.84 -6.83 -6.83 -6.83 -6.83 -6.83 -6.83 -6.83 -6.83 -6.83 -6.83 -6.83 -6.83 -6.83 -6.83 -6.83 -6.83 -6.84 -6.83	107.06 107.07 106.62 107.11 107.12 107.09 107.13 107.08 107.11 107.05 107.11 107.08 107.11 107.08	6 13 10 5 4 13 10 5 14 14 15 15 16 16 16 16 16 16 16 16 16 16 16 16 16	2.6 2 1.7 2.2 2.4 2.1 3.4 2.8 1.6 3.1 3.2 3.2 2.5 2.7 4.2 2.9 3.6 2.9 2.9 2.9 2.9 2.9 2.9 2.9 2.9 2.9 2.9	BY IN SPECIAL OF CACHAGE ASAMS THE SECTION COLORISM ASAMS THE SECTION CACHAGE ASAMS THE SECTION CAC	COLL SALAHO II MM	
62 63 64 66 67 68 69 70 71 72 73 74 75 76 77	21-Nov-2022 21-Nov-2022 22-Nov-2022 22-Nov-2022 22-Nov-2022 21-Nov-2022 21-Nov-2022 21-Nov-2022 21-Nov-2022 22-Nov-2022 22-Nov-2022 21-Nov-2022	-6.84 -6.84 -6.84 -6.84 -6.84 -6.84 -6.83 -6.83 -6.83 -6.83 -6.83 -6.83 -6.82 -6.82 -6.82 -6.82 -6.82	107.06 107.07 106.62 107.11 107.12 107.13 107.13 107.08 107.11 107.05 107.11 107.05 107.11 107.05 107.11 107.08	6 13 100 5 5 24 9 9 4 13 6 6 88 9 9 7 7 7 7 7 7 7 9 3 3 3 3 3 3	2.6 2 1.7 2.2 2.4 2.1 3.4 2.8 1.6 3.1 3.2 2.7 4.2 2.9 3.6 2.1 2.9	SP In PROTEIN OR CHOMING AND PIN BRATTOPY COLOR CHOMING AND THE SENTING YELL CHOMING YELL CHOMING AND THE SENTING YELL CHOMING YELL CHO	Carrier Landson II MM	
62 63 64 65 66 67 68 69 70 71 72 73 74 75 76 77 78 80	21-Nov-2022 22-Nov-2022 22-Nov-2022 22-Nov-2022 22-Nov-2022 21-Nov-2022 21-Nov-2022 21-Nov-2022 21-Nov-2022 21-Nov-2022 21-Nov-2022 22-Nov-2022 21-Nov-2022	-6.84 -6.84 -6.84 -6.84 -6.84 -6.83 -6.83 -6.83 -6.83 -6.83 -6.83 -6.82 -6.82 -6.82 -6.82 -6.82 -6.82	107.06 107.07 106.62 107.11 107.11 107.12 107.09 107.13 107.08 107.11 107.08 107.11 107.08 107.11 107.08 107.11 107.08	6 13 10 5 4 13 10 5 14 14 15 15 16 16 16 16 16 16 16 16 16 16 16 16 16	2.6 2 1.7 2.2 2.4 2.1 3.4 2.8 1.6 3.1 2.5 3.1 2.7 4.2 2.4 2.1 2.2 2.4 2.1 2.2 2.4 2.1 2.2 2.4 2.1 2.2 2.3 2.3 2.3 2.3 2.3 2.3 2.3 2.3 2.3	BY IN REPORTANT OR CANADIS AND	Origin, Sealth or 11 MAD	
62 63 64 66 67 68 69 70 71 72 73 74 75 76 77	21-Nov-2022 21-Nov-2022 22-Nov-2022 22-Nov-2022 22-Nov-2022 21-Nov-2022 21-Nov-2022 21-Nov-2022 21-Nov-2022 22-Nov-2022 22-Nov-2022 21-Nov-2022	-6.84 -6.84 -6.84 -6.84 -6.84 -6.84 -6.83 -6.83 -6.83 -6.83 -6.83 -6.83 -6.82 -6.82 -6.82 -6.82 -6.82	107.06 107.07 106.62 107.11 107.12 107.13 107.13 107.08 107.11 107.05 107.11 107.05 107.11 107.05 107.11 107.08	6 13 100 5 5 24 9 9 4 13 6 6 88 9 9 7 7 7 7 7 7 7 9 3 3 3 3 3 3	2.6 2 1.7 2.2 2.4 2.1 3.4 2.8 1.6 3.1 3.2 2.7 4.2 2.9 3.6 2.1 2.9	SP In PROTEIN OR CHOMING AND PIN BRATTOPY COLOR CHOMING AND THE SENTING YELL CHOMING YELL CHOMING AND THE SENTING YELL CHOMING YELL CHO	Series Made of MA	
62 63 64 65 66 67 68 69 70 71 72 73 74 75 76 77 78 80	21-Nov-2022 22-Nov-2022 22-Nov-2022 22-Nov-2022 22-Nov-2022 21-Nov-2022 21-Nov-2022 21-Nov-2022 21-Nov-2022 21-Nov-2022 21-Nov-2022 22-Nov-2022 21-Nov-2022	-6.84 -6.84 -6.84 -6.84 -6.84 -6.83 -6.83 -6.83 -6.83 -6.83 -6.83 -6.82 -6.82 -6.82 -6.82 -6.82 -6.82	107.06 107.07 106.62 107.11 107.11 107.12 107.09 107.13 107.08 107.11 107.08 107.11 107.08 107.11 107.08 107.11 107.08	6 13 100 5 5 24 9 9 4 13 6 6 88 9 9 7 7 7 7 7 7 7 9 3 3 3 3 3 3	2.6 2 1.7 2.2 2.4 2.1 3.4 2.8 1.6 3.1 2.5 3.1 2.7 4.2 2.4 2.1 2.2 2.4 2.1 2.2 2.4 2.1 2.2 2.4 2.1 2.2 2.3 2.3 2.3 2.3 2.3 2.3 2.3 2.3 2.3	BY IN REPORTANT OR CANADIS AND	Comput. Substance in Made	
62 63 64 65 66 67 68 69 70 71 72 73 74 75 76 77 78 80	21-Nov-2022 22-Nov-2022 22-Nov-2022 22-Nov-2022 22-Nov-2022 21-Nov-2022 21-Nov-2022 21-Nov-2022 21-Nov-2022 21-Nov-2022 21-Nov-2022 22-Nov-2022 21-Nov-2022	-6.84 -6.84 -6.84 -6.84 -6.84 -6.83 -6.83 -6.83 -6.83 -6.83 -6.83 -6.82 -6.82 -6.82 -6.82 -6.82 -6.82	107.06 107.07 106.62 107.11 107.11 107.12 107.09 107.13 107.08 107.11 107.08 107.11 107.08 107.11 107.08 107.11 107.08	6 13 100 5 5 24 9 9 4 13 6 6 88 9 9 7 7 7 7 7 7 7 9 3 3 3 3 3 3	2.6 2 1.7 2.2 2.4 2.1 3.4 2.8 1.6 3.1 2.5 3.1 2.7 4.2 2.4 2.1 2.2 2.4 2.1 2.2 2.4 2.1 2.2 2.4 2.1 2.2 2.3 2.3 2.3 2.3 2.3 2.3 2.3 2.3 2.3	BY IN REPORTANT OR CANADIS AND	Corp. Salaber II MM	
62 63 64 65 66 67 68 69 70 71 72 73 74 75 76 77 78 80 81 81	21-Nov-2022 22-Nov-2022 22-Nov-2022 22-Nov-2022 21-Nov	-6.84 -6.84 -6.84 -6.84 -6.84 -6.83 -6.83 -6.83 -6.83 -6.83 -6.83 -6.82 -6.83	107.06 107.07 106.62 107.11 107.12 107.12 107.09 107.13 107.08 107.11 107.08 107.11 107.01 107.11 107.01 107.11 107.11 107.01 107.01 107.01 107.01 107.01 107.01 107.01 107.01 107.01 107.01 107.01 107.01 107.01 107.01 107.01 107.01 107.09 107.09 107.09	5 1 1 1 1 1 1 1 1 1 1 1 1 1 1 1 1 1 1 1	2.6 2.7 2.2 2.4 2.1 3.4 2.8 1.6 3.1 3.2 3.1 2.5 2.7 4.2 2.9 3.6 2.1 2.2 2.4 2.9 3.6 2.1 2.2 2.4 2.9 2.9 2.9 2.9 2.9 2.9 2.9 2.9 2.9 2.9	SP in Residant CAS CAMURA SAMAN Film Barathys CAS CAMURA SAMA	Carrier Canhant of MM	
62 63 64 65 66 67 68 69 70 71 72 73 74 75 76 79 80 81 83 84 85	21-Nov-2022 21-Nov-2022 22-Nov-2022 22-Nov-2022 22-Nov-2022 21-Nov-2022	-6.84 -6.84 -6.84 -6.84 -6.85 -6.83 -6.83 -6.83 -6.83 -6.83 -6.82 -6.82 -6.82 -6.82 -6.82 -6.82 -6.82 -6.82 -6.82 -6.82 -6.83	107.06 107.07 107.07 108.62 107.11 107.12 107.09 107.13 107.08 107.13 107.08 107.11 107.08 107.11 107.08 107.11 107.08 107.12 107.10 107.12 107.09 107.09	10 10 10 11 11 11 11 11 11 11 11 11 11 1	2.6 2.7 2.2 2.4 2.1 3.4 2.8 1.6 3.1 3.2 2.7 4.2 2.9 3.6 2.1 2.2 2.4 2.3 2.1 2.1 2.1 2.1 2.1 2.1 2.1 2.1 2.1 2.1	BY IN RESIDENT CASE CANADIS AND	Carry Calabor II Mar	
62 63 64 65 66 67 68 69 70 71 72 73 74 75 76 77 80 81 81 82 83 83 84 85 86	21-Nov-2022 21-Nov-2022 22-Nov-2022 22-Nov-2022 21-Nov-2022	-6.84 -6.84 -6.84 -6.84 -6.84 -6.83 -6.83 -6.83 -6.83 -6.83 -6.83 -6.82 -6.82 -6.82 -6.82 -6.82 -6.82 -6.82 -6.82 -6.82 -6.83	107.06 107.07 107.07 106.62 107.11 107.12 107.09 107.13 107.08 107.11 107.11 107.11 107.11 107.11 107.11 107.11 107.11 107.10 107.11 107.10 10	6 6 13 10 10 10 10 10 10 10 10 10 10 10 10 10	2.6 2 1.7 2.2 2.4 2.1 3.4 2.8 1.6 3.1 3.2 3.1 2.5 2.7 4.2 2.9 3.6 2.1 2.2 2.4 2.9 3.6 2.1 2.2 2.4 2.9 3.6 2.1 2.2 2.4 2.9 3.6 2.1 2.2 2.4 2.9 3.6 2.1 2.2 2.4 2.9 3.6 2.1 2.2 2.4 2.9 3.6 2.1 2.2 2.4 2.9 3.6 2.1 2.2 2.4 2.9 3.6 2.1 2.2 2.4 2.9 3.6 2.1 2.2 2.4 2.9 3.6 2.1 2.2 2.4 2.9 2.1 2.2 2.4 2.9 2.1 2.2 2.4 2.9 2.1 2.2 2.4 2.9 2.1 2.2 2.4 2.9 2.1 2.2 2.4 2.9 2.1 2.2 2.4 2.9 2.1 2.2 2.4 2.9 2.1 2.2 2.4 2.9 2.1 2.2 2.4 2.9 2.1 2.2 2.4 2.9 2.1 2.2 2.4 2.9 2.1 2.2 2.4 2.9 2.1 2.2 2.4 2.9 2.1 2.2 2.4 2.9 2.1 2.2 2.4 2.7 2.1 2.1 2.1 2.1 2.1 2.1 2.1 2.1 2.1 2.1	BY IN RESIDENCE OF CANADA SHARE THE BROTTON FOR CANADA SHARE THE	Company Mandard M MM	
62 63 64 65 65 67 68 69 70 71 72 73 74 75 76 77 80 81 81 82 83 83 85 85	21-Nov-2022	-6.84 -6.84 -6.84 -6.84 -6.84 -6.83 -6.83 -6.83 -6.83 -6.83 -6.83 -6.82 -6.82 -6.82 -6.82 -6.82 -6.82 -6.82 -6.82 -6.82 -6.83	107.06 107.07 107.07 106.62 107.11 107.11 107.13 107.08 107.11 107.08 107.11 107.08 107.11 107.08 107.11 107.08 107.11 107.08 107.11 107.08 107.12 107.10 107.09 107.09 107.09 107.09	5 5 5 5 5 5 5 5 5 5 5 5 5 5 5 5 5 5 5	2.6 2.7 2.2 2.4 2.1 3.4 3.2 3.1 3.2 3.1 3.2 3.2 3.1 3.2 3.2 3.2 3.4 2.5 2.7 2.4 2.9 2.9 2.9 2.9 2.9 2.9 2.9 2.9	Bit in Residuat CAR CAMURI ANAMA Pilm Burdings (AM CAMURI ANAMA Pilm Burdings (AM CAMURI ANAMA Pilm Burdings (AM CAMURI ANAMA AM BUR	Company, Grandware in Made	
62 63 64 65 66 67 69 70 71 73 74 75 76 77 78 80 81 82 83 83 84 85 86 87 88	21-New-2022	-6.84 -6.84 -6.84 -6.84 -6.83 -6.83 -6.83 -6.83 -6.83 -6.83 -6.82 -6.82 -6.82 -6.82 -6.82 -6.82 -6.82 -6.82 -6.83	107.06 107.07 106.62 107.1 107.12 107.12 107.13 107.13 107.13 107.05 107.11 107.13 107.10 107.11 107.05 107.11 107.05 107.11 107.05 107.11 107.05 107.11 107.05 107.11 107.05 107.11 107.05 107.11 107.05 107.11 107.05 107.11 107.05 107.11 107.05	13 15 15 15 15 15 16 16 18 18 19 17 17 18 18 19 19 19 19 19 19 19 19 19 19 19 19 19	2.6 2.7 2.7 2.2 2.4 2.1 3.4 2.8 1.6 3.2 3.2 3.2 2.5 2.7 2.7 2.2 2.4 2.9 3.6 2.1 2.2 2.4 2.3 3.6 2.1 2.2 2.3 3.6 2.2 2.3 3.6 2.3 3.6 3.6 3.6 3.6 3.6 3.6 3.6 3.6 3.6 3	BY IN RESIDENT OF CAMPAIN ARRAY THE SETTING FOR CAMPAIN ARRAY AND THE SETTING FOR CAMPAIN ARRAY THE SETING FOR CAMPAIN ARRAY THE SETTING FOR CAMPAIN ARRAY THE SET IN SECTION CAMPAIN ARRAY THE SET IN SECTION CAMPAIN ARRAY THE SETTING FOR CAMPAIN ARR	Coron Salahari II MM	
62 63 65 66 67 68 69 70 71 72 73 74 75 76 77 80 81 81 82 83 84 85 85 87 88 88 88	21-New-2022 21-New	-6.84 -6.84 -6.84 -6.84 -6.84 -6.83 -6.83 -6.83 -6.83 -6.83 -6.83 -6.83 -6.82	107.06 107.07 105.62 107.1 105.62 107.1 107.13 107.13 107.13 107.13 107.13 107.13 107.13 107.13 107.13 107.13 107.13 107.13 107.05 107.13 107.05 107.13 107.09 107.13 107.09 107.13 107.09 107.09 107.13 107.09 107.13	5 5 5 5 5 5 5 5 5 5 5 5 5 5 5 5 5 5 5	2.6 2.7 2.2 2.4 2.1 3.4 3.2 3.1 3.2 3.1 3.2 3.2 3.1 3.2 3.2 3.2 3.4 2.5 2.7 2.4 2.9 2.9 2.9 2.9 2.9 2.9 2.9 2.9	BY IN PROTECTION OF CONCESS AND AND A PER TO SERVICE AND A PER TO SERVIC	Conjoin National of MM	
62 63 65 65 66 67 68 69 70 71 72 73 74 75 76 77 78 80 81 82 83 85 85 86 87 88 89 90	21-Nov-2022 22-Nov-2022 22-Nov-2022 22-Nov-2022 22-Nov-2022 22-Nov-2022 21-Nov-2022	-6.84 -6.84 -6.84 -6.83 -6.83 -6.83 -6.83 -6.83 -6.83 -6.83 -6.82 -6.82 -6.82 -6.82 -6.82 -6.82 -6.82 -6.82 -6.83	107.06 107.07 105.62 107.11 107.13 107.13 107.11 107.13 107.11 107.10 107.11 107.10 107.11 107.09	13 15 15 15 16 17 18 18 18 18 18 19 17 7 7 7 3 1 3 1 3 1 3 1 3 1 3 1 3 1 3	2.6 2 1.7 2.2 2.4 2.1 3.4 2.8 1.6 1.6 3.1 3.2 2.5 2.7 4.2 2.9 3.6 2.1 2.9 3.6 2.1 2.9 3.6 2.1 2.9 3.6 2.1 2.9 3.6 2.1 2.9 3.6 2.1 2.2 2.4 2.3 3.9 3.9 3.0 3.0 3.0 3.0 3.0 3.0 3.0 3.0 3.0 3.0	BY IN RESIDENT OF CAMPILE ARRAY THIS BUTTON CAMPILE ARRAY THIS BUTTON CAMPILE ARRAY THIS BUTTON CAMPILE ARRAY AND RESIDENT CAMPILE ARRAY	Company, Salashare III Madi	
62 63 65 66 67 70 71 73 74 75 76 77 77 78 79 80 81 82 83 83 83 89 99 99	21-160-2022 21-160-2022	-6.94 -6.94 -6.94 -6.94 -6.33 -6.33 -6.33 -6.33 -6.33 -6.33 -6.33 -6.32 -6.32 -6.32 -6.32 -6.32 -6.32 -6.32 -6.32 -6.32 -6.32 -6.34 -6.33 -6.33 -6.33 -6.33 -6.33 -6.33 -6.32	107.06 107.07 107.06 107.07 107.11 107.12 107.13 107.11 107.08 107.11 107.08 107.11 107.08 107.11 107.08 107.11 107.08 107.11 107.08 107.11 107.08 107.11 107.08 107.11 107.08 107.11 107.08 107.11 107.08 107.09 107.09 107.09 107.09 107.09 107.09 107.09 107.09 107.09 107.09 107.09 107.09 107.09 107.09 107.09 107.09	13 10 15 15 16 16 16 16 16 16 16 16 16 16 16 16 16	2.6 2 1.7 2.2 2.4 2.1 3.4 2.8 1.6 3.1 3.2 2.7 4.2 2.9 3.6 2.1 2.2 2.4 2.9 3.6 2.7 2.1 2.2 2.4 2.3 2.3 2.4 2.3 2.4 2.5 2.7 2.7 2.8 2.8 2.9 2.8 2.9 2.9 2.9 2.9 2.9 2.9 2.9 2.9 2.9 2.9	BYEN RESIDENT OF COMMENT AND A SHARE	Cort Schwen I IM	
62 63 65 65 66 67 68 69 70 71 72 73 74 75 76 77 78 80 81 82 83 85 85 86 87 88 89 90	21-Nov-2022 22-Nov-2022 22-Nov-2022 22-Nov-2022 22-Nov-2022 22-Nov-2022 21-Nov-2022	-6.84 -6.84 -6.84 -6.83 -6.83 -6.83 -6.83 -6.83 -6.83 -6.83 -6.82 -6.82 -6.82 -6.82 -6.82 -6.82 -6.82 -6.82 -6.83	107.06 107.07 105.62 107.11 107.13 107.13 107.11 107.13 107.11 107.10 107.11 107.10 107.11 107.09	13 15 15 15 16 17 18 18 18 18 18 19 17 7 7 7 3 1 3 1 3 1 3 1 3 1 3 1 3 1 3	2.6 2 1.7 2.2 2.4 2.1 3.4 2.8 1.6 1.6 3.1 3.2 2.5 2.7 4.2 2.9 3.6 2.1 2.9 3.6 2.1 2.9 3.6 2.1 2.9 3.6 2.1 2.9 3.6 2.1 2.9 3.6 2.1 2.2 2.4 2.3 3.9 3.9 3.0 3.0 3.0 3.0 3.0 3.0 3.0 3.0 3.0 3.0	BY IN RESIDENT OF CAMPILE ARRAY THIS BUTTON CAMPILE ARRAY THIS BUTTON CAMPILE ARRAY THIS BUTTON CAMPILE ARRAY AND RESIDENT CAMPILE ARRAY	Company Sealment of MAC	
62 63 64 65 66 67 68 69 70 71 73 74 75 76 77 77 78 79 80 81 82 83 84 85 87 88 88 89 99 99	21-160-2022 21-160-2022	-6.94 -6.94 -6.94 -6.94 -6.33 -6.33 -6.33 -6.33 -6.33 -6.33 -6.33 -6.32 -6.32 -6.32 -6.32 -6.32 -6.32 -6.32 -6.32 -6.32 -6.32 -6.34 -6.33 -6.33 -6.33 -6.33 -6.33 -6.33 -6.32	107.06 107.07 107.06 107.07 107.11 107.12 107.13 107.11 107.08 107.11 107.08 107.11 107.08 107.11 107.08 107.11 107.08 107.11 107.08 107.11 107.08 107.11 107.08 107.11 107.08 107.11 107.08 107.11 107.08 107.09 107.09 107.09 107.09 107.09 107.09 107.09 107.09 107.09 107.09 107.09 107.09 107.09 107.09 107.09 107.09	13 10 15 15 16 16 16 16 16 16 16 16 16 16 16 16 16	2.6 2 1.7 2.2 2.4 2.1 3.4 2.8 1.6 3.1 3.2 2.7 4.2 2.9 3.6 2.1 2.2 2.4 2.9 3.6 2.7 2.1 2.2 2.4 2.3 2.3 2.4 2.3 2.4 2.5 2.7 2.7 2.8 2.8 2.9 2.8 2.9 2.9 2.9 2.9 2.9 2.9 2.9 2.9 2.9 2.9	BYEN RESIDENT OF COMMENT AND A SHARE	Carlos Salacini S Mai	
62 63 65 66 67 70 71 73 74 75 76 77 77 78 79 80 81 82 83 83 83 89 99 99	21-160-2022 21-160-2022	-6.94 -6.94 -6.94 -6.94 -6.33 -6.33 -6.33 -6.33 -6.33 -6.33 -6.33 -6.32 -6.32 -6.32 -6.32 -6.32 -6.32 -6.32 -6.32 -6.32 -6.32 -6.34 -6.33 -6.33 -6.33 -6.33 -6.33 -6.33 -6.32	107.06 107.07 107.06 107.07 107.11 107.12 107.13 107.11 107.08 107.11 107.08 107.11 107.08 107.11 107.08 107.11 107.08 107.11 107.08 107.11 107.08 107.11 107.08 107.11 107.08 107.11 107.08 107.11 107.08 107.09 107.09 107.09 107.09 107.09 107.09 107.09 107.09 107.09 107.09 107.09 107.09 107.09 107.09 107.09 107.09	16 15 16 16 16 16 16 16 16 16 16 16 16 16 16	2.6 2 1.7 2.2 2.4 2.1 3.4 2.8 1.6 3.1 3.2 2.7 4.2 2.9 3.6 2.1 2.2 2.4 2.9 3.6 2.7 2.1 2.2 2.4 2.3 2.3 2.4 2.3 2.4 2.5 2.7 2.7 2.8 2.8 2.9 2.8 2.9 2.9 2.9 2.9 2.9 2.9 2.9 2.9 2.9 2.9	BYEN RESIDENCE CANCELLARIAN WHITE SECTION CONTROL CANCELLARIAN THE BROTTON CANCELLARIAN THE B	Complete National of Made	
62 63 64 65 66 67 68 69 70 71 73 74 75 76 77 77 78 79 80 81 82 83 84 85 87 88 88 89 99 99	21-160-2022 21-160-2022	-6.94 -6.94 -6.94 -6.94 -6.33 -6.33 -6.33 -6.33 -6.33 -6.33 -6.33 -6.32 -6.32 -6.32 -6.32 -6.32 -6.32 -6.32 -6.32 -6.32 -6.32 -6.34 -6.33 -6.33 -6.33 -6.33 -6.33 -6.33 -6.32	107.06 107.07 107.06 107.07 107.11 107.12 107.13 107.11 107.08 107.11 107.08 107.11 107.08 107.11 107.08 107.11 107.08 107.11 107.08 107.11 107.08 107.11 107.08 107.11 107.08 107.11 107.08 107.11 107.08 107.09 107.09 107.09 107.09 107.09 107.09 107.09 107.09 107.09 107.09 107.09 107.09 107.09 107.09 107.09 107.09	13 10 15 15 16 16 16 16 16 16 16 16 16 16 16 16 16	2.6 2 1.7 2.2 2.4 2.1 3.4 2.8 1.6 3.1 3.2 2.7 4.2 2.9 3.6 2.1 2.2 2.4 2.9 3.6 2.7 2.1 2.2 2.4 2.3 2.3 2.4 2.3 2.4 2.5 2.7 2.7 2.8 2.8 2.9 2.8 2.9 2.9 2.9 2.9 2.9 2.9 2.9 2.9 2.9 2.9	BYEN RESIDENT OF COMMENT AND A SHARE	Carryan, Subshare In Made	
62 63 64 65 66 67 68 69 70 71 73 74 75 76 77 77 78 79 80 81 82 83 84 85 87 88 88 89 99 99	21-160-2022 21-160-2022	-6.94 -6.94 -6.94 -6.94 -6.33 -6.33 -6.33 -6.33 -6.33 -6.33 -6.33 -6.32 -6.32 -6.32 -6.32 -6.32 -6.32 -6.32 -6.32 -6.32 -6.32 -6.34 -6.33 -6.33 -6.33 -6.33 -6.33 -6.33 -6.32	107.06 107.07 107.06 107.07 107.11 107.12 107.13 107.11 107.08 107.11 107.08 107.11 107.08 107.11 107.08 107.11 107.08 107.11 107.08 107.11 107.08 107.11 107.08 107.11 107.08 107.11 107.08 107.11 107.08 107.09 107.09 107.09 107.09 107.09 107.09 107.09 107.09 107.09 107.09 107.09 107.09 107.09 107.09 107.09 107.09	16 15 16 16 16 16 16 16 16 16 16 16 16 16 16	2.6 2 1.7 2.2 2.4 2.1 3.4 2.8 1.6 3.1 3.2 2.7 4.2 2.9 3.6 2.1 2.2 2.4 2.9 3.6 2.7 2.1 2.2 2.4 2.3 2.3 2.4 2.3 2.4 2.5 2.7 2.7 2.8 2.8 2.9 2.8 2.9 2.9 2.9 2.9 2.9 2.9 2.9 2.9 2.9 2.9	BYEN RESIDENCE CANCELLARIAN WHITE SECTION CONTROL CANCELLARIAN THE BROTTON CANCELLARIAN THE B	Corp. Material IIM	
62 63 64 65 66 67 77 77 78 79 80 81 82 83 85 85 86 89 90 91 92 93 93	21-160-7022 21-160-7022	6.34 6.34 6.34 6.35 6.35 6.33 6.33 6.33 6.33 6.33 6.33	107.06 107.07 107.06 107.07 107.06 107.11 107.08 107.12 107.13 107.08 107.13 107.08 107.13 107.08 107.13 107.08 107.13 107.08 107.13 107.08 107.10 107.09 10	16 16 16 16 17 18 18 18 18 18 18 18 18 18 18 18 18 18	2.6 2.7 2.7 2.7 2.8 2.1 2.8 2.1 2.8 2.1 2.8 2.1 2.1 2.1 2.1 2.1 2.1 2.1 2.1 2.1 2.1	Bit in Residuat CAR CAMURI ANAMA Pilm Burdings (AM CAMURI ANAMA Pilm Burdings (AM CAMURI ANAMA Pilm Burdings (AM CAMURI ANAMA Am BUR	Control Control of Med	
62 63 64 65 66 67 68 69 70 71 73 74 75 76 77 77 78 79 80 81 82 83 84 85 87 88 88 89 99 99	21-160-7022 21-160-7022	-6.94 -6.94 -6.94 -6.94 -6.33 -6.33 -6.33 -6.33 -6.33 -6.33 -6.33 -6.32 -6.32 -6.32 -6.32 -6.32 -6.32 -6.32 -6.32 -6.32 -6.32 -6.34 -6.33 -6.33 -6.33 -6.33 -6.33 -6.33 -6.32	107.06 107.07 107.06 107.07 107.11 107.12 107.13 107.11 107.08 107.11 107.08 107.11 107.08 107.11 107.08 107.11 107.08 107.11 107.08 107.11 107.08 107.11 107.08 107.11 107.08 107.11 107.08 107.11 107.08 107.09 107.09 107.09 107.09 107.09 107.09 107.09 107.09 107.09 107.09 107.09 107.09 107.09 107.09 107.09 107.09	16 15 16 16 16 16 16 16 16 16 16 16 16 16 16	2.6 2 1.7 2.2 2.4 2.1 3.4 2.8 1.6 3.1 3.2 2.7 4.2 2.9 3.6 2.1 2.2 2.4 2.9 3.6 2.7 2.1 2.2 2.4 2.3 2.3 2.4 2.3 2.4 2.5 2.7 2.7 2.8 2.8 2.9 2.8 2.9 2.9 2.9 2.9 2.9 2.9 2.9 2.9 2.9 2.9	Bit in Residuat CAR CAMURI ANAMA Pilm Burdings (AM CAMURI ANAMA Pilm Burdings (AM CAMURI ANAMA Pilm Burdings (AM CAMURI ANAMA Am BUR	Company, Schalauser III Made	
62 63 64 65 66 67 72 72 73 74 75 76 77 78 80 81 82 83 85 85 86 87 89 90 91 92 93 93 94 95 95 95 95 95 95 95 95 95 95 95 95 95	21-160-2022 21-160-2022	6.34 6.34 6.34 6.35 6.35 6.33 6.33 6.33 6.33 6.33 6.33	107.06 107.07 107.06 107.07 107.06 107.11 107.08 107.12 107.13 107.08 107.13 107.08 107.13 107.08 107.13 107.08 107.13 107.08 107.13 107.08 107.10 107.09 10	16 16 16 16 17 18 18 18 18 18 18 18 18 18 18 18 18 18	2.6 2.7 2.7 2.7 2.8 2.1 2.8 2.1 2.8 2.1 2.8 2.1 2.1 2.1 2.1 2.1 2.1 2.1 2.1 2.1 2.1	BYEN RESIDENCE CANCELLARIAN WHITE SECTION CONTROL CANCELLARIAN THE BROTTON CANCELLARIAN THE B	Complete National of MAI	

_								
101	21-Nov-2022	-6.8	107.1	12	2.5	4 km BaratLaut KAB-CIANJUR-JABAR		
102	21-Nov-2022	-6.8	107.11	10	2.9	4 km BaratLaut KAB-CIANJUR-JABAR		
103	21-Nov-2022 21-Nov-2022	-6.8 -6.8	107.09	22	1.6	5 km BaratLaut KAB-CIANJUR-JABAR 4 km BaratLaut KAB-CIANJUR-JABAR		
104	21-NOV-2022	-0.8	107.11	22	1.6	4 KM Barattaut KAB-CIANJUR-JABAR		
106	21-Nov-2022	-6.79	107.11	1	3.1	4 km Baratlaut KAB-CIANJUR-JABAR		
107	21-Nov-2022	-6.79	107.11	1	3.1	4 km Baratlaut KAB-CIANJUR-JABAR		
108	21-Nov-2022	-6.79	107.12	16	2.9	4 km BaratLaut KAB-CIANJUR-JABAR		
100	22-Nov-2022	-6.79	106.95	1	1.9	14 km Timuri aut KOTA-SLIKARI IMI-IARAR		
110	21-Nov-2022	-6.78	107.03	23	1.9	12 km BaratLaut KAB-CIANJUR-JABAR		
111	21-Nov-2022	-6.78	107.08	8	1.8	8 km BaratLaut KAB-CIANJUR-JABAR		
112	22-Nov-2022	-6.78	107.15	5	2.2	4 km TimurLaut KAB-CIANJUR-JABAR		
113	21-Nov-2022	-6.77	107.19	4	1.7	8 km TimurLaut KAB-CIANJUR-JABAR		
114	21-Nov-2022	-6.77	107.08	9	2	8 km BaratLaut KAB-CIANJUR-JABAR		
115	21-Nov-2022	-6.77	107.17	24	2.4	6 km TimurLaut KAB-CIANJUR-JABAR		
116	21-Nov-2022	-6.76	107.07	10	2.3	10 km BaratLaut KAB-CIANJUR-JABAR		
117	22-Nov-2022	-6.76	107.12	5	2.4	7 km BaratLaut KAB-CJANJUR-JABAR		
118	21-Nov-2022	-6.75	107.11	8	2	8 km BaratLaut KAB-CIANJUR-JABAR		
119	21-Nov-2022	-6.75	107.11	15	1.9	8 km BaratLaut KAB-CIANJUR-JABAR		
120	21-Nov-2022	-6.75 -6.74	107.06	2	3 2 4	11 km BaratLaut KAB-CIANJUR-JABAR		
122	21-Nov-2022 21-Nov-2022	-6.74	107.11	6	2.6	9 km BaratLaut KAB-CIANJUR-JABAR 9 km BaratLaut KAB-CIANJUR-JABAR		
123	22-Nov-2022	-6.74	106.86	2	2.2	17 km Tenggara KOTA-ROGOR-JABAR		
124		-6.74	107.13	9	2.6	9 km Baratlaut KAB-CIANJUR-JABAR		
125	21-Nov-2022	-6.73	107.11	5	2.1	10 km BaratLaut KAB-CIANJUR-JABAR		
126	21-Nov-2022	-6.72	107.08	5	2.4	13 km BaratLaut KAB-CIANJUR-JABAR		
127	21-Nov-2022	-6.72	107.04	1	1.7	15 km BaratLaut KAB-CIANJUR-JABAR		
128	21-Nov-2022	-6.71	107.14	10	2.3	12 km TimurLaut KAB-CIANJUR-JABAR		\vdash
129	21-Nov-2022	-6.7	107.14	11	2.2	13 km Timurlaut KAB-CIANJUR-JABAR		
131	22-Nov-2022 21-Nov-2022	-6.68 -6.67	107.17	19 27	1.8 2.1	16 km TimurLaut KAB-CIANJUR-JABAR 17 km BaratLaut KAB-CIANJUR-JABAR		
132	22-Nov-2022	-6,67	107.16	21	2.2	17 km TimurLaut KAB-CIANJUR-JABAR		
133	23-Nov-22	01:19:54	-6.81	107.10	2.3	4	4 km BaratLaut KAB-CIANJUR-JABAR	
134	23-Nov-22	02:08:26	-6.82	107.10	2.8	7	4 km BaratLaut KAB-CIANJUR-JABAR	
135	23-Nov-22	03:19:57	-6.81	107.11	2.4	5	3 km BaratLaut KAB-CIANJUR-JABAR	
136	23-Nov-22	03:27:03	-6.85	107.09	2.4	8	6 km BaratDaya KAB-CIANJUR-JABAR	
137	23-Nov-22	04:00:31	-6.81	107.14	2.3	9	1 km TimurLaut KAB-CIANJUR-JABAR	
138	23-Nov-22	05:23:01	-6.78	107.08	1.8	7	8 km BaratLaut KAB-CIANJUR-JABAR	
139	23-Nov-22	07:48:33	-6.75	107.12	2.2	2	8 km BaratLaut KAB-CIANJUR-JABAR	
140	23-Nov-22	10:04:55	-6.79	107.11	2.6	3	4 km BaratLaut KAB-CIANJUR-JABAR	
141	23-Nov-22 23-Nov-22	11:01:07 11:17:47	-6.83 -6.8	107.12 107.27	2.4	5	2 km BaratDaya KAB-CIANJUR-JABAR 14 km TimurLaut KAB-CIANJUR-JABAR	
143	23-Nov-22 23-Nov-22	11:17:47	-6.8	107.27	3.9	1	8 km BaratLaut KAB-CIANJUR-JABAR	
144	23-Nov-22	11:53:48	-6.79	107.09	1.9	6	6 km BaratLaut KAB-CIANJUR-JABAR	
145	23-Nov-22	12:08:31	-6.87	107.08	2.8	2	8 km BaratDaya KAB-CIANJUR-JABAR	
146	23-Nov-22	14:10:14	-6.87	107.14	1.6	18	5 km Tenggara KAB-CIANJUR-JABAR	
147	23-Nov-22	15:17:35	-6.82	107.12	2.2	18	2 km BaratLaut KAB-CIANJUR-JABAR	
148	23-Nov-22	15:38:18	-6.78	107.08	2.5	5	8 km BaratLaut KAB-CIANJUR-JABAR	
149	23-Nov-22 23-Nov-22	18:22:55 18:49:43	-6.81 -6.84	107.10 107.06	1.6	15	4 km BaratLaut KAB-CIANJUR-JABAR 9 km BaratDaya KAB-CIANJUR-JABAR	Dirasakan Di
								Ciherang III-IV MMI. Di Sukaresmi III
150								MMI. Di Pacet, Sukabumi, Cipanas II-III MMI
150 151	23-Nov-22	19:25:36	-6.82	107.10	2.2	7	4 km BaratLaut KAB-CIANJUR-JABAR	Sukabumi,
151	23-Nov-22 23-Nov-22	19:25:36 21:49:07	-6.82 -6.79	107.10 107.11	2.2	7 5	4 km Baratlaut KAB-CIANJUR-JABAR 4 km Baratlaut KAB-CIANJUR-JABAR	Sukabumi,
151 152 153	23-Nov-22 23-Nov-22	21:49:07 22:44:04	-6.79 -6.81	107.11 107.06	2.5 2.6	7 5 8	4 km BaratLaut KAB-CIANJUR-JABAR 8 km BaratLaut KAB-CIANJUR-JABAR	Sukabumi, Cipanas II-III MMI
151 152 153 154	23-Nov-22 23-Nov-22 23-Nov-22	21:49:07 22:44:04 23:34:22	-6.79 -6.81 -6.73	107.11 107.06 107.01	2.5 2.6 2.5	10	4 km Baratlaut KAB-CIANJUR-JABAR 8 km Baratlaut KAB-CIANJUR-JABAR 17 km Baratlaut KAB-CIANJUR-JABAR	Sukabumi, Cipanas II-III MMI
151 152 153	23-Nov-22 23-Nov-22	21:49:07 22:44:04 23:34:22 23:56:12	-6.79 -6.81	107.11 107.06	2.5 2.6		4 km BaratLaut KAB-CIANJUR-JABAR 8 km BaratLaut KAB-CIANJUR-JABAR	Sukabumi, Cipanas II-III MMI
151 152 153 154	23-Nov-22 23-Nov-22 23-Nov-22 23-Nov-22 24-Nov-22	21:49:07 22:44:04 23:34:22	-6.79 -6.81 -6.73 -6.77	107.11 107.06 107.01 107.09 107.12	2.5 2.6 2.5	10	4 km Baratlaut KAB-CIANJUR-JABAR 8 km Baratlaut KAB-CIANJUR-JABAR 17 km Baratlaut KAB-CIANJUR-JABAR 7 km Baratlaut KAB-CIANJUR-JABAR 6 km Baratlaut KAB-CIANJUR-JABAR	Sukabumi, Cipanas II-III MMI
151 152 153 154	23-Nov-22 23-Nov-22 23-Nov-22	21:49:07 22:44:04 23:34:22 23:56:12	-6.79 -6.81 -6.73	107.11 107.06 107.01	2.5 2.6 2.5	10	4 km Barattaut KAB-CIANJUR-JABAR 8 km Barattaut KAB-CIANJUR-JABAR 17 km Barattaut KAB-CIANJUR-JABAR 7 km Barattaut KAB-CIANJUR-JABAR 6 km Barattaut KAB-CIANJUR-JABAR 3 km BaratDaya KAB-CIANJUR-JABAR	Sukabumi, Cipanas II-III MMI
151 152 153 154 155 156 157	23-Nov-22 23-Nov-22 23-Nov-22 23-Nov-22 24-Nov-22 24-Nov-22 24-Nov-22 24-Nov-22	21:49:07 22:44:04 23:34:22 23:56:12	-6.79 -6.81 -6.73 -6.77 -6.77	107.11 107.06 107.01 107.09 107.12 107.11 107.10 107.12	2.5 2.6 2.5 2.2 1.4 1.8	10	4 km Baratlaut KAB-CIANJUR-JABAR 3 km Baratlaut KAB-CIANJUR-JABAR 17 km Baratlaut KAB-CIANJUR-JABAR 7 km Baratlaut KAB-CIANJUR-JABAR 3 km Baratlaut KAB-CIANJUR-JABAR 4 km Baratlaut KAB-CIANJUR-JABAR 4 km Baratlaut KAB-CIANJUR-JABAR 6 km Baratlaut KAB-CIANJUR-JABAR	Sukabumi, Cipanas II-III MMI
151 152 153 154 155 156 157 158	23-Nov-22 23-Nov-22 23-Nov-22 23-Nov-22 24-Nov-22 24-Nov-22 24-Nov-22 24-Nov-22 24-Nov-22	21:49:07 22:44:04 23:34:22 23:56:12 00:26:20 01:08:21 01:26:46 01:30:08 01:38:36	-6.79 -6.81 -6.73 -6.77 -6.77 -6.84 -6.81 -6.77 -6.85	107.11 107.06 107.01 107.09 107.12 107.11 107.10 107.12 107.10	2.5 2.6 2.5 2.2 1.4 1.8	10 12 15 18 16	km Barattaut KAB-CIANUR-JABAR 8 m Barattaur KAB-CIANUR-JABAR 17 km Barattaut KAB-CIANUR-JABAR 7 km Barattaut KAB-CIANUR-JABAR 6 km Barattaut KAB-CIANUR-JABAR 8 km Barattaut KAB-CIANUR-JABAR 8 km Barattaut KAB-CIANUR-JABAR 8 km Barattaut KAB-CIANUR-JABAR 8 km Barattaut KAB-CIANUR-JABAR 5 km Barattaut KAB-CIANUR-JABAR	Sukabumi, Cipanas II-III MMI
151 152 153 154 155 156 157 158	23-Nov-22 23-Nov-22 23-Nov-22 23-Nov-22 24-Nov-22 24-Nov-22 24-Nov-22 24-Nov-22 24-Nov-22 24-Nov-22	21:49:07 22:44:04 23:34:22 23:56:12	-6.79 -6.81 -6.77 -6.77 -6.84 -6.81 -6.77 -6.85 -6.85	107.11 107.06 107.01 107.09 107.12 107.11 107.10 107.12 107.10 107.09	2.5 2.6 2.5 2.2 1.4 1.8	10 12 15 18 16	4 km Barattaur KAB-CANURI-JABAR 3 km Barattaur KAB-CANURI-JABAR 17 km Barattaur KAB-CANURI-JABAR 7 km Barattaur KAB-CANURI-JABAR 7 km Barattaur KAB-CANURI-JABAR 3 km Barattaur KAB-CANURI-JABAR 3 km Barattaur KAB-CANURI-JABAR 5 km Barattaur KAB-CANURI-JABAR 5 km Barattaur KAB-CANURI-JABAR 6 km Barattaur KAB-CANURI-JABAR	Sukabumi, Cipanas II-III MMI
151 152 153 154 155 156 157 158	23-Nov-22 23-Nov-22 23-Nov-22 23-Nov-22 24-Nov-22 24-Nov-22 24-Nov-22 24-Nov-22 24-Nov-22 24-Nov-22	21:49:07 22:44:04 23:34:22 23:56:12 00:26:20 01:08:21 01:26:46 01:30:08 01:38:36	-6.79 -6.81 -6.73 -6.77 -6.77 -6.84 -6.81 -6.77 -6.85 -6.85 -6.85	107.11 107.06 107.01 107.09 107.12 107.11 107.10 107.12 107.10 107.10 107.19	2.5 2.6 2.5 2.2 1.4 1.8	10 12 15 18 16	4 km Barstlaut KAB-CIANUR-JABAR Skm Barstlaut KAB-CIANUR-JABAR 17 km Barstlaut KAB-CIANUR-JABAR 7 km Barstlaut KAB-CIANUR-JABAR 6 km Barstlaut KAB-CIANUR-JABAR 7 km Barstlaut KAB-CIANUR-JABAR 7 km Barstlaut KAB-CIANUR-JABAR 7 km Barstlaut KAB-CIANUR-JABAR 8 km Barstlaut KAB-CIANUR-JABAR	Sukabumi, Cipanas II-III MMI
151 152 153 154 155 156 157 158	23-Nov-22 23-Nov-22 23-Nov-22 23-Nov-22 24-Nov-22 24-Nov-22 24-Nov-22 24-Nov-22 24-Nov-22 24-Nov-22 24-Nov-22	21:49:07 22:44:04 23:34:22 23:56:12 00:26:20 01:08:21 01:26:46 01:30:08 01:38:36 01:41:05 02:34:42 02:59:30	-6.79 -6.81 -6.73 -6.77 -6.77 -6.84 -6.81 -6.77 -6.85 -6.85 -6.81 -6.87	107.11 107.06 107.01 107.09 107.12 107.11 107.10 107.12 107.10 107.09 107.14 107.06	2.5 2.6 2.5 2.2 1.4 1.8	10 12 15 18 16	4 km Barattaur KAB-CANURI-JABAR 3 km Barattaur KAB-CANURI-JABAR 17 km Barattaur KAB-CANURI-JABAR 7 km Barattaur KAB-CANURI-JABAR 7 km Barattaur KAB-CANURI-JABAR 3 km Barattaur KAB-CANURI-JABAR 3 km Barattaur KAB-CANURI-JABAR 5 km Barattaur KAB-CANURI-JABAR 5 km Barattaur KAB-CANURI-JABAR 6 km Barattaur KAB-CANURI-JABAR	Sukabumi, Cipanas II-III MMI
151 152 153 154 155 156 157 158	23-Nov-22 23-Nov-22 23-Nov-22 23-Nov-22 24-Nov-22 24-Nov-22 24-Nov-22 24-Nov-22 24-Nov-22 24-Nov-22 24-Nov-22 24-Nov-22	21:49:07 22:44:04 23:34:22 23:56:12 00:26:20 01:08:21 01:26:46 01:30:08 01:38:36 01:41:05 02:34:42 02:59:30 03:46:01	-6.79 -6.81 -6.73 -6.77 -6.87 -6.81 -6.77 -6.85 -6.85 -6.81 -6.87 -6.83	107.11 107.06 107.01 107.09 107.12 107.11 107.10 107.12 107.10 107.10 107.09 107.14 107.06	2.5 2.6 2.5 2.2 1.4 1.8	10 12 15 18 16	4 Im Baratuar KAR-CANUR-JABAR 8 Im Baratuar KAB-CANUR-JABAR 17 Im Baratuar KAB-CANUR-JABAR 7 Im Baratuar KAB-CANUR-JABAR 6 Im Baratuar KAB-CANUR-JABAR 8 Im Baratuar KAB-CANUR-JABAR 1 Im Imutuar KAB-CANUR-JABAR 1 IMUTUAR K	Sukabumi, Cipanas II-III MMI
151 152 153 154 155 156 157 158	23-Nov-22 23-Nov-22 23-Nov-22 23-Nov-22 24-Nov-22 24-Nov-22 24-Nov-22 24-Nov-22 24-Nov-22 24-Nov-22 24-Nov-22	21:49:07 22:44:04 23:34:22 23:56:12 00:26:20 01:08:21 01:26:46 01:30:08 01:38:36 01:41:05 02:34:42 02:59:30	-6.79 -6.81 -6.73 -6.77 -6.77 -6.84 -6.81 -6.77 -6.85 -6.85 -6.81 -6.87	107.11 107.06 107.01 107.09 107.12 107.11 107.10 107.12 107.10 107.09 107.14 107.06	2.5 2.6 2.5 2.2 1.4 1.8	10 12 15 18 16	4 Im Baratuar KAR-CANUR-JABAR 8 Im Baratuar KAR-CANUR-JABAR 17 Im Baratuar KAR-CANUR-JABAR 17 Im Baratuar KAR-CANUR-JABAR 18 Im Baratuar KAR-CANUR-JABAR 3 Im Baratuar KAR-CANUR-JABAR 3 Im Baratuar KAR-CANUR-JABAR 6 Im Baratuar KAR-CANUR-JABAR 6 Im Baratuar KAR-CANUR-JABAR 6 Im Baratuar KAR-CANUR-JABAR 10 Im Baratuar KAR-CANUR-JABAR	Sukabumi, Cipanas II-III MMI
151 152 153 154 155 156 157 158 159 160 161 162 163 164 165	23-Nov-22 23-Nov-22 23-Nov-22 23-Nov-22 24-Nov-22 24-Nov-22 24-Nov-22 24-Nov-22 24-Nov-22 24-Nov-22 24-Nov-22 24-Nov-22 24-Nov-22 24-Nov-22 24-Nov-22	21:49:07 22:44:04 23:34:22 23:56:12 00:26:20 01:08:21 01:26:46 01:30:08 01:38:36 01:41:05 02:34:42 02:59:30 03:46:01	-6.79 -6.81 -6.73 -6.77 -6.77 -6.84 -6.81 -6.77 -6.85 -6.85 -6.85 -6.87 -6.83 -6.79	107.11 107.06 107.01 107.09 107.12 107.11 107.10 107.12 107.10 107.09 107.14 107.06 107.06 107.06 107.10	2.5 2.6 2.5 2.2 1.4 1.8 1.9 2.2 2.2 1.8 2.4 2.3 2.1 2.2 2.2	10 12 15 18 16 16 2 3 4 5 8 8 8 8 8 8 8	SIM BERSTLER CAR CLANUR, ABARS BY BERSTLER CAR CLANUR, ABARS 27 Km BERSTLER CAR CLANUR, ABARS 27 Km BERSTLER CAR CLANUR, ABARS 27 Km BERSTLER CAR CLANUR, ABARS 36 KM BERSTLER CLANUR, A	Sukabumi, Cipanas II-III MMI
151 152 153 154 155 156 157 158 159 160 161 162 163 164	23-Nov-22 23-Nov-22 23-Nov-22 23-Nov-22 24-Nov-22	21:49:07 22:44:04 23:34:22 23:56:12 00:26:20 01:08:21 01:26:46 01:30:38 01:38:36 01:41:05 02:34:20 02:59:30 03:46:01 04:20:55 04:82:21 04:50:14:27	-6.79 -6.81 -6.73 -6.77 -6.77 -6.84 -6.81 -6.77 -6.85 -6.85 -6.85 -6.81 -6.87 -6.83 -6.79	107.11 107.06 107.01 107.09 107.12 107.11 107.10 107.12 107.10 107.10 107.10 107.00 107.14 107.06 107.06	2.5 2.6 2.5 2.2 1.4 1.8 1.9 2.2 2.2 1.8 2.4 2.3 2.1 2.2	10 12 18 16 16 12 9 6 0 10 10	LIM BERITLARI TAB CANNUR, ARABA SIM BERITLARI TAB CANNUR, ARABA TI EM BERITLARI TAB CANNUR, ARABA TI EM BERITLARI TAB CANNUR, ARABA SIM BERITLARI TAB CANNUR, ARABA	Sukabumi, Cipanas II-III MMI
151 152 153 154 155 156 157 158 159 160 161 162 163 164 165 166 167 168	23-Nov-22 23-Nov-22 23-Nov-22 23-Nov-22 24-Nov-22	21:49:07 22:44:04 22:34:22 22:35:6:12 00:26:20 01:08:21 01:26:46 01:30:08 01:38:36 01:41:05 02:34:42 02:59:30 03:46:01 04:20:55 04:48:21 04:50:14	-6.79 -6.81 -6.77 -6.77 -6.84 -6.85 -6.85 -6.85 -6.81 -6.87 -6.83 -6.79 -6.81 -6.81 -6.87 -6.81	107.11 107.06 107.01 107.09 107.12 107.11 107.10 107.12 107.10 107.10 107.06 107.06 107.10 107.10 107.10 107.10 107.06 107.10 107.10	2.5 2.6 2.5 2.2 1.4 1.8 1.9 2.2 2.2 2.2 1.8 2.4 2.3 2.1 2.2 2.2 2.2 2.2 2.2 2.2 2.2 2.2 2.2	10 12 15 18 16 16 2 3 4 5 8 8 8 8 8 8 8	S IN Barestant CARE CANAUR. ARABA S WIN BERSTANT AND CANAUR. ARABA 37 km Barstant KARE CANAUR. ARABA 37 km Barstant KARE CANAUR. ARABA 56 km Barstant KARE CANAUR. ARABA 10 km Barstant KARE CANAUR. ARABA	Sukabumi, Cipanas II-III MMI
151 152 153 154 155 156 157 158 159 160 161 162 163 164 165 166 167 168 169 170	23-Nov-22 23-Nov-22 23-Nov-22 23-Nov-22 24-Nov-22	21:49:07 22:44:04 22:34:22 22:35:6:12 00:26:20 01:08:21 01:30:08 01:30:08 01:41:05 02:34:42 02:59:30 03:46:01 04:40:50 04:40:50 04:40:50 04:40:50 04:40:50 04:40:50 04:40:50 04:40:50 04:40:50 04:40:50 04:40:50 04:40:50 04:40:50 04:40 06:40 0	-6.79 -6.81 -6.77 -6.77 -6.84 -6.81 -6.85 -6.85 -6.81 -6.87 -6.83 -6.79 -6.81 -6.84 -6.87 -6.83	107.11 107.06 107.01 107.09 107.12 107.11 107.10 107.10 107.10 107.09 107.14 107.06 107.10 107.14 107.10 107.14 107.10 107.14	2.5 2.6 2.5 2.2 1.4 1.8 1.9 2.2 2.2 1.8 2.4 2.3 2.1 2.2 2.2	10 12 15 18 16 16 2 3 4 5 8 8 8 8 8 8 8	SIM BERSTLER CARE CANADRA ABARS BY BERSTLER CARE CANADRA ABARS 27 KM BERSTLER CARE CANADRA ABARS 27 KM BERSTLER CARE CANADRA ABARS 27 KM BERSTLER CARE CANADRA ABARS 26 KM BERSTLER CANADRA ABARS 27 KM BERSTLER CANADRA AB	Sukabumi, Cipanas II-III MMI
151 152 153 154 155 156 157 158 159 160 161 162 163 164 165 166 167 168	23-Nov-22 23-Nov-22 23-Nov-22 23-Nov-22 24-Nov-22	21:49:07 22:44:04 22:34:22 22:35:6:12 00:26:20 01:08:21 01:30:08 01:30:08 01:41:05 02:34:42 02:59:30 03:46:01 04:40:50 04:40:50 04:40:50 04:40:50 04:40:50 04:40:50 04:40:50 04:40:50 04:40:50 04:40:50 04:40:50 04:40:50 04:40:50 04:40 06:40 0	-6.79 -6.81 -6.77 -6.77 -6.84 -6.81 -6.85 -6.85 -6.81 -6.87 -6.83 -6.79 -6.81 -6.84 -6.87 -6.83	107.11 107.06 107.01 107.09 107.12 107.11 107.10 107.10 107.10 107.09 107.14 107.06 107.10 107.14 107.10 107.14 107.10 107.14	2.5 2.6 2.5 2.2 1.4 1.8 1.9 2.2 2.2 2.2 1.8 2.4 2.3 2.1 2.2 2.2 2.2 2.2 2.2 2.2 2.2 2.2 2.2	10 12 15 18 16 16 2 3 4 5 8 8 8 8 8 8 8	S IN Barestant CARE CANAUR. ARABA S WIN BERSTANT AND CANAUR. ARABA 37 km Barstant KARE CANAUR. ARABA 37 km Barstant KARE CANAUR. ARABA 56 km Barstant KARE CANAUR. ARABA 10 km Barstant KARE CANAUR. ARABA	Sukabumi, Cipanas II-III MMI
151 152 153 154 155 156 157 158 159 160 161 162 163 164 165 166 167 168 169 170 171	22-Nov-22 23-Nov-22 23-Nov-22 23-Nov-22 23-Nov-22 24-Nov-22	21:49:07 22:44:04 22:34:22 22:56:12 00:26:20 01:08:21 01:26:46 01:38:36 01:41:05 02:34:46 01:25:93 03:46:01 04:20:59:30 04:48:21 04:50:14 06:11:27 09:00:09 10:04:43 12:47:32	-6.79 -6.81 -6.77 -6.77 -6.84 -6.85 -6.85 -6.85 -6.81 -6.87 -6.83 -6.79 -6.81 -6.81 -6.87 -6.81	107.11 107.06 107.01 107.09 107.12 107.11 107.10 107.12 107.10 107.12 107.10 107.10 107.06 107.06 107.10 107.14 107.10 107.14 107.16 107.16 107.17 107.17 107.18	2.5 2.6 2.5 2.2 1.4 1.8 2.4 2.3 2.1 2.2 2.2 2.2 2.2 2.2 2.4 2.0 2.4 2.3	10 15 18 18 10 10 10 10 8 8 8 1 11 11 11 11 17 17	SIM BERSTLER CARE CANADRA ABARS BY BERSTLER CARE CANADRA ABARS 27 KM BERSTLER CARE CANADRA ABARS 27 KM BERSTLER CARE CANADRA ABARS 27 KM BERSTLER CARE CANADRA ABARS 26 KM BERSTLER CANADRA ABARS 27 KM BERSTLER CANADRA AB	Sukabumi, Cipanas II-III MMI
151 152 153 154 155 156 157 158 159 160 161 162 163 164 165 166 167 168 169 170	23-Nov-22 23-Nov-22 23-Nov-22 23-Nov-22 24-Nov-22	21:49:07 22:44:04 22:34:22 22:35:6:12 00:26:20 01:08:21 01:30:08 01:30:08 01:41:05 02:34:42 02:59:30 03:46:01 04:40:50 04:40:50 04:40:50 04:40:50 04:40:50 04:40:50 04:40:50 04:40:50 04:40:50 04:40:50 04:40:50 04:40:50 04:40 06:11:27 06:50 0	-6.79 -6.81 -6.77 -6.77 -6.84 -6.81 -6.85 -6.85 -6.81 -6.87 -6.83 -6.79 -6.81 -6.84 -6.87 -6.83	107.11 107.06 107.01 107.09 107.12 107.11 107.10 107.10 107.10 107.09 107.14 107.06 107.10 107.14 107.10 107.14 107.10 107.14	2.5 2.6 2.5 2.2 1.4 1.8 1.9 2.2 2.2 2.2 1.8 2.4 2.3 2.1 2.2 2.2 2.2 2.2 2.2 2.2 2.2 2.2 2.2	10 12 15 18 16 16 2 3 4 5 8 8 8 8 8 8 8	SIM BERSTLER CARE CANADRA ABARS BY BERSTLER CARE CANADRA ABARS 27 KM BERSTLER CARE CANADRA ABARS 27 KM BERSTLER CARE CANADRA ABARS 27 KM BERSTLER CARE CANADRA ABARS 26 KM BERSTLER CANADRA ABARS 27 KM BERSTLER CANADRA AB	Sukabumi, Cipanas II-III MMI
151 152 153 154 155 156 157 159 160 161 162 163 164 165 166 167 168 169 170 171 172	23-Nov-22 23-Nov-22 23-Nov-22 23-Nov-22 23-Nov-22 24-Nov-22	21:49:07 22:44:04 22:34:22 23:56:12 00:26:20 01:08:21 01:26:46 01:30:08 01:41:05 02:34:42 02:59:30 03:46:01 04:20:55 04:40:50 04:20:55 04:40:40 05:10:40 06:10:27 06:10:27 06:10:27 13:09:23 13:09:23 13:09:23	-6.79 -6.81 -6.73 -6.77 -6.77 -6.84 -6.81 -6.85 -6.85 -6.85 -6.83 -6.87 -6.83 -6.77 -6.84 -6.77 -6.84 -6.77 -6.88 -6.77 -6.88 -6.77	107.11 107.05 107.05 107.05 107.09 107.12 107.12 107.12 107.10 107.12 107.10 107.16 107.06 107.06 107.06 107.06 107.06 107.06 107.06 107.06 107.07 10	2.5 2.6 2.5 2.2 1.4 1.8 1.9 2.2 2.2 1.8 2.4 2.3 2.1 2.2 2.2 2.2 2.1 2.4 2.3 2.1 2.2 2.2 2.2 2.3 2.1 2.4 2.3 2.1 2.2 2.2 2.3 2.1 2.4 2.4 2.5 2.5 2.5 2.5 2.5 2.5 2.5 2.5 2.5 2.5	10 12 15 18 18 16 10 2 3 6 6 10 10 8 8 8 5 5 11 11 11 13 3 7 7 15 22 22	SIM BERSTLER CARE CANADRA ABARS BY BERSTLER CARE CANADRA ABARS 27 KM BERSTLER CARE CANADRA ABARS 27 KM BERSTLER CARE CANADRA ABARS 27 KM BERSTLER CARE CANADRA ABARS 26 KM BERSTLER CANADRA ABARS 27 KM BERSTLER CANADRA AB	Sukabumi, Cipanas II-III MMI
151 152 153 154 155 155 157 158 159 160 161 162 163 164 166 167 170 171 172 173 174 175 176	23-Nov-22 23-Nov-22 23-Nov-22 23-Nov-22 23-Nov-22 23-Nov-22 24-Nov-22	21:49:07 22:44:04 22:34:22 22:56:12 00:26:20 01:08:21 01:26:46 01:30:08 01:38:36 01:41:05 02:34:42 02:59:30 03:46:01 04:20:55 04:48:21 04:50:14 05:01:40 06:11:27 06:00:09 11:04:43 12:47:32 13:49:23 13:49:23 13:39:23	-6.79 -6.81 -6.73 -6.77 -6.77 -6.84 -6.81 -6.85 -6.85 -6.85 -6.83 -6.87 -6.83 -6.77 -6.84 -6.77 -6.84 -6.77 -6.88 -6.77 -6.88 -6.77	107.11 107.05 107.05 107.05 107.09 107.12 107.11 107.10 107.12 107.10 107.06	2.5 2.6 2.5 2.2 1.4 1.8 2.2 2.2 2.2 2.4 2.3 2.1 2.4 2.1 2.2 2.2 2.2 2.4 2.0 2.1 2.4 2.1 2.1 2.1 2.1 2.2 2.2 2.2 2.2 2.2 2.2	10 12 15 18 18 19 9 6 10 8 8 10 10 11 11 11 11 11 12 2 2 3 3 3 4 5 5 5 5 5 5 5 5 5 5 5 5 5	SIM BRITISHE CARE CANADIS, AND AN AND AND AND AND AND AND AND AND	Sukabumi, Cipanas II-III MMI
151 152 153 154 155 156 157 158 160 161 162 163 164 165 167 177 172 173 174 175 176 177	23-Nov-22 23-Nov-22 23-Nov-22 23-Nov-22 23-Nov-22 24-Nov-22 24-Nov	21:49:07 22:44:07 22:34:22 23:56:12 00:26:20 01:08:21 01:26:46 01:30:08 01:38:36 01:41:05 02:34:42 02:59:30 04:42:10 04:20:55 04:48:21 06:11:27 09:00:09 10:04:43 12:47:32 13:13:13 13:39:58	-6.79 -6.81 -6.73 -6.77 -6.84 -6.81 -6.85 -6.85 -6.85 -6.85 -6.87 -6.81 -6.87 -6.83 -6.7 -6.84 -6.7 -6.84 -6.7 -6.84 -6.7 -6.84 -6.7 -6.85 -6.87 -6.81 -6.81 -6.82 -6.83 -6.84 -6.7 -6.85 -6.85 -6.85 -6.85 -6.85 -6.85 -6.85 -6.85 -6.87 -6.86 -6.87 -6.81 -6.87 -6.81 -6.81 -6.81 -6.81 -6.82 -6.84 -6.76 -6.88 -6.87 -6.88 -6.87 -6.88 -6.78 -6.88 -6.78 -6.88 -6.87 -6.88 -6.78 -6.88 -6.76 -6.88 -6.76 -6.88 -6.76 -6.88 -6.76 -6.88 -6.76 -6.88 -6.76 -6.88 -6.76 -6.88 -6.76 -6.88 -6.76 -6.88 -6.76 -6.88 -6.76 -6.88 -6.76 -6.88 -6.76 -6.88 -6.76 -6.88 -	107.11 107.06 107.00 107.01 107.12 107.12 107.11 107.10 107.10 107.10 107.00 107.10 107.00 107.10	2.5 2.6 2.5 2.2 1.4 1.8 1.9 2.2 1.8 2.4 2.3 2.1 2.2 2.1 2.2 2.1 2.4 2.3 1.6 1.7 2.3 1.9	10 12 15 18 18 19 9 6 10 8 8 10 10 11 11 11 11 11 12 2 2 3 3 3 4 5 5 5 5 5 5 5 5 5 5 5 5 5	LIM Barstlaut CAB-CLANUR, ABARA BY BARSTLAUT CAB-CLANUR, ABARA 17 km Barstlaut CAB-CLANUR, ABARA 17 km Barstlaut CAB-CLANUR, ABARA 17 km Barstlaut CAB-CLANUR, ABARA 18 km Barstlaut CAB-CLANUR, ABARA 19 km Barst	Sukabumi, Cipanas II-III MMI
151 152 153 154 155 156 157 158 160 161 162 163 164 165 166 171 172 172 173 174 175 176 177 178	23-Nov-22 23-Nov-22 23-Nov-22 23-Nov-22 23-Nov-22 23-Nov-22 24-Nov-22	22:49:07 22:44:04 23:34:22 22:56:12 00:26:20 00:26:20 00:30:30 00:30:30 00:30:30 00:41:05 02:34:42 02:59:30 03:46:01 04:20:55 04:42:01 04:20:55 04:42:12 04:50:14 05:11:27 03:00:91 13:09:23 13:09:23 13:13:13 13:39:58 13:47:20 14:19:24 14:24:28	-6.79 -6.81 -6.81 -6.85 -6.81 -6.87 -6.81 -6.87 -6.85 -6.85 -6.85 -6.81 -6.87 -6.83 -6.77 -6.83 -6.87 -6.81 -6.87 -6.88 -6.87 -6.88 -6.87 -6.88 -6.88 -6.88	107.11 107.05 107.05 107.01 107.09 107.01 107.10	2.5 2.6 2.5 2.5 2.2 1.4 1.8 1.9 2.2 2.2 2.2 2.4 2.3 2.1 2.2 2.2 2.1 2.4 2.0 2.4 2.0 2.1 2.4 2.0 2.1 2.1 2.1 2.1 2.1 2.1 2.1 2.1 2.1 2.1	10 12 15 18 18 18 16 19 9 6 6 10 8 8 8 8 11 11 11 11 12 12 13 14 15 15 16 16 17 18 18 18 18 18 18 18 18 18 18 18 18 18	SIM Barstlant CAR-CLANUR, ARABA WIN BERSTLANT CAR-CLANUR, ARABA JY Im Barstlant CAR-CLANUR, ARABA JOHN BARSTLANT CAR-CLANUR, ARABA JOHN BARSTLANT CAR-CLANUR, ARABA JOHN BARSTLANT CAR-CLANUR, ARABA JY IM BARSTLANT CAR-CLANUR, ARABA	Sukabumi, Cipanas II-III MMI
151 152 153 154 155 156 157 158 160 161 162 163 164 165 166 167 167 168 170 171 172 173 174 175 176 177 178 179 179 179 179 179 179 179 179 179 179	23-Nov-22 23-Nov-22 23-Nov-22 23-Nov-22 23-Nov-22 24-Nov-22	21:49:07 22:44:04 22:44:04 22:34:22 22:56:12 00:26:20 01:08:21 01:30:08 01:38:36 01:41:05 02:34:42 02:34:42 04:40:05 04:40:40 04:40:05 04:40:40 04:40:40 04:40:40 04:40:40 04:40:40 04:	-6.79 -6.81 -6.73 -6.77 -6.84 -6.81 -6.85 -6.85 -6.85 -6.87 -6.81 -6.87 -6.81 -6.87 -6.81 -6.87 -6.81 -6.81 -6.87 -6.81 -6.89 -6.81 -6.89 -6.81 -6.89 -6.81 -6.89 -6.81 -6.89 -6.80 -6.70 -6.80 -6.70 -6.80 -6.70 -6.80 -6.80 -6.80 -6.80 -6.80 -6.80 -6.80 -6.80 -6.80 -6.80 -6.80 -6.80 -6.80	107.11 107.06 107.06 107.01 107.01 107.01 107.12 107.13 107.14 10	2.5 2.6 2.5 2.2 1.4 1.8 1.9 2.2 2.2 2.1 2.4 2.3 2.1 2.2 2.2 2.1 2.4 2.3 1.6 1.7 2.3 1.6 1.7 2.3 1.9 1.9 2.1 2.1 2.1 2.1 2.1 2.1 2.1 2.1 2.1 2.1	10 15 18 16 16 17 9 9 9 18 19 19 10 11 11 11 19 19 10 10 11 11 12 13 14 15 16 17 18 18 18 18 18 18 18 18 18 18	SIM BRITISHE CARE CANADIS, ARABA **MIR BRITISHE CARE CANADIS, ARABA **Jim Brast and KAB CANADIS, ARABA **Jim Brast CANADIS, ARABA **Ji	Sukabumi, Cipanas II-III MMI
151 152 153 154 155 156 157 158 160 161 162 163 164 165 166 167 171 172 173 174 175 176 177 178 178 179 179 179 179 179 179 179 179 179 179	23-Nov-22 23-Nov-22 23-Nov-22 23-Nov-22 23-Nov-22 24-Nov-22	22:49:07 22:44:04 22:34:22 22:56:12 00:26:20 01:08:21 01:26:45 01:30:08 01:41:05 02:34:42 02:59:30 03:46:01 04:00:55 04:42:10 04:00:55 04:42:11 04:50:14 06:11:27 09:00:99 10:41:31 12:47:20 12:47:47:20 12:47:20 12:47:20 12:47:20 12:47:20 12:47:20 12:47:20	-6.79 -6.81 -6.77 -6.84 -6.81 -6.77 -6.85 -6.85 -6.81 -6.87 -6.83 -6.79 -6.81 -6.87 -6.83 -6.79 -6.84 -6.77 -6.84 -6.77 -6.85 -6.81 -6.87 -6.81 -6.80 -6.77 -6.88 -6.77 -6.88 -6.77 -6.88 -6.77 -6.88 -6.78 -6.88	107.11 107.06 107.05 107.05 107.05 107.01 107.09 107.12 107.10 107.10 107.10 107.10 107.10 107.00 10	2.5 2.6 2.5 2.2 2.2 1.4 1.8 1.9 2.2 2.2 2.1 2.4 2.3 2.1 2.2 2.2 2.2 2.1 2.4 2.3 1.6 2.3 1.6 2.3 2.1 2.1 2.2 2.2 2.2 2.1 2.1 2.1 2.1 2.1	10 12 15 18 18 18 16 19 9 6 6 10 8 8 8 8 11 11 11 11 12 12 13 14 15 15 16 16 17 18 18 18 18 18 18 18 18 18 18 18 18 18	SIM Barstlaut CAR-CLANUR, ARABA SIM Barstlaut CAR-CLANUR, ARABA 27 km Barstlaut KAR-CLANUR, ARABA 27 km Barstlaut KAR-CLANUR, ARABA SIM Barstlay KAR-CLANUR, ARABA SIM Barstlaut KAR-CLANUR, ARABA	Sukabumi, Cipanas II-III MMI
151 152 153 154 155 156 157 158 160 161 162 163 164 165 166 167 167 168 170 171 172 173 174 175 176 177 178 179 179 179 179 179 179 179 179 179 179	23-Nov-22 23-Nov-22 23-Nov-22 23-Nov-22 23-Nov-22 24-Nov-22	21:49:07 22:44:04 22:44:04 22:34:22 22:56:12 00:26:20 01:08:21 01:30:08 01:38:36 01:41:05 02:34:42 02:34:42 04:40:05 04:40:40 04:40:05 04:40:40 04:40:40 04:40:40 04:40:40 04:40:40 04:	-6.79 -6.81 -6.73 -6.77 -6.84 -6.81 -6.85 -6.85 -6.85 -6.87 -6.81 -6.87 -6.81 -6.87 -6.81 -6.87 -6.81 -6.81 -6.89 -6.81 -6.89 -6.81 -6.89 -6.81 -6.89 -6.81 -6.89 -6.81 -6.89 -6.80 -6.70 -6.88 -6.70 -6.88 -6.70 -6.88 -6.89 -6.88 -6.89 -6.89 -6.89 -6.89 -6.89 -6.89 -6.89 -6.89 -6.89	107.11 107.06 107.06 107.01 107.01 107.01 107.12 107.13 107.14 10	2.5 2.6 2.5 2.2 1.4 1.8 1.9 2.2 2.2 2.1 2.4 2.3 2.1 2.2 2.2 2.1 2.4 2.3 1.6 1.7 2.3 1.6 1.7 2.3 1.9 1.9 2.1 2.1 2.1 2.1 2.1 2.1 2.1 2.1 2.1 2.1	10 15 18 16 16 17 9 9 9 18 19 19 10 11 11 11 19 19 10 10 11 11 12 13 14 15 16 17 18 18 18 18 18 18 18 18 18 18	SIM BRITISHE CARE CANADIS, ARABA **MIR BRITISHE CARE CANADIS, ARABA **Jim Brast and KAB CANADIS, ARABA **Jim Brast CANADIS, ARABA **Ji	Sukabumi, Cipanas II-III MMI
151 152 153 154 155 156 157 158 160 161 162 163 164 165 166 167 171 172 173 174 175 176 177 178 178 179 179 179 179 179 179 179 179 179 179	23-Nov-22 23-Nov-22 23-Nov-22 23-Nov-22 23-Nov-22 24-Nov-22	22:49:07 22:44:04 22:34:22 23:56:12 00:26:20 00:88:21 00:38:36 00:41:05 00:38:36 00:41:05 00:38:36 00:41:05 00:38:36 00:41:05 00:41:	-6.79 -6.81 -6.77 -6.84 -6.81 -6.77 -6.85 -6.85 -6.81 -6.87 -6.83 -6.79 -6.81 -6.87 -6.83 -6.79 -6.84 -6.77 -6.84 -6.77 -6.85 -6.81 -6.87 -6.81 -6.80 -6.77 -6.88 -6.77 -6.88 -6.77 -6.88 -6.77 -6.88 -6.78 -6.88	107.11 107.06 107.06 107.01 107.01 107.12 107.13 107.13 107.14 107.14 107.14 107.14 107.14 107.14 107.14 107.14 107.14 107.14 107.14 107.14 107.14 107.14 107.15 107.16	2.5 2.6 2.5 2.2 2.2 1.4 1.8 1.9 2.2 2.2 2.1 2.4 2.3 2.1 2.2 2.2 2.2 2.1 2.4 2.3 1.6 2.3 1.6 2.3 2.1 2.1 2.2 2.2 2.2 2.1 2.1 2.1 2.1 2.1	10 15 18 16 16 17 9 9 9 18 19 19 10 11 11 11 19 19 10 10 11 11 12 13 14 15 16 17 18 18 18 18 18 18 18 18 18 18	SIM Barstlaut CAR-CLANUR, ARABA SIM Barstlaut CAR-CLANUR, ARABA 27 km Barstlaut KAR-CLANUR, ARABA 27 km Barstlaut KAR-CLANUR, ARABA SIM Barstlay KAR-CLANUR, ARABA SIM Barstlaut KAR-CLANUR, ARABA	Sukabumi, Cipanas II-III MMI
151 152 153 154 155 156 156 157 158 169 161 163 164 165 166 167 171 172 172 174 175 177 178 179 180 181 181 181	22-Nov-22 23-Nov-22 23-Nov-22 23-Nov-22 23-Nov-22 23-Nov-22 24-Nov-22	22:49:07 22:44:20 22:34:22 22:56:12 00:26:20 00:08:21 00:26:20 00:38:36 00:41:05 00:38:36 00:41:05 00:38:36 00:41:05 00:38:36 00:41:05 00:38:36 00:41:05 00:38:36 00:48:21 00:50:50 00:00:50 10:40:40 12:47:32 13:09:33 13:13:13 13:93:38 14:93:38 15:96:19 16:96:19 16:96:19 16:96:19 16:96:19 16:96:19 16:96:19 16:96:19 16:96:19 16:96:19 16:96:19 16:96:	6.79 6.81 6.73 6.77 6.84 6.81 6.85 6.85 6.85 6.83 6.83 6.87 6.77 6.81 6.83 6.83 6.83 6.83 6.83 6.83 6.83 6.83	107.11 107.05 107.05 107.01 107.00 107.12 107.12 107.12 107.13 107.14 107.10 107.14 107.10 107.14 107.14 107.14 107.14 107.14 107.14 107.14 107.14 107.14 107.14 107.14 107.15 107.14 107.15 107.16	2.5 2.6 2.5 2.2 2.2 1.4 1.8 1.9 2.2 2.1 2.2 2.2 2.2 2.2 2.2 2.2 2.4 2.0 2.4 2.3 3.1 2.1 2.4 2.4 2.4 2.4 2.4 2.5 2.4 2.7 2.7 2.7 2.7 2.7 2.7 2.7 2.7 2.7 2.7	10 15 18 16 16 17 9 9 9 18 19 19 10 11 11 11 19 19 10 10 11 11 12 13 14 15 16 17 18 18 18 18 18 18 18 18 18 18	S of Barstlant CARE-CANAUR, ARABA S of B	Sukabumi, Cipanas II-III MMI
151 152 153 154 155 156 157 158 159 160 161 162 163 164 165 167 170 170 170 171 172 173 174 175 176 177 178 181 183 183 183 183 183 184 185	22-Nov-22 22-Nov-22 22-Nov-22 22-Nov-22 22-Nov-22 22-Nov-22 22-Nov-22 24-Nov-22	21:49:07 22:44:04 23:34:22 23:56:12 20:26:20 01:28:26 01:38:26 01:41:05 01:38:36 01:41:05 01:38:36 01:41:05 01:38:36 01:41:05 01:38:36 01:41:05 01:38:36 01:41:05 01:38:36 01:41:05 01:38:36 01:41:05 01:38:36 01:48:21 01:50:14 08:50:14 08:50:14 08:50:14 08:11:27 09:00:09 11:47:20 11:19:12 11:19:13 11:47:20 11:19:24 11:29:25 11:49:23 11:49:24 11:29:24 11:29:25	6.79 6.81 6.73 6.77 6.84 6.87 6.85 6.85 6.85 6.87 6.87 6.83 6.87 6.87 6.87 6.87 6.87 6.87 6.87 6.87	107.14 107.05 107.01 107.03 107.01 107.03 107.12 107.12 107.13 107.14 107.06 10	2.5 2.6 2.5 2.2 2.2 1.4 1.8 1.9 2.2 2.1 2.1 2.2 2.2 2.2 2.2 2.2 2.2 2.3 2.1 2.1 2.1 2.1 2.1 2.1 2.1 2.1 2.1 2.1	10 15 18 16 16 17 9 9 9 18 19 19 10 11 11 11 19 19 10 10 11 11 12 13 14 15 16 17 18 18 18 18 18 18 18 18 18 18	SIM BRITISHE CARE CANADIS, AND AN AND AND AND AND AND AND AND AND	Sukabumi, Cipanas II-III MMI
151 152 153 154 155 156 157 158 159 160 161 162 163 164 165 167 170 170 170 171 172 173 174 175 176 177 178 181 183 183 183 183 183 184 185	22-Nov-22 22-Nov-22 22-Nov-22 22-Nov-22 22-Nov-22 22-Nov-22 22-Nov-22 24-Nov-22	21:49:07 22:44:04 23:34:22 23:56:12 20:26:20 01:28:26 01:38:26 01:41:05 01:38:36 01:41:05 01:38:36 01:41:05 01:38:36 01:41:05 01:38:36 01:41:05 01:38:36 01:41:05 01:38:36 01:41:05 01:38:36 01:41:05 01:38:36 01:48:21 01:50:14 01:	6.79 6.81 6.73 6.77 6.84 6.87 6.85 6.85 6.85 6.87 6.87 6.83 6.87 6.87 6.87 6.87 6.87 6.87 6.87 6.87	107.14 107.05 107.01 107.03 107.01 107.03 107.12 107.12 107.13 107.14 107.06 10	2.5 2.6 2.5 2.2 2.2 1.4 1.8 1.9 2.2 2.1 2.1 2.2 2.2 2.2 2.2 2.2 2.2 2.3 2.1 2.1 2.1 2.1 2.1 2.1 2.1 2.1 2.1 2.1	10 112 115 118 118 129 131 131 140 150 160 170 181 181 191 19 19 19 19 19 19 19 19 19 19 19 1	SIM BRITISHE CARE CANADIS, ARABA **M BRITISHE CARE CANADIS, ARABA **I'm BRITISHE CARE, CANADIS, ARABA **SIM BRITISHE CARE, ARABA **SIM BRITISHE CARE, CANADIS, ARABA **SIM BRITISHE CARE, CANAD	Sukabumi, Cipanas II-III MMI
151 152 153 154 155 156 157 158 169 160 161 162 163 164 165 166 167 170 171 172 173 174 175 176 176 177 178 179 179 179 179 179 179 179 179 179 179	23-Nov-22 23-Nov-22 23-Nov-22 23-Nov-22 23-Nov-22 24-Nov-22	22:49:07 22:44:20 22:34:22 22:56:12 00:26:20 00:08:21 00:26:20 00:38:36 00:41:05 00:38:36 00:41:05 00:38:36 00:41:05 00:38:36 00:41:05 00:38:36 00:41:05 00:38:36 00:48:21 00:50:50 00:00:50 10:40:40 12:47:32 13:09:33 13:13:13 13:93:38 14:93:38 15:96:19 16:96:19 16:96:19 16:96:19 16:96:19 16:96:19 16:96:19 16:96:19 16:96:19 16:96:19 16:96:19 16:96:	6.79 6.81 6.72 6.77 6.84 6.77 6.84 6.87 6.87 6.88 6.89 6.89 6.89 6.89 6.89 6.89 6.89	107.11 107.02 107.03 107.01 107.03 107.11 107.12 107.12 107.12 107.12 107.12 107.12 107.06 10	2.5 2.6 2.5 2.2 2.1 1.4 1.8 1.9 2.2 2.2 2.1 2.2 2.1 2.2 2.2 2.1 2.2 2.2	10 15 18 16 16 17 9 9 9 18 19 19 10 11 11 11 19 19 10 10 11 11 12 13 14 15 16 17 18 18 18 18 18 18 18 18 18 18	S I M BERSTEUR CARE CHANUER, ARABA 3 The BRESTEUR CARE CHANUER, ARABA 3 The BRESTEUR CARE CHANUER, ARABA 3 The BRESTEUR CARE CHANUER, ARABA 5 I MERCHANDER, ARABA 5 I M BRESTEUR CHANUER, ARABA 10 I M BRESTEUR CHANUER, ARABA 11 I M BRESTEUR CHANUER, ARABA 12 I M BRESTEUR CHANUER, ARABA 13 I M TITUTAL CHANUER, ARABA 14 I M BRESTEUR CHANUER, ARABA 15 I M BRESTEUR CHANUER, ARABA 16 I M BRESTEUR CHANUER, ARABA 16 I M BRESTEUR CHANUER, ARABA 16 I M BRESTEUR CHANUER, ARABA 17 I M BRESTEUR CHANUER, ARABA 18 I M BRESTEUR CHANUER, ARABA 18 I M BRESTEUR CHANUER, ARABA 18 I M BRESTEUR CHANUER, ARABA 19 I M BRESTEUR CHANUER, ARABA 19 I M BRESTEUR CHANUER, ARABA 10 I M BRESTEUR CHANUER, ARABA	Sukabumi, Cipanas II-III MMI
151 152 153 154 156 157 158 159 160 161 162 163 164 166 167 177 172 174 175 176 177 177 178 179 179 179 179 179 179 179 179 179 179	23-Nov-22 23-Nov-22 23-Nov-22 23-Nov-22 23-Nov-22 23-Nov-22 24-Nov-22	11-907 (1997) (1	6.29 6.81 6.87 6.87 6.89 6.86 6.87 6.88 6.89 6.89 6.89 6.89 6.89 6.89 6.89	107.11 107.05 107.00 107.01 107.01 107.01 107.11 107.10 107.11 107.10 107.12 107.10 107.14 107.15 107.16	2.5 2.6 2.5 2.2 2.2 1.4 1.8 1.9 2.2 2.1 2.1 2.2 2.2 2.2 2.2 2.2 2.2 2.3 2.1 2.1 2.1 2.1 2.1 2.1 2.1 2.1 2.1 2.1	10 112 115 118 118 129 131 131 140 150 160 170 181 181 191 19 19 19 19 19 19 19 19 19 19 19 1	SIM BRITISHE CARE CHANGE, ARABA **M BRITISHE CARE CHANGE, ARABA **J' IM BRITISHE CARE CHANGE, ARABA **J' IM BRITISHE CARE **J' IM BRITISHE **J'	Sukabumi, Cipanas II-III MMI
151 152 153 154 155 156 157 158 159 160 161 162 163 164 165 167 170 170 170 171 172 173 174 175 176 177 178 181 183 183 183 183 183 184 185	23-Nov-22 23-Nov-22 23-Nov-22 23-Nov-22 23-Nov-22 23-Nov-22 24-Nov-22	1.9807 (1924) 2.3402 (2940) 2.3402 (2950) 2.3501 (2950) 2.	-6.79 -6.81 -6.72 -6.91 -6.81 -6.72 -6.91 -6.81 -6.87 -6.85 -6.85 -6.86 -6.87 -6.84 -6.76 -6.84 -6.76 -6.84 -6.76 -6.86 -6.87 -6.86 -6.87 -6.86 -6.76	107.11 107.02 107.03 107.03 107.12 107.03 107.12 107.13 107.12 107.12 107.13 107.14 107.16 107.14 107.14 107.14 107.14 107.14 107.14 107.14 107.14 107.14 107.14 107.14 107.15 107.16 107.16 107.17 107.18	2.5 2.6 2.5 2.7 2.2 2.1 1.4 1.8 2.3 1.9 2.2 2.1 2.4 2.3 1.6 1.7 2.2 2.1 1.2 2.4 2.3 1.6 1.7 2.1 2.1 2.1 2.1 2.1 2.1 2.1 2.1 2.1 2.1	10 112 115 118 118 116 120 121 121 131 141 15 16 17 17 17 17 17 17 17 18 19 19 19 19 19 19 19 19 19 19 19 19 19	SIM BRITISHE CARE CHANGE, ARABA SIM BRITISHE CARE, CHANGE, ARABA 27 km BRITISHE CARE, CHANGE, ARABA 27 km BRITISHE CARE, CHANGE, ARABA 27 km BRITISHE CARE, CHANGE, ARABA 5 km BRITISHE CARE, ARABA 5 km BRITISHE CARE, CHANGE, ARABA 5 km BRITISHE CARE, ARABA 5 km BRITISHE CARE, CHANGE, ARABA 5 km BRITISHE CARE, ARABA 5 km BRITI	Sukabumi, Cipanas II-III MMI
151 152 153 154 156 157 158 159 160 161 162 163 164 166 166 167 170 171 171 172 173 174 176 177 178 179 180 181 181 181 181 181 181 181 181 181	23-Nov-22 23-Nov-22 23-Nov-22 23-Nov-22 23-Nov-22 23-Nov-22 24-Nov-22	1.4807 (2.2408 M) (2.2	6.77 6.81 6.77 6.77 6.77 6.84 6.81 6.77 6.85 6.87 6.87 6.85 6.85 6.87 6.87 6.87 6.87 6.87 6.87 6.87 6.87	107.11 107.05 107.01 107.01 107.01 107.01 107.01 107.12 107.12 107.12 107.12 107.14 107.05 107.14 107.05 107.14 107.14 107.14 107.15 107.14 107.14 107.15 107.14 107.15 10	2.5 2.6 2.5 2.2 2.1 1.4 1.8 1.9 2.2 2.2 2.1 2.2 2.1 2.2 2.2 2.1 2.2 2.2	10 112 115 118 118 129 131 131 140 150 160 170 181 181 191 19 19 19 19 19 19 19 19 19 19 19 1	SIM Barestant CARE-CANAUR, ARABA **Marchant CARE-CANAUR, CAREA **I'm Barestant CARE-CANAUR, ARABA **Sim Timeratur KARE-CANAUR, ARABA **Sim Barestant KARE-CANAUR, ARABA *	Sukabumi, Cipanas II-III MMI
151 152 153 154 156 156 158 159 160 161 163 165 166 170 170 170 171 172 172 173 174 175 177 178 179 180 181 182 183 184 185 186 187 188 189 189 189 189 189 189 189 189 189	23-Nov-22 23-Nov-22 23-Nov-22 23-Nov-22 23-Nov-22 23-Nov-22 23-Nov-22 24-Nov-22 25-Nov-22 25-Nov-22	11-967 (12-12-12) (12-	-6.79 -6.81 -6.72 -6.91 -6.81 -6.72 -6.91 -6.81 -6.87 -6.85 -6.85 -6.86 -6.87 -6.84 -6.76 -6.84 -6.76 -6.84 -6.76 -6.86 -6.87 -6.86 -6.87 -6.86 -6.76	107.11 107.02 107.03 107.03 107.12 107.03 107.12 107.13 107.12 107.12 107.13 107.14 107.16 107.14 107.14 107.14 107.14 107.14 107.14 107.14 107.14 107.14 107.14 107.14 107.15 107.16 107.16 107.17 107.18	2.5 2.6 2.5 2.2 2.2 2.2 2.2 2.2 2.2 2.2 2.2 2.2	10 15 18 18 18 19 19 19 19 19 19 19 19 19 19 19 19 19	SIM BRITISHE CARE CHANGE, ARABA SIM BRITISHE CARE, CHANGE, ARABA 27 km BRITISHE CARE, CHANGE, ARABA 27 km BRITISHE CARE, CHANGE, ARABA 27 km BRITISHE CARE, CHANGE, ARABA 5 km BRITISHE CARE, ARABA 5 km BRITISHE CARE, CHANGE, ARABA 5 km BRITISHE CARE, ARABA 5 km BRITISHE CARE, CHANGE, ARABA 5 km BRITISHE CARE, ARABA 5 km BRITI	Sukabumi, Cipanas II-III MMI
151 152 153 154 155 156 156 156 156 156 156 156 156 156	23-Nov-22 24-Nov-22	11-807 (1984) 23-8422 (1984) 23-8422 (1984) 23-8422 (1984) 23-8422 (1984) 23-8422 (1984) 23-8422 (1984) 23-8422 (1984) 24-8422	6.79 6.81 6.77 6.87 6.87 6.87 6.87 6.87 6.88 6.81 6.81 6.85 6.81 6.85 6.81 6.87 6.89 6.86 6.86 6.86 6.86 6.86 6.86 6.86	107.11 107.05 107.01 107.05 107.01 107.01 107.11 107.11 107.10 107.12 107.10 107.12 107.10 107.14 10	2.5 2.6 2.5 2.2 2.4 1.4 1.8 1.9 2.2 2.2 2.2 2.2 2.2 2.3 2.4 2.4 2.4 2.2 2.2 2.2 2.2 2.2	10 12 15 18 18 16 16 17 18 18 18 19 19 19 19 19 19 19 19 19 19 19 19 19	SIM Barestant KAB-CANAUR, ARABA **Marestant KAB-CANAUR, ARABA **Im Barestant KAB-CANAUR, ARABA **Im Bares	Sukabumi, Cipanas II-III MMI
1511 1522 153 154 156 156 158 159 160 161 162 163 164 165 166 167 177 172 174 175 176 177 179 179 188 181 181 181 181 181 181 181 181 18	23-Nov-22 23-Nov-22 23-Nov-22 23-Nov-22 23-Nov-22 23-Nov-22 24-Nov-22 24-Nov	11:907 (12:04) 23:4422 (12:04) 23:4422 (12:04) 23:4422 (12:04) 23:4422 (12:04) 23:4421 (12:04)	-6.79 -6.81	107.11 107.02 107.03 107.03 107.03 107.03 107.03 107.03 107.03 107.03 107.03 107.04 10	25 26 25 26 27 27 27 27 27 27 27 27 27 27 27 27 27	10 11 15 18 18 18 16 19 9 10 19 10 10 10 10 10 10 10 11 11 11 11 10 10	SIM Barettaut KAB-CANURI, ARABA MERATELAU KER-CANURI, ARABA JY KIM BARETAUT KAB-CANURI, ARABA JY KIM BARETAUT KAB-CANURI, ARABA JY KIM BARETAUT KAB-CANURI, ARABA JA KIM BARETAUT KAB-CANURI, ARABA JOHN BARETOPHY KAB-CANURI, ARABA JOHN	Sukabumi, Cipanas II-III MMI
1511 1523 1543 1556 1556 156 169 169 169 169 169 169 169 169 169 179 179 179 179 179 179 189 189 189 189 189 189 199 199 199 19	23-Nov-22 23-Nov-22 23-Nov-22 23-Nov-22 23-Nov-22 23-Nov-22 23-Nov-22 23-Nov-22 24-Nov-22 25-Nov-22	11:807 (12:15) (13:15)	6.79 6.81 6.77 6.77 6.77 6.77 6.81 6.81 6.81 6.81 6.81 6.81 6.81 6.81	1907-11 197-26 197-20 197-21 197-21 197-21 197-21 197-21 197-21 197-21 197-22 197-21 197-22 197-22 197-22 197-23 197-24 1	25	102 115 118 118 119 119 119 119 119 119 119 119	SIM BRITISHE CARE CANADIS, ARABA SAM BRITISHE CARE CANADIS, ARABA JYAM BRITISHE CARE CANADIS, ARABA JYAM BRITISHE CARE JYA	Sokabumi, Cipanas II-III MM Cipanas II-III MM Oiresakan di Cipa
1511 1523 1533 1544 1556 1560 1600 1616 1623 1631 1644 1656 1669 1670 1771 1781 1791 1801 1814 1821 1821 1831 1841 1851 1851 1851 1851 1851 1851 185	23-Nov-22 23-Nov-22 23-Nov-22 23-Nov-22 23-Nov-22 23-Nov-22 23-Nov-22 23-Nov-22 24-Nov-22 25-Nov-22	21-98-07 (19-24-15) (1	-6.79 -6.81 -6.71 -6.77 -6.77 -6.77 -6.84 -6.81 -6.81 -6.85 -6.81 -6.85 -6.87 -6.80 -6.87 -6.80 -6.81 -6.70 -6.80	197.11 197.16 197.06 197.06 197.06 197.06 197.06 197.10 197.11 197.11 197.12 197.12 197.13 197.14 197.14 197.14 197.14 197.14 197.14 197.15 197.16 19	2.5 2.6 2.5 2.2 2.2 1.4 1.8 1.9 2.2 2.2 2.2 1.2 2.4 2.4 2.3 2.1 1.9 2.2 2.2 1.1 2.4 2.4 2.3 2.1 1.6 2.5 2.1 2.1 2.4 2.5 2.5 2.5 2.5 2.5 2.5 2.5 2.5 2.5 2.5	10 11 15 18 18 18 16 16 17 18 18 18 18 19 19 19 19 19 19 19 19 19 19 19 19 19	S on Barstaut KAB-CANUR, ARABA S on Barstaut KAB-CANUR, ARABA This Barstaut KAB-CANUR, ARABA S on Barstayt KAB-CANUR, ARABA	Sukabumi, Cipanas II-III MMI
1511 1523 1543 1556 1556 1556 1600 1600 1600 1600 1600	23-Nov-22 23-Nov-22 23-Nov-22 23-Nov-22 23-Nov-22 23-Nov-22 23-Nov-22 24-Nov-22 25-Nov-22	21-9807 (20-24-24) (20	6.79 6.81 6.71 6.77 6.77 6.77 6.77 6.77 6.85 6.81 6.81 6.87 6.85 6.87 6.87 6.87 6.87 6.87 6.87 6.87 6.87	107.11 107.05 107.01 107.01 107.01 107.01 107.01 107.12 107.12 107.12 107.12 107.14 107.05 107.14 107.14 107.14 107.14 107.14 107.14 107.14 107.14 107.15 107.14 107.15 107.15 107.16 107.16 107.17 107.18 107.17 107.18 10	25	10 11 15 18 18 18 16 19 9 10 19 10 10 10 10 10 10 10 11 11 11 11 10 10	SIM Barestant CARE-CANAUR, ARABA MI BRAINTANT CHECKANICH, ARABA JY KIN BRAINTANT CHECKANICH, ARABA JAMIN BRAINTANT CHECKANICH, ARABA JOHN BRAINTANT CHECKANICH, ARABA JOHN BRAINTANT CHECKANICH, ARABA JAMIN BRAINTANT C	Sokabumi, Cipanas II-III MM Cipanas II-III MM Oiresakan di Cipa
1511 1523 1533 1544 155 156 160 160 161 162 163 164 166 167 177 178 181 182 184 185 186 187 188 188 189 190 191 191 191 191 191 191 191 191 19	23-Nov-22 23-Nov-22 23-Nov-22 23-Nov-22 23-Nov-22 23-Nov-22 23-Nov-22 23-Nov-22 23-Nov-22 24-Nov-22 25-Nov-22	21-9607 (22-24) (23-24	6.79 6.81 6.87 6.87 6.87 6.87 6.88 6.81 6.81 6.81 6.85 6.81 6.85 6.81 6.87 6.88 6.87 6.88 6.87 6.88 6.88 6.88	197.11 197.05 107.05 107.05 107.05 107.05 107.10	2.5 2.6 2.5 2.1 1.8 1.9 2.1 1.8 1.9 2.1 1.2 2.2 2.2 1.4 1.8 1.9 2.1 1.2 2.1 1.2 2.1 1.2 2.1 1.2 2.1 1.2 2.1 1.2 2.1 1.2 2.1 1.2 2.1 1.2 2.1 1.2 2.1 1.2 2.1 1.2 2.1 1.2 2.1 1.2 2.1 1.2 2.1 1.2 1.2	10 11 15 18 18 18 16 16 17 18 18 18 18 19 19 19 19 19 19 19 19 19 19 19 19 19	SIM BRITISHER CARE CHANGE, AGARD SIM BRITISHER CARE CHANGE, AGARD TYM BRITISHER CARE TYM BRITISHER CARE TYM BRITISHER CARE TYM BRITISHER CHANGE, AGARD TYM BRITISHER CHANGE, AGARD THE SHARL	Sokabumi, Cipanas II-III MM Cipanas II-III MM Oiresakan di Cipa
1511 1523 1543 1556 1556 1556 1600 1600 1600 1600 1600	23-Nov-22 23-Nov-22 23-Nov-22 23-Nov-22 23-Nov-22 23-Nov-22 23-Nov-22 24-Nov-22 25-Nov-22	21-9807 (20-24-24) (20	6.79 6.81 6.71 6.77 6.77 6.77 6.77 6.83 6.81 6.81 6.81 6.81 6.81 6.81 6.81 6.81	107.11 107.05 107.01 107.01 107.01 107.01 107.01 107.12 107.12 107.12 107.12 107.14 107.05 107.14 107.14 107.14 107.14 107.14 107.14 107.14 107.14 107.15 107.14 107.15 107.15 107.16 107.16 107.17 107.18 107.17 107.18 10	25	10 115 118 118 118 129 130 140 150 160 170 180 180 180 180 180 180 180 180 180 18	SIM Barestant CARE-CANAUR, ARABA MI BRAINTANT CHECKANICH, ARABA JY KIN BRAINTANT CHECKANICH, ARABA JAMIN BRAINTANT CHECKANICH, ARABA JOHN BRAINTANT CHECKANICH, ARABA JOHN BRAINTANT CHECKANICH, ARABA JAMIN BRAINTANT C	Sokabumi, Cipanas II-III MM Cipanas II-III MM Oiresakan di Cipa

201	AC 11 AA			407.00			la	
201	25-Nov-22 25-Nov-22	03:51:00	-6.87	107.08	3.4	7	7 km BaratDaya KAB-CIANJUR-JABAR 12 km BaratDaya KAB-CIANJUR-JABAR	Dirasakan di Cipar
203	25-Nov-22	04:20:36	-6.87	107.10	2.0	10	6 km BaratDaya KAB-CIANJUR-JABAR	
204	25-Nov-22	04:29:34	-6.84	107.09	1.8	5	5 km BaratDaya KAB-CIANJUR-JABAR	
205	25-Nov-22	04:56:26	-6.98 -6.83	107.09 107.08	2.1 1.3	5	18 km BaratDaya KAB-CIANJUR-JABAR 6 km BaratDaya KAB-CIANJUR-JABAR	
207	25-Nov-22	10:27:11	-6.85	107.16	1.3	4		
208	25-Nov-22	11:39:10	-7	107.17	1.9	5	3 km Tenggara KAB-CIANJUR-JABAR 20 km Tenggara KAB-CIANJUR-JABAR	
209	25-Nov-22 25-Nov-22	12:28:41	-6.93 -6.97	107.27 107.12	1.8	8	18 km Tenggara KAB-CIANJUR-JABAR	
210	25-Nov-22 25-Nov-22	12:53:27	-6.97 -6.81	107.12	1.3	18	16 km BaratDaya KAB-CIANJUR-JABAR 13 km BaratLaut KAB-CIANJUR-JABAR	
212	25-Nov-22	14:09:35	-6.83	107.11	1.6	8	3 km BaratDaya KAB-CIANJUR-JABAR	
213	25-Nov-22	14:34:29	-6.88	107.14	1.7	7	6 km Tenggara KAB-CIANJUR-JABAR	
214	25-Nov-22	14:37:09	-6.89	107.16	1.2	26	7 km Tenggara KAB-CIANJUR-JABAR	
215	25-Nov-22 25-Nov-22	16:53:35	-6.93 -6.91	107.15	1.9	6 7	12 km Tenggara KAB-CIANJUR-JABAR 9 km BaratDaya KAB-CIANJUR-JABAR	
217	25-Nov-22	18:27:37	-6.83	107.09	2.5	8	5 km BaratDaya KAB-CIANJUR-JABAR	
218	25-Nov-22	18:40:04	-6.83	107.06	1.7	5	8 km BaratDaya KAB-CIANJUR-JABAR	
219	25-Nov-22	19:03:15 01:04:59	-6.76 -6.82	107.12 107.06	1.4	8 11	7 km BaratLaut KAB-CIANJUR-JABAR	
220	26-Nov-22 26-Nov-22	02:14:39	-6.82 -6.73	107.05	1.8	9	8 km BaratLaut KAB-CIANJUR-JABAR 14 km BaratLaut KAB-CIANJUR-JABAR	
222	26-Nov-22	02:22:25	-6.82	107.11	2.8	8	3 km BaratLaut KAB-CIANJUR-JABAR	Dirasakan di Cilak
223	26-Nov-22	02:37:20	-6.83	107.10	1.9	7	4 km BaratDaya KAB-CIANJUR-JABAR	
224	26-Nov-22 26-Nov-22	03:07:29	-6.76 -6.78	107.07	2.0	5	10 km BaratLaut KAB-CIANJUR-JABAR 7 km BaratLaut KAB-CIANJUR-JABAR	
226	26-Nov-22 26-Nov-22	12:35:56	-6.81	107.10	2.1	5	4 km Baratlaut KAB-CIANJUR-JABAR	Dirasakan di Cuge
227	26-Nov-22	14:16:08	-6.82	107.09	2.3	5	5 km BaratLaut KAB-CIANJUR-JABAR	Dirasakan Di Kec.
228	26-Nov-22	14:48:27	-6.84	107.14	1.5	12	2 km Tenggara KAB-CIANJUR-JABAR	
229	26-Nov-22 26-Nov-22	15:36:24 17:08:41	-6.68 -6.87	107.16 107.12	1.7	10	15 km TimurLaut KAB-CIANJUR-JABAR 5 km BaratDaya KAB-CIANJUR-JABAR	
230	20°NOV-22	17.06.41	-0.07	107.12	1.0	10	3 KIII BAI ALDAYA KAB CIANJON JABAN	Dirasakan di Kec.
								Cianjur, Pacet, Mekarsari, Cijedil, Cipanas,
1								Cugenang,
231	26-Nov-22 26-Nov-22	19:44:10 19:44:58	-6.81 -6.79	107.06 107.10	3.3 2.8	10 10	8 km BaratLaut KAB-CIANJUR-JABAR 5 km BaratLaut KAB-CIANJUR-JABAR	Ciherang III MMI
233	26-Nov-22 26-Nov-22	21:01:36	-6.85	107.10	2.1	5	6 km BaratDaya KAB-CIANJUR-JABAR	
234	26-Nov-22	21:03:10	-6.87	107.23	1.8	8	11 km Tenggara KAB-CIANJUR-JABAR	
235	26-Nov-22	21:34:11	-6.89	107.15	1.5	10	7 km Tenggara KAB-CIANJUR-JABAR	
236	27-Nov-22 27-Nov-22	00:15:47	-6.78 -6.81	107.06 107.06	2.0	17	9 km BaratLaut KAB-CIANJUR-JABAR 8 km BaratLaut KAB-CIANJUR-JABAR	
238	27-Nov-22	01:23:18	-6.89	107.05	1.9	18	12 km BaratDaya KAB-CIANJUR-JABAR	
239	27-Nov-22	02:23:38	-6.81	107.09	1.6	5	5 km BaratLaut KAB-CIANJUR-JABAR	
240	27-Nov-22 27-Nov-22	04:20:01 05:51:31	-6.84 -6.75	107.07 107.12	2.4 1.9	10 10	7 km BaratDaya KAB-CIANJUR-JABAR 8 km BaratLaut KAB-CIANJUR-JABAR	Dirasakan di Cianj
241	27-Nov-22 27-Nov-22	05:51:31	-6.75 -6.79	107.12	2.7	10	8 km BaratLaut KAB-CIANJUR-JABAR 7 km BaratLaut KAB-CIANJUR-JABAR	Dirasakan di Cianj
243	27-Nov-22	06:47:17	-6.84	107.11	1.6	10	3 km BaratDaya KAB-CIANJUR-JABAR	Diresexen di Cienj
244	27-Nov-22	09:56:53	-6.9	107.13	1.7	24	8 km BaratDaya KAB-CIANJUR-JABAR	
245	28-Nov-22	08:27:08	-6.79	107.10	3.1	10	5 km BaratLaut KAB-CIANJUR-JABAR	
246	28-Nov-22 28-Nov-22	10:41:14	-6.83 -6.77	107.09	1.8	14	5 km BaratDaya KAB-CIANJUR-JABAR 8 km Baratl aut KAB-CIANJUR-JABAR	
248	28-Nov-22	11:57:51	-6.82	107.07	2.0	16	7 km BaratLaut KAB-CIANJUR-JABAR	
249	28-Nov-22	12:28:49	-6.82	107.07	2.3	10	7 km BaratLaut KAB-CIANJUR-JABAR	Dirasakan di Kec. I
250	28-Nov-22	15:16:22	-6.81	107.24	2.0	10	11 km TimurLaut KAB-CIANJUR-JABAR	
251	28-Nov-22	16:05:08 18:08:51	-6.84 -6.8	107.08 107.04	3.3 2.9	10 10	6 km BaratDaya KAB-CIANJUR-JABAR	Dirasakan di Nagra
252 253	28-Nov-22 28-Nov-22	18:38:44	-6.89	107.04	1.7	10	11 km BaratLaut KAB-CIANJUR-JABAR 10 km BaratDaya KAB-CIANJUR-JABAR	
254	28-Nov-22	19:08:24	-6.82	107.03	1.6	10	12 km BaratLaut KAB-CIANJUR-JABAR	
255	28-Nov-22	19:38:35	-6.85	107.21	2.0	10	8 km Tenggara KAB-CIANJUR-JABAR	
256	28-Nov-22	20:21:27	-6.73 -6.83	107.04	1.6	17	15 km BaratLaut KAB-CIANJUR-JABAR 6 km BaratDaya KAB-CIANJUR-JABAR	
258	28-Nov-22 28-Nov-22	20:30:31	-6.81	107.08	1.6	10	3 km Baratbaya KAB-CIANJUR-JABAR	
259	28-Nov-22	23:03:35	-6.84	107.13	1.5	10	2 km BaratDaya KAB-CIANJUR-JABAR	
260	29-Nov-22	02:30:31	-6.81	107.10	1.5	10	4 km BaratLaut KAB-CIANJUR-JABAR	
261 262	29-Nov-22 29-Nov-22	03:27:14	-6.84 -6.69	107.07 107.14	1.6	10 10	7 km BaratDaya KAB-CIANJUR-JABAR 14 km TimurLaut KAB-CIANJUR-JABAR	
263	29-Nov-22	04:24:47	-6.74	107.18	2.2	21	10 km TimurLaut KAB-CIANJUR-JABAR	
264	29-Nov-22	06:28:52	-6.97	107.25	1.8	22	20 km Tenggara KAB-CIANJUR-JABAR	
265	29-Nov-22	06:42:21	-6.85	107.08	1.8	10	7 km BaratDaya KAB-CIANJUR-JABAR	
266	29-Nov-22	08:22:24	-6.96 -6.87	107.12	1.8	22	15 km BaratDaya KAB-CIANJUR-JABAR	
267	29-Nov-22 29-Nov-22	09:07:59	-6.85	107.09 107.12	1.4	10 11	7 km BaratDaya KAB-CIANJUR-JABAR 3 km BaratDaya KAB-CIANJUR-JABAR	
269	29-Nov-22	10:27:10	-6.85	107.11	1.8	10	4 km BaratDaya KAB-CIANJUR-JABAR	
270	29-Nov-22	16:05:35	-6.9	107.05	1.8	23	13 km BaratDaya KAB-CIANJUR-JABAR	
271	29-Nov-22 29-Nov-22	17:48:05	-6.86 -6.82	107.17	1.4	10	5 km Tenggara KAB-CIANJUR-JABAR 6 km Barati aut KAB-CIANJUR-JABAR	
272	29-Nov-22 29-Nov-22	19:07:35	-6.82 -6.78	107.08	2.0	10	6 km BaratLaut KAB-CIANJUR-JABAR 8 km BaratLaut KAB-CIANJUR-JABAR	
274	29-Nov-22	20:16:09	-6.78	107.12	2.1	10	5 km BaratLaut KAB-CIANJUR-JABAR	
275	29-Nov-22	20:49:01	-6.87	107.08	2.1	14	8 km BaratDaya KAB-CIANJUR-JABAR	
276	29-Nov-22 29-Nov-22	20:57:25	-6.83 -6.79	107.11	2.7 1.4	12 10	3 km BaratDaya KAB-CIANJUR-JABAR 12 km BaratLaut KAB-CIANJUR-JABAR	
278	30-Nov-22	05:51:26	-6.89	107.14	1.4	40	7 km Tenggara KAB-CIANJUR-JABAR	
279	30-Nov-22	06:22:17	-6.82	107.09	1.8	10	5 km BaratLaut KAB-CIANJUR-JABAR	
280	30-Nov-22	06:58:17	-6.81	107.09	2.1	10	5 km BaratLaut KAB-CIANJUR-JABAR	
281 282	30-Nov-22 30-Nov-22	07:53:40 08:18:17	-6.83 -6.82	107.09	3.5 2.0	12 10	5 km BaratDaya KAB-CIANJUR-JABAR 7 km BaratLaut KAB-CIANJUR-JABAR	
282	30-Nov-22 30-Nov-22	08:18:17	-6.73	107.07	1.6	10	7 km BaratLaut KAB-CIANJUR-JABAR 11 km TimurLaut KAB-CIANJUR-JABAR	
284	30-Nov-22	10:07:30	-6.78	107.14	2.1	14	4 km TimurLaut KAB-CIANJUR-JABAR	
285	30-Nov-22	17:33:25	-6.83	107.08	2.8	10	6 km BaratDaya KAB-CIANJUR-JABAR	Dirasakan Di Cugei
286	30-Nov-22	19:29:52	-6.85	107.10	1.5	10	5 km BaratDaya KAB-CIANJUR-JABAR	Dirasakan Di
	30-Nov-22	22:24:34	-6.84	107.09	2.5	10	5 km BaratDaya KAB-CIANJUR-JABAR	Pacet II-III MIMI. Di Karangtengah, Babakankaret, Sukaresmi, Cilaku, Cipanas, Cianjur, Bojongherang II
287	20.Mc-: 22	22-46-06	-6.79	107.08	1.4	10	7 km Darati aut YAD CIANIII IN IACA	MMI
288	30-Nov-22 30-Nov-22	22:46:05	-6.79 -6.71	107.08	2.1	10	7 km BaratLaut KAB-CIANJUR-JABAR 12 km BaratLaut KAB-CIANJUR-JABAR	
290	01-Dec-2022	00:04:24	-6.82	107.12	1.9	38 10	5 km BaratLaut KAB-CIANJUR-JABAR	
	04.0 0000	02:16:43	-6.85	107.07	2.0	10	8 km BaratDaya KAB-CIANJUR-JABAR	
291	01-Dec-2022	02:50:31	-6.79	107.09	2.1	10	6 km BaratLaut KAB-CIANJUR-JABAR	
291 292	01-Dec-2022	02.00.00			1.9	10	5 km BaratDaya KAB-CIANJUR-JABAR	1
291 292 293	01-Dec-2022 01-Dec-2022	02:50:54	-6.86 -6.92	107.11		99	9 km BaratDaya KAD CIANIII ID IACCO	
291 292	01-Dec-2022	02:50:54 02:58:33 04:33:43	-6.86 -6.83 -6.81	107.11 107.06 107.20	1.6	22 20	8 km BaratDaya KAB-CIANJUR-JABAR 6 km TimurLaut KAB-CIANJUR-JABAR	
291 292 293 294 295 296	01-Dec-2022 01-Dec-2022 01-Dec-2022 01-Dec-2022 01-Dec-2022	02:58:33 04:33:43 09:42:08	-6.83 -6.81 -6.83	107.06 107.20 107.03	1.6 1.3 2.1	20 10	8 km BaratDaya KAB-CIANJUR-JABAR 6 km TimurLaut KAB-CIANJUR-JABAR 12 km BaratDaya KAB-CIANJUR-JABAR	
291 292 293 294 295 296 297	01-Dec-2022 01-Dec-2022 01-Dec-2022 01-Dec-2022 01-Dec-2022 01-Dec-2022	02:58:33 04:33:43 09:42:08 09:51:24	-6.83 -6.81 -6.83 -6.81	107.06 107.20 107.03 107.04	1.6 1.3 2.1 1.4	20 10 10	8 km BaratDaya KAB-CIANJUR-JABAR 6 km TimurLaut KAB-CIANJUR-JABAR 12 km BaratDaya KAB-CIANJUR-JABAR 11 km BaratLaut KAB-CIANJUR-JABAR	
291 292 293 294 295 296 297 298	01-Dec-2022 01-Dec-2022 01-Dec-2022 01-Dec-2022 01-Dec-2022 01-Dec-2022 01-Dec-2022	02:58:33 04:33:43 09:42:08 09:51:24 10:41:10	-6.83 -6.81 -6.83 -6.81 -6.8	107.06 107.20 107.03 107.04 107.14	1.6 1.3 2.1 1.4 1.8	20 10 10 10	8 km BaratDaya KAB-CIANJUR-JABAR 6 km TimurLaut KAB-CIANJUR-JABAR 12 km BaratDaya KAB-CIANJUR-JABAR 11 km BaratLaut KAB-CIANJUR-JABAR 2 km TimurLaut KAB-CIANJUR-JABAR	Discoulor "
291 292 293 294 295 296 297	01-Dec-2022 01-Dec-2022 01-Dec-2022 01-Dec-2022 01-Dec-2022 01-Dec-2022	02:58:33 04:33:43 09:42:08 09:51:24	-6.83 -6.81 -6.83 -6.81	107.06 107.20 107.03 107.04	1.6 1.3 2.1 1.4	20 10 10	8 km BaratDaya KAB-CIANJUR-JABAR 6 km TimurLaut KAB-CIANJUR-JABAR 12 km BaratDaya KAB-CIANJUR-JABAR 11 km BaratLaut KAB-CIANJUR-JABAR	Dirasakan di

301	01-Dec-2022	15:58:48	-6.82	107.03	2.8	10	12 km BaratLaut KAB-CIANJUR-JABAR	
302	01-Dec-2022	16:05:07	-6.76	107.10	2.4	10	8 km BaratLaut KAB-CIANJUR-JABAR	
303	01-Dec-2022	18:54:56	-6.82	107.06	1.6	11	8 km BaratLaut KAB-CIANJUR-JABAR	
304	01-Dec-2022	21:51:59	-6.84	107.04	1.8	19	11 km BaratDaya KAB-CIANJUR-JABAR	
305	02-Dec-2022	00:36:40	-6.81	107.09	1.6	14	5 km BaratLaut KAB-CIANJUR-JABAR	
306	02-Dec-2022	01:41:36	-6.83	107.06	1.2	10	8 km BaratDaya KAB-CIANJUR-JABAR	
307	02-Dec-2022	02:54:00	-6.78	107.08	1.4	10	8 km BaratLaut KAB-CIANJUR-JABAR	
								Dirasakan di
	02-Dec-2022	07:42:00	-6.84	107.10	2.5	10	4 km BaratDaya KAB-CIANJUR-JABAR	Pamoyanan II
308								MMI
309	02-Dec-2022	09:05:25	-6.92	106.93	2.2	10	25 km BaratDaya KAB-CIANJUR-JABAR	
310	02-Dec-2022	13:03:30	-6.84	107.10	2.5	10	4 km BaratDaya KAB-CIANJUR-JABAR	
311	02-Dec-2022	14:12:49	-6.76	107.08	1.9	10	9 km BaratLaut KAB-CIANJUR-JABAR	
312	02-Dec-2022	14:34:23	-6.92	107.10	2.0	11	11 km BaratDaya KAB-CIANJUR-JABAR	
313	02-Dec-2022	17:47:32	-6.83	107.09	2.2	10	5 km BaratDaya KAB-CIANJUR-JABAR	
314	02-Dec-2022 03-Dec-2022	20:41:29	-6.8 -6.79	107.09	1.5 2.2	10 10	5 km BaratLaut KAB-CIANJUR-JABAR 8 km BaratLaut KAB-CIANJUR-JABAR	
316	03-Dec-2022	10:25:02	-6.81	107.06	1.8	10	8 km BaratLaut KAB-CIANJUR-JABAR	
317	03-Dec-2022	18:26:35	-6.84	107.08	3.1	10	6 km BaratDaya KAB-CIANJUR-JABAR	
318	04-Dec-2022	05:01:02	-6.82	107.06	4.2	10	8 km BaratLaut KAB-CIANJUR-JABAR	Dirasakan di Cianjur, Sukabumi III MMI, Pamoyanan II-III MMI
319	04-Dec-2022	05:25:13	-6.83	107.14	1.7	10	0 km Tenggara KAB-CIANJUR-JABAR	
320	04-Dec-2022	09:25:13	-6.92	107.10	2.2	10	11 km BaratDaya KAB-CIANJUR-JABAR	Dirasakan Di
321	04-Dec-2022	19:15:23	-6.92	107.12	1.9	10	11 km BaratDaya KAB-CIANJUR-JABAR	
322	04-Dec-2022	22:35:22	-6.82	107.07	2.0	10	7 km BaratLaut KAB-CIANJUR-JABAR	
323	05-Dec-2022	16:00:14	-6.84	107.09	1.8	10	5 km BaratDaya KAB-CIANJUR-JABAR	
324	06-Dec-2022	00:53:39	-6.77	107.10	1.8	12	7 km BaratLaut KAB-CIANJUR-JABAR	
325	06-Dec-2022	07:10:45	-6.84	107.08	1.7	10	6 km BaratDaya KAB-CIANJUR-JABAR	
326	06-Dec-2022	10:39:52	-6.97	107.28	1.8	10	22 km Tenggara KAB-CIANJUR-JABAR	
327	06-Dec-2022	22:33:17	-6.75	107.10	1.6	10	9 km BaratLaut KAB-CIANJUR-JABAR	
328	07-Dec-2022	08:03:51	-6.8	107.13	2.1	18	2 km BaratLaut KAB-CIANJUR-JABAR	
329	07-Dec-2022	15:29:51	-6.85	107.08	1.9	11	7 km BaratDaya KAB-CIANJUR-JABAR	
330	07-Dec-2022	23:10:06	-6.83	107.07	1.4	10	7 km BaratDaya KAB-CIANJUR-JABAR	
331	08-Dec-2022	01:13:36	-6.83	107.02	1.3	14	13 km BaratDaya KAB-CIANJUR-JABAR	
332	08-Dec-2022	01:54:21	-6.84	107.09	1.4	10	5 km BaratDaya KAB-CIANJUR-JABAR	
333	08-Dec-2022	05:49:48	-6.83	107.12	2.2	18	2 km BaratDaya KAB-CIANJUR-JABAR	
334	08-Dec-2022	05:53:44	-6.82	107.05	1.5	10	9 km BaratLaut KAB-CIANJUR-JABAR	
335	08-Dec-2022	06:40:04	-6.85	107.05	2.0	19	10 km BaratDaya KAB-CIANJUR-JABAR	
336	08-Dec-2022	09:23:45	-6.82	107.09	1.5	10	5 km BaratLaut KAB-CIANJUR-JABAR	
337	08-Dec-2022	23:38:16	-6.79	107.08	1.6	15	7 km BaratLaut KAB-CIANJUR-JABAR	L
338	09-Dec-2022	04:18:22	-6.73	107.12	2.1	16	10 km BaratLaut KAB-CIANJUR-JABAR	
339	11-Dec-2022	01:52:18	-6.92	107.11	1.7	30	11 km BaratDaya KAB-CIANJUR-JABAR	
340	11-Dec-2022	06:39:21	-6.8	107.12	2.4	28	3 km BaratLaut KAB-CIANJUR-JABAR	
341	13-Dec-2022	01:09:01	-6.83	107.10	2.4	10	4 km BaratDaya KAB-CIANJUR-JABAR	
342	13-Dec-2022	08:38:42	-6.77	107.10	2.3	10	7 km BaratLaut KAB-CIANJUR-JABAR	
343	13-Dec-2022	12:37:39	-6.81	107.12	2.1	10	2 km BaratLaut KAB-CIANJUR-JABAR	
344	13-Dec-2022	14:51:39	-6.87	107.05	2.5	10	11 km BaratDaya KAB-CIANJUR-JABAR	
345	14-Dec-2022	08:28:19	-6.78	107.10	2.4	10	6 km BaratLaut KAB-CIANJUR-JABAR	
346	14-Dec-2022	20:41:07	-7.05	107.13	1.9	10	25 km BaratDaya KAB-CIANJUR-JABAR	
347	15-Dec-2022	02:46:26	-7.06	107.12	2.5	10	26 km BaratDaya KAB-CIANJUR-JABAR	
348	16-Dec-2022	08:42:13	-6.82	107.07	2.6	10	7 km BaratLaut KAB-CIANJUR-JABAR	
349	16-Dec-2022	22:49:51	-6.8	107.03	1.7	13	12 km BaratLaut KAB-CIANJUR-JABAR	
350	16-Dec-2022	23:05:37	-6.77	107.12	2.2	10	6 km BaratLaut KAB-CIANJUR-JABAR	
351	17-Dec-2022	02:24:44	-6.78	107.08	2.3	10	8 km BaratLaut KAB-CIANJUR-JABAR	
352	20-Dec-2022	07:03:07	-6.84	107.08	2.1	11	6 km BaratDaya KAB-CIANJUR-JABAR	
353	20-Dec-2022	12:45:43	-6.8	107.07	2.5	10	8 km BaratLaut KAB-CIANJUR-JABAR	
354 355	21-Dec-2022 21-Dec-2022	12:18:27	-6.81 -6.83	107.08	2.1	10	6 km Baratlaut KAB-CIANJUR-JABAR	Dirasakan III MMI di Kec. Cugenang, Cianjur
333	21-Dec-2022	13.20.40	-0.03	107.10	2.0	10	2 km Tenggara KAB-CIANJUR-JABAR	Dirasakan Di
	21-Dec-2022	15:59:21	-6.82	107.09	2.9	10	5 km BaratLaut KAB-CIANJUR-JABAR 38 km BaratDaya MUKOMUKO-BENGKU	Karangtengah, Ciherang, Cianjur, Cugenang, Cipanas, Cilaku, Warungkondang, Bayongbong, II-III
356 357	21-Dec-2022	17:51:16	-2.92	101.11	3.0			
	21-Dec-2022 22-Dec-2022	17:51:16 07:44:49	-2.92 -6.81	101.11 107.07	3.0 2.1	10	7 km BaratLaut KAB-CIANJUR-JABAR	.0
357	22-Dec-2022	07:44:49	-6.81	107.07	2.1		7 km BaratLaut KAB-CIANJUR-JABAR	dirasakan di
357						10 10		dirasakan di
357 358	22-Dec-2022	07:44:49	-6.81	107.07	2.1		7 km BaratLaut KAB-CIANJUR-JABAR	dirasakan di Pacet II MMI Dirasakan Di Cugenang, Cipanas III MMI. Di Gasol II-III MMI. Di Cianjur Kota II MMI
357 358 359	22-Dec-2022 22-Dec-2022 23-Dec-2022 23-Dec-2022	07:44:49 14:21:40 18:41:23	-6.81 -6.8 -6.77	107.07 107.10 107.10	2.1 2.6 2.7	10	7 km BaratLaut KAB-CIANJUR-JABAR 4 km BaratLaut KAB-CIANJUR-JABAR 7 km BaratLaut KAB-CIANJUR-JABAR 7 km BaratLaut KAB-CIANJUR-JABAR	dirasakan di Pacet II MMI Dirasakan Di Cugenang, Cipanas III MMI. Di Gasol II-III MMI. Di Cianjur
357 358 359 360	22-Dec-2022 22-Dec-2022 23-Dec-2022	07:44:49 14:21:40 18:41:23	-6.81 -6.8	107.07 107.10	2.1 2.6 2.7	10	7 km BaratLaut KAB-CIANJUR-JABAR 4 km BaratLaut KAB-CIANJUR-JABAR 7 km BaratLaut KAB-CIANJUR-JABAR	dirasakan di Pacet II MMI Dirasakan Di Cugenang, Cipanas III MMI. Di Gasol II-III MMI. Di Cianjur Kota II MMI Dirasakan Di Cugenang,
357 358 359 360 361 362	22-Dec-2022 22-Dec-2022 23-Dec-2022 23-Dec-2022 24-Dec-2022	07:44:49 14:21:40 18:41:23 19:56:04 01:00:05	-6.81 -6.8 -6.77 -6.82	107.07 107.10 107.10	2.1 2.6 2.7 2.4 2.2	10	7km Barattaut KAB-CIANJUR-JABAR 4km Barattaut KAB-CIANJUR-JABAR 7km Barattaut KAB-CIANJUR-JABAR 7km Barattaut KAB-CIANJUR-JABAR 12km Barattaut KAB-CIANJUR-JABAR 12km Barattaut KAB-CIANJUR-JABAR	dirasakan di Pacet II MMI Dirasakan Di Cugenang, Cipanas III MMI. Di Gasol II-III MMI. Di Cianjur Kota II MMI Dirasakan Di Cugenang, Cipanas II MMI
357 358 359 360 361 362	22-Dec-2022 22-Dec-2022 23-Dec-2022 23-Dec-2022 24-Dec-2022 24-Dec-2022	07:44:49 14:21:40 18:41:23 19:56:04 01:00:05 04:39:50	-6.81 -6.8 -6.77 -6.82 -6.82	107.07 107.10 107.10 107.07 107.03 107.12	2.1 2.6 2.7 2.4 2.2 2.1	10 10 10 10 10 10	7 km Barattaut KAB-CIANUR-JABAR 4 km Barattaut KAB-CIANUUR-JABAR 7 km Barattaut KAB-CIANUUR-JABAR 7 km Barattaut KAB-CIANUUR-JABAR 2 km Barattaut KAB-CIANUUR-JABAR 2 km Barattaut KAB-CIANUUR-JABAR 2 km Barattaut KAB-CIAN	dirasakan di Pacet II MMI Dirasakan Di Cugenang, Cipanas III MMI. Di Gasol II-III MMI. Di Cianjur Kota II MMI Dirasakan Di Cugenang, Cipanas II MMI

2. Interval dan Frekuensi Gempabumi Susulan di Cianjur setiap 24 jam

No	Interval Waktu (hari ke-)	Frekuensi Gempabumi n(t)				
1	2	13				
2	3	28				
3	4	37				
4	5	16				
5	6	18				
6	7	5				
7	8	20				
8	9	15				
9	10	14				
10	11	12				
11	12	6				
12	13	4				
13	14	2				
14	15	4				
15	16	2				
16	17	8				
17	18	2				
18	19	1				
19	20	2				
20	21	1				
21	22	2				
22	23	2				
23	24	3				
24	25	3				
25	26	1				

26	27	1
27	28	3
28	29	4
29	30	1
30	31	5
31	32	1
32	33	1
33	34	1
34	35	1
35	36	1
	Σ	240

3. Regresi linier Omori

No	t	n(t)	Y=1/n(t)	X=t	X.Y	X ²
1	2	13	0.08	2	0.15	4
2	3	28	0.04	3	0.11	9
3	4	37	0.03	4	0.11	16
4	5	16	0.06	5	0.31	25
5	6	18	0.06	6	0.33	36
6	7	5	0.20	7	1.40	49
7	8	20	0.05	8	0.40	64
8	9	15	0.07	9	0.60	81
9	10	14	0.07	10	0.71	100
10	11	12	0.08	11	0.92	121
11	12	6	0.17	12	2.00	144
12	13	4	0.25	13	3.25	169
13	14	2	0.50	14	7.00	196
14	15	4	0.25	15	3.75	225
15	16	2	0.50	16	8.00	256

16	17	8	0.13	17	2.13	289
17	18	2	0.50	18	9.00	324
18	19	1	1.00	19	19.00	361
19	20	2	0.50	20	10.00	400
20	21	1	1.00	21	21.00	441
21	22	2	0.50	22	11.00	484
22	23	2	0.50	23	11.50	529
23	24	3	0.33	24	8.00	576
24	25	3	0.33	25	8.33	625
25	26	1	1.00	26	26.00	676
26	27	1	1.00	27	27.00	729
27	28	3	0.33	28	9.33	784
28	29	4	0.25	29	7.25	841
29	30	1	1.00	30	30.00	900
30	31	5	0.20	31	6.20	961
31	32	1	1.00	32	32.00	1024
32	33	1	1.00	33	33.00	1089
33	34	1	1.00	34	34.00	1156
34	35	1	1.00	35	35.00	1225
35	36	1	1.00	36	36.00	1296
2	Σ	240	15.97	665	404.79	16205

Perhitungan Peluruhan Gempabumi

Dalam hal ini perhitungan dalam mencari waktu berakhirnya gempabumi susulan di Cianjur 21 November 2022 dengan menggunakan Metode Omori. Berdasarkan hasil perhitungan menggunakan metode regresi linier sederhana pada metode omori pada tabel diatas, maka dapat mencari Nilai A dan B dengan persamaan sebagai berikut :

$$B = \frac{n(\sum xy) - (\sum x)(\sum y)}{n(\sum x^2) - (\sum x)^2}$$

$$B = \frac{35(404.79) - (665)(15.97)}{35(16205) - (665)^2}$$

$$B = \frac{(14167,65) - (10620.05)}{(567175) - (442225)}$$

$$B = \frac{3547.6}{124950}$$

$$B = 0.028387132$$

Sehingga, didapatkan nilai B = 0.028387132

$$A = \frac{(\sum y) - B(\sum x)}{n}$$

$$A = \frac{(15.97) - (0.027995889)(665)}{35}$$

$$A = \frac{-2.647266185}{35}$$

$$A = -0.083046502$$

Sehingga, didapatkan nilai A = -0.083046502

Setelah mendapatkan nilai A dan B, selanjutnya mencari nilai dari konstanta dari nilai k dan c yang terdapat dalam persamaan omori.

$$B = \frac{1}{k}$$

$$k = \frac{1}{B}$$

$$k = \frac{1}{0.028387132}$$

$$k = 35.22722909$$

Didapatkan nilai kontanta k = 35.22722909

$$A = \frac{c}{k}$$

$$c = A k$$

 $c = -0.083046502 \times 35.22722909$

c = -2.925498136

Didapatkan nilai kontanta c = -2.925498136

Kemudian menganalisa waktu berakhirnya gempabumi susulan, dimana nilai n(t) = 1. Maka diperoleh:

$$n(t) = \frac{k}{c+t}$$

$$1 = \frac{35.22722909}{-2.925498136+t}$$

$$-2.925498136+t = 35.22722909$$

$$t = 38.15272723 \sim 38$$

4. Regresi Linier Mogi I

No	t	n(t)	$\log n(t) = Y$	Log (t) = X	X.Y	x ²
1	1	13	1.114	0	0	0
2	2	28	1.447	0.301	0.436	0.091
3	3	37	1.568	0.477	0.748	0.228
4	4	16	1.204	0.602	0.725	0.362
5	5	18	1.255	0.699	0.877	0.489
6	6	5	0.699	0.778	0.544	0.606
7	7	20	1.301	0.845	1.099	0.714
8	8	15	1.176	0.903	1.062	0.816
9	9	14	1.146	0.954	1.094	0.911

10	10	12	1.079	1	1.079	1
11	11	6	0.778	1.041	0.810	1.084
12	12	4	0.602	1.079	0.650	1.165
13	13	2	0.301	1.114	0.335	1.241
14	14	4	0.602	1.146	0.690	1.314
15	15	2	0.301	1.176	0.354	1.383
16	16	8	0.903	1.204	1.087	1.450
17	17	2	0.301	1.230	0.370	1.514
15	18	1	0.000	1.255	0	1.576
19	19	2	0.301	1.279	0.385	1.635
18	20	1	0	1.301	0	1.693
21	21	2	0.301	1.322	0.398	1.748
22	22	2	0.301	1.342	0.404	1.802
23	23	3	0.477	1.362	0.650	1.854
24	24	3	0.477	1.380	0.659	1.905
15	25	1	0	1.398	0	1.954
13	26	1	0	1.415	0	2.002
27	27	3	0.477	1.431	0.683	2.049
28	28	4	0.602	1.447	0.871	2.094
10	29	1	0	1.462	0	2.139
30	30	5	0.699	1.477	1.032	2.182
12	31	1	0	1.491	0	2.224
16	32	1	0	1.505	0	2.265
10	33	1	0	1.519	0	2.306
15	34	1	0	1.531	0	2.345
15	35	1	0	1.544	0	2.384
	Σ	240	19.414	40.014	17.044	50.524

Perhitungan Peluruhan Gempabumi

Dalam hal ini perhitungan dalam mencari waktu berakhirnya gempabumi susulan di Cianjur 21 November 2022

dengan menggunakan Metode Mogi I. Berdasarkan hasil perhitungan menggunakan metode *least squar*e pada metode Mogi I pada tabel diatas, maka dapat mencari Nilai *A* dan *B* dengan persamaan sebagai berikut :

$$B = \frac{n(\sum xy) - (\sum x)(\sum y)}{n(\sum x^2) - (\sum x)^2}$$

$$B = \frac{35(17.044) - (40.014)(19.414)}{35(50.524) - (40.014)^2}$$

$$B = \frac{(596.54) - (776.831796)}{(1768.34) - (1601.120196)}$$

$$B = \frac{-180.291796}{167.219804}$$

$$B = -1.078308215$$

Sehingga, didapatkan nilai B = -1.078308215

$$A = \frac{(\sum y) - B(\sum x)}{n}$$

$$A = \frac{(19.414) - (-1.078308215)(40.014)}{35}$$

$$A = \frac{62.5614213138}{35}$$

$$A = 1.787477339$$

Sehingga, didapatkan nilai A = 1.787477339

Setelah mendapatkan nilai A dan B, selanjutnya mencari nilai dari konstanta dari nilai a dan b yang terdapat dalam persamaan Mogi I.

$$\log a = A$$
$$\log a = 1.787477339$$

$$a = 10^{1.787477339}$$

$$a = 61.30238047$$

Didapatkan nilai kontanta a = 61.30238047

$$b = -B$$

$$b = -(-1.078308215)$$

$$b = 1.078308215$$

Didapatkan nilai kontanta b = 1.078308215

Kemudian menganalisa waktu berakhirnya gempabumi susulan, dimana nilai n(t) = 1. Maka diperoleh:

$$n(t) = a t^{-b}$$

$$1 = 61.30238047.t^{-1.078308215}$$

$$\frac{1}{61.30238047} = \ t^{-1.078308215}$$

$$0.0165830933 = t^{-1.078308215}$$

$$t = 45.464 \sim 45$$

5. Koefisien Korelasi

No	t	n(t) (X)	mogi I (Y)	Omori (Y)	Mogi I			omori		
NO					xy	\mathbf{X}^2	y^2	xy	X^2	y^2
1	2	13	7.72	16.40	100.4	169	59.63	213.24	169	269.07
2	3	28	6.35	11.90	177.8	784	40.31	333.21	784	141.62
3	4	37	5.39	9.48	199.5	1369	29.06	350.66	1369	89.82
4	5	16	4.68	7.94	74.9	256	21.94	127.09	256	63.09
5	6	18	4.14	6.88	74.5	324	17.15	123.76	324	47.28
6	7	5	3.71	6.09	18.6	25	13.77	30.43	25	37.04
7	8	20	3.36	5.48	67.2	400	11.30	109.51	400	29.98
8	9	15	3.07	4.99	46.1	225	9.44	74.83	225	24.88

_										
9	10	14	2.83	4.59	39.6	196	8.00	64.25	196	21.06
10	11	12	2.62	4.26	31.5	144	6.87	51.07	144	18.11
11	12	6	2.44	3.97	14.7	36	5.96	23.84	36	15.78
12	13	4	2.29	3.73	9.1	16	5.23	14.92	16	13.90
13	14	2	2.15	3.52	4.3	4	4.62	7.03	4	12.36
14	15	4	2.03	3.33	8.1	16	4.11	13.32	16	11.09
15	16	2	1.92	3.16	3.8	4	3.68	6.33	4	10.01
16	17	8	1.82	3.02	14.6	64	3.31	24.12	64	9.09
17	18	2	1.73	2.88	3.5	4	3.00	5.76	4	8.31
18	19	1	1.65	2.76	1.7	1	2.73	2.76	1	7.63
19	20	2	1.58	2.65	3.2	4	2.49	5.30	4	7.03
20	21	1	1.51	2.55	1.5	1	2.29	2.55	1	6.51
21	22	2	1.45	2.46	2.9	4	2.10	4.92	4	6.05
22	23	2	1.39	2.37	2.8	4	1.94	4.75	4	5.64
23	24	3	1.34	2.30	4.0	9	1.80	6.89	9	5.27
24	25	3	1.29	2.22	3.9	9	1.67	6.67	9	4.94
25	26	1	1.25	2.15	1.2	1	1.56	2.15	1	4.64
26	27	1	1.21	2.09	1.2	1	1.45	2.09	1	4.37
27	28	3	1.17	2.03	3.5	9	1.36	6.09	9	4.13
28	29	4	1.13	1.98	4.5	16	1.28	7.90	16	3.90
29	30	1	1.09	1.92	1.1	1	1.20	1.92	1	3.70
30	31	5	1.06	1.87	5.3	25	1.13	9.37	25	3.51
31	32	1	1.03	1.83	1.0	1	1.06	1.83	1	3.34
32	33	1	1.00	1.78	1.0	1	1.01	1.78	1	3.18
33	34	1	0.98	1.74	1.0	1	0.95	1.74	1	3.04
34	35	1	0.95	1.70	0.9	1	0.90	1.70	1	2.90
35	36	1	0.92	1.67	0.9	1	0.86	1.67	1	2.77
Σ	3	240	80.27	139.69	929.8	4126	275.15	1645.47	4126	905.04

Nilai koefisien korelasi (r) dari Metode Omori dengan persamaan (3.16):

$$r = \frac{n(\sum xy) - (\sum x)(\sum y)}{\sqrt{(n(\sum x^2) - (\sum x)^2)(n(\sum y^2) - (\sum y)^2)}}$$

$$r = \frac{35(1645.47) - (240)(139.69)}{\sqrt{(35(4126) - (240)^2)(35(905.04) - (139.69)^2}}$$

$$r = \frac{(57591.45) - (33525.6)}{\sqrt{(86810)(12163.1039)}}$$

$$r = \frac{24065.81}{32494.29256}$$

$$r = 0.740616111$$

Nilai koefisien korelasi (r) dari Metode Mogi I dengan persamaan (3.16):

$$r = \frac{n(\sum xy) - (\sum x)(\sum y)}{\sqrt{(n(\sum x^2) - (\sum x)^2)(n(\sum y^2) - (\sum y)^2)}}$$

$$r = \frac{35(929.8) - (240)(80.27)}{\sqrt{(35(4126) - (240)^2)(35(275.15) - (80.27)^2}}$$

$$r = \frac{(32.543) - (19264.8)}{\sqrt{(86810)(3186.9771)}}$$

$$r = \frac{13278.2}{16633.144081953}$$

$$r = 0.798222461$$

 Tabel nilai error dengan perbandingan model dengan real data

No	т	n/+\	Omori	Mogil	selisih n(t) dari real data	
No	T	n(t)	Omori	Mogi I	Mogi I	Omori
1	2	13	7.722	16.403	3.403	5.278
2	3	28	6.349	11.900	16.100	21.651
3	4	37	5.391	9.477	27.523	31.609
4	5	16	4.684	7.943	8.057	11.316

5	6	18	4.141	6.876	11.124	13.859
6	7	5	3.711	6.086	1.086	1.289
7	8	20	3.362	5.476	14.524	16.638
8	9	15	3.072	4.988	10.012	11.928
9	10	14	2.829	4.589	9.411	11.171
10	11	12	2.621	4.256	7.744	9.379
11	12	6	2.442	3.973	2.027	3.558
12	13	4	2.286	3.729	0.271	1.714
13	14	2	2.148	3.516	1.516	0.148
14	15	4	2.027	3.329	0.671	1.973
15	16	2	1.918	3.164	1.164	0.082
16	17	8	1.820	3.015	4.985	6.180
17	18	2	1.732	2.882	0.882	0.268
18	19	1	1.652	2.761	1.761	0.652
19	20	2	1.579	2.652	0.652	0.421
20	21	1	1.512	2.551	1.551	0.512
21	22	2	1.450	2.459	0.459	0.550
22	23	2	1.394	2.374	0.374	0.606
23	24	3	1.342	2.295	0.705	1.658
24	25	3	1.293	2.222	0.778	1.707
25	26	1	1.248	2.154	1.154	0.248
26	27	1	1.206	2.091	1.091	0.206
27	28	3	1.166	2.032	0.968	1.834
28	29	4	1.129	1.976	2.024	2.871
29	30	1	1.095	1.924	0.924	0.095
30	31	5	1.062	1.874	3.126	3.938
31	32	1	1.032	1.828	0.828	0.032
32	33	1	1.003	1.784	0.784	0.003
33	34	1	0.975	1.742	0.742	0.025
34	35	1	0.949	1.703	0.703	0.051
35	36	1	0.925	1.665	0.665	0.075

Rata-rata 3.993

4.6720

Hasil Cek Turnitin

zaid	an	
ORIGINA	ALITY REPORT	
Of Taxable Control	1% 21% 2% RITY INDEX INTERNET SOURCES PUBLICATIONS	9% STUDENT PAPERS
PRIMAR	YSOURCES	
1	docplayer.info Internet Source	4%
2	eprints.walisongo.ac.id Internet Source	3%
3	dokumen.tips Internet Source	2%
4	ejournal.unesa.ac.id Internet Source	2%
5	etheses.uin-malang.ac.id Internet Source	1%
6	www.scribd.com Internet Source	1%
7	Submitted to UIN Syarif Hidayatullah Jakarta Student Paper	1%
8	ojs.unm.ac.id Internet Source	1%
9	adybocherski.files.wordpress.com	1%
10	etd.umy.ac.id Internet Source	<1%

11	eprints.iain-surakarta.ac.id Internet Source	<1%
12	www.researchgate.net Internet Source	<1%
13	Submitted to Universitas Negeri Surabaya The State University of Surabaya Student Paper	<1%
14	eprints.uns.ac.id Internet Source	<1%
15	Submitted to Sriwijaya University Student Paper	<1%
16	Submitted to Universitas Sebelas Maret Student Paper	<1%
17	pt.scribd.com Internet Source	<1%
18	tirto.id Internet Source	<1%
19	jurnal.pusjatan.pu.go.id Internet Source	<1%
20	repository.its.ac.id Internet Source	<1%
21	Submitted to UIN Walisongo Student Paper	<1%
22	Submitted to Universitas Diponegoro Student Paper	<1%

23 idoc.pub Internet Source	<1%
Submitted to Universitas Pendidikan Indonesia Student Paper	<1%
eprints.ums.ac.id Internet Source	<1%
prosesweb.bmkg.go.id Internet Source	<1%
geografi.ppj.unp.ac.id Internet Source	<1%
digilibadmin.unismuh.ac.id Internet Source	<1%
e-journal.hamzanwadi.ac.id	<1%
glekhoba.blogspot.com Internet Source	<1%
31 text-id.123dok.com Internet Source	<1%

Exclude quotes On Exclude matches < 15 words
Exclude bibliography On

DAFTAR RIWAYAT HIDUP

A. Identitas Diri

Nama : Rifki Zaidan Ramli

Tempat, Tanggal Lahir: Tangerang, 16 Februari 2002

Alamat Rumah : JL. Mawar 4 Blok 15 No.7 Pondok

Indah. Kabupaten Tangerang, Banten

15560.

No. Telepon : 085156635076

E-mail : <u>rifkizaidan666@gmail.com</u>

B. Riwayat Hidup

2007-2013 : SDS Darmawati Arief

2013-2016 : SMPN 5 Pasar Kemis

2016-2019 : SMAN 24 Kabupaten Tangerang

2019-2023 : UIN Walisongo Semarang